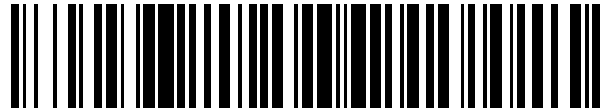


19



OFICINA ESPAÑOLA DE
PATENTES Y MARCAS

ESPAÑA



11 Número de publicación: **2 652 603**

51 Int. Cl.:

A61K 36/82

(2006.01)

12

TRADUCCIÓN DE PATENTE EUROPEA

T3

96 Fecha de presentación y número de la solicitud europea: **12.01.2005** **E 12152951 (5)**

97 Fecha y número de publicación de la concesión europea: **20.09.2017** **EP 2491939**

54 Título: **Composiciones bioactivas de plantas de Theacea y procedimientos para su producción y uso**

30 Prioridad:

12.01.2004 US 535861 P

45 Fecha de publicación y mención en BOPI de la traducción de la patente:

05.02.2018

73 Titular/es:

**ISP INVESTMENTS LLC (100.0%)
1011 Center Road, Suite 315
Wilmington, DE 19805, US**

72 Inventor/es:

KOGANOV, MICHAEL

74 Agente/Representante:

CARPINTERO LÓPEZ, Mario

ES 2 652 603 T3

Aviso: En el plazo de nueve meses a contar desde la fecha de publicación en el Boletín Europeo de Patentes, de la mención de concesión de la patente europea, cualquier persona podrá oponerse ante la Oficina Europea de Patentes a la patente concedida. La oposición deberá formularse por escrito y estar motivada; sólo se considerará como formulada una vez que se haya realizado el pago de la tasa de oposición (art. 99.1 del Convenio sobre Concesión de Patentes Europeas).

DESCRIPCIÓN

Composiciones bioactivas de plantas de Theacea y procedimientos para su producción y uso

Campo de la invención

5 La presente invención se refiere a composiciones bioactivas, procedimientos para su producción a partir de plantas de Theacea, y usos de estas composiciones.

Antecedentes de la invención

10 La familia *Theacea* (plantas de té) incluye árboles o arbustos que comprenden aproximadamente 40 géneros y 600 especies. La *Camellia sinensis* ocupa una posición única en la familia *Theacea*, debido a que esta especie particular de planta se usa predominantemente como fuente de materia prima única para producir los tres tipos básicos de té: té verde, té oolong y té negro (denominados en conjunto en el presente documento "planta de té"). De acuerdo con algunas fuentes, existe un cuarto tipo de té, es decir, el denominado "té blanco", que se produce exclusivamente a partir de los brotes o puntas de la planta de té.

15 Las tres formas básicas de té están determinadas por el grado de procesamiento, que implica las hojas de té jóvenes tiernas idénticas. Las hojas se arrancan, se clasifican, se limpian y se oxidan de forma diversa antes de la vaporización o del secado. El término "fermentación" se usa con frecuencia para describir el procesamiento del té, pero el término "oxidación" es una descripción mucho más adecuada de las transformaciones químicas que tienen lugar.

20 Aunque existen algunas variaciones en el procesamiento, en general se acepta que el té verde tiene el menor grado de oxidación y que el té negro tiene el mayor. Se considera que el té oolong está parcialmente oxidado, y por tanto ocupa el lugar entre el té verde y el té negro. Con respecto al procesamiento, existe muy poca diferencia (o ninguna diferencia) entre el té verde y el té blanco.

25 El té verde se prepara a partir de hojas frescas que se vaporizan y se marchitan y, a continuación, se secan de inmediato. El té negro se prepara a partir de hojas que se marchitan y se machacan con rodillos, a continuación se deja que se oxiden durante varias horas antes de que se sequen. El té oolong viene de las hojas que se oxidan parcialmente antes del secado.

30 En todo el mundo, el té es el segundo (después del agua) líquido consumido más comúnmente, y es el sexto (después del agua, refrescos, café, cerveza y leche) líquido usado más comúnmente en los Estados Unidos. El consumo de té continúa su incremento en todo el mundo, en especial debido a la creciente sensibilización pública sobre los beneficios en la salud de este líquido. Existe un número creciente de publicaciones que sugieren propiedades anti-angiogénicas, anti-bacterianas, anti-cancerígenas, anti-inflamatorias, anti-mutagénicas, anti-oxidantes, anti-sépticas y desintoxicantes de los té y sus ingredientes. La lista de beneficios del té también incluye una reducción en el riesgo de artritis reumatoide, disminución en los niveles de colesterol y propiedades anti-diabéticas. No se ha demostrado que todos estos beneficios sean estadísticamente significativos. No obstante, el espectro tan amplio de los beneficios del té refleja la composición única de las sustancias biológicamente activas tan potentes, que existen en las hojas de plantas recién cosechadas y que sobreviven al procesamiento convencional del té.

35 En particular, se ha informado de que las hojas frescas *Camellia sinensis* contienen un 22,2 % de polifenoles, un 17,2 % de proteína, un 4,3 % de cafeína, un 27,0 % de fibra cruda, un 0,5 % de almidón, un 3,5 % azúcares reductores, un 6,5 % pectinas, un 2,0 % extracto de éter y un 5,6 % de ceniza (Duke, J.A., Handbook of Energy Crops (1983), véase www.hort.purdue.edu/newcrop/duke_energy/Camellia_sinensis.html). Por 100 g, se informa de que la hoja contiene 8,0 g de H₂O, 24,5 g de proteína, 2,8 g de grasa, 58,8 g de carbohidratos totales, 8,6 g de fibra, 5,9 g de ceniza, 327 mg de Ca, 313 mg de P, 24,3 mg de Fe, 50 mg de Na, 2700 µg equivalente de β-caroteno, 0,07 mg de tiamina, 0,8 mg de riboflavina, 7,6 mg de niacina y 9 mg de ácido ascórbico. Otro informe coincide 8,0 g de H₂O, 28,3 g de proteína, 4,8 g de grasa, 53,6 g de carbohidratos totales, 9,6 g de fibra, 5,6 g de ceniza, 245 mg de Ca, 415 mg de P, 18,9 mg de Fe, 60 mg de Na, 8400 µg equivalente de β-caroteno, 0,38 mg de tiamina, 1,24 mg de riboflavina, 4,6 mg de niacina y 230 mg de ácido ascórbico. Otro también da 8,1 g de H₂O, 24,1 g de proteína, 3,5 g de grasa, 59,0 g de carbohidratos totales, 9,7 g de fibra, 5,3 g de ceniza, 320 mg de Ca, 185 mg de P, 31,6 mg de Fe, 8400 µg equivalente de β-caroteno, 0,07 mg de tiamina, 0,79 mg de riboflavina, 7,3 mg de niacina y 85 mg de ácido ascórbico (J. A. Duke y A. A. Atchley, "Proximate Analysis", en: Christie, B.R. (ed.), The Handbook of Plant Science in Agriculture, CRC Press, Inc., Boca Raton, FL (1984)).

40 Las hojas también contienen caroteno, riboflavina, ácido nicotínico, ácido pantoténico ácido y ácido ascórbico. La cafeína y el tanino están entre los constituyentes más activos (Council for Scientific and Industrial Research, 1948-1976). El ácido ascórbico, presente en la hoja fresca, se destruye en la preparación del té negro. Se producen ácidos málico y oxálico, junto con kaempferol, quercitrina, teofilina, teobromina, xantina, hipoxantina, adenina, gomas, dextrinas e inositol. Los componentes principales del aceite volátil (0,007 - 0,014 % del peso fresco de las hojas) son hexenal, hexenol, y aldehídos inferiores, butiraldehído, isobuteraldehído, isovaleraldehído, así como alcoholes n-hexílico, bencílico y feniletílico, fenoles, cresol, ácido hexoico, alcohol n-octílico, geraniol, linalol,

acetofenona, alcohol bencílico y citral.

Se ha encontrado que la hoja de té fresco tiene un nivel inusualmente alto del grupo flavanol de polifenoles (catequinas), que puede alcanzar hasta un 30 % de la materia seca de la hoja. Las catequinas incluye predominantemente (-)-epicatequina, galato de (-)-epicatequina, (-)-epigallocatequina y galato de (-)-epigallocatequina. Adicionalmente, son únicos para el té el ácido 3-galoilquínico (teogalina) y único el aminoácido teanina (5-N-etilglutamina) (Duke, J.A., Handbook of Energy Crops (1983), véase www.hort.purdue.edu/newcrop/duke_energy/Camellia_sinensis.html).

Las hojas de té contienen niveles altos de polifenol-oxidasa y peroxidasa. La primera enzima cataliza la oxidación aerobia de las catequinas y este procedimiento se inicia cuando se altera la integridad de la estructura celular de la hoja. La fenol-oxidasa es responsable de la generación de bisflavonoles, teaflavinas, ácidos epiteaflávicos y tearubigenos, que constituyen la mayor masa de materia extraíble en el té negro. La mayoría de estos compuestos formar fácilmente complejos con cafeína, que tiene un nivel significativo (2 - 4 % de la materia seca) en las hojas frescas. La peroxidasa desempeña un papel importante en la generación de los complejos anteriores con las proantocianidinas. Las catequina quinonas también inician la formación de muchos de los cientos de compuestos volátiles descubiertos en la fracción aromática del té negro. Adicionalmente, tiene lugar la transformación de glucósidos relativamente solubles en agluconas de menor solubilidad.

Todas las cascadas de complejos de los procesos anteriores se inician por la alteración de la estructura celular de la hoja y se intensifican con el tiempo de oxidación. Como resultado, la composición del té negro, que normalmente se procesa con laminación o corte intenso y un tiempo de oxidación relativamente largo, es mucho más diferente de la hoja fresca. Aunque el té verde (y el té blanco) se procesa con una oxidación mínima, y su composición es más similar a la de las hojas frescas, existen cambios catalizados enzimática y no enzimáticamente, que se producen de forma extremadamente rápida después del arrancado, y se producen nuevas sustancias volátiles durante la etapa de secado. Por tanto, incluso un procesamiento del té verde relativamente suave inicia cierta desviación en la composición original de la planta fresca y puede disminuir el valor terapéutico y otros beneficios potenciales de las hojas de la planta de té frescas.

Numerosos estudios recientes demuestran claramente que los beneficios terapéuticos del son decrecientes en la siguiente secuencia: té blanco > té verde > té oolong > té negro. Por tanto, la exploración de las plantas de té frescas puede prevenir la degradación de actividades específicas, que se observan como resultado del procesamiento convencional de té. Las hojas de *Camellia* tiernas, frescas, contienen aproximadamente un 80 % de agua. El hinchamiento y la deshidratación de las células se previenen por las paredes celulares rígidas de las células. La alteración de la estructura de la pared celular desencadena la deshidratación del tejido de la planta fresca seguido de la secuencia de procesos fisicoquímicos y bioquímicos no deseados: choque osmótico, descompartimentalización y alteración de enzimas, hidrólisis y oxidación, polimerización de fenoles, transformación de glucósidos a agluconas, generación de productos de la reacción de Maillard, isomerización y contaminación microbiana. Por lo tanto, la *Camellia* fresca contiene un espectro muy amplio de sustancias biológicamente activas y solo parte de ellas están disponibles durante los procedimientos de extracción convencionales. Por tanto, solo las paredes celulares, catabolitos y metabolitos estables se pueden extraer con agua hirviendo para obtener una bebida de té o para su extracción con diferentes disolventes para obtener partes limitadas de componentes biológicamente activos (predominantemente polifenoles y flavonoides).

En vista del potencial de las hojas de té frescas como fuente de composiciones bioactivas terapéuticas valiosas y otras potencialmente beneficiosas, es necesaria la exploración de plantas de té frescas para determinar cómo maximizar sus propiedades bioactivas terapéuticas y otras potencialmente beneficiosas.

Gensler et al (Nutrition and Cancer, vol. 26, n.º 3, 1996) describe la prevención de la fotocarcinogénesis por administración tópica de galato de epigallocatequina puro aislado de té verde.

Zhao et al (Photochemistry and Photobiology, 1999 (70)(4) 637-644) divulga el efecto fotoprotector de extractos de té negro frente a la fototoxicidad inducida por UVB en la piel. Vayalil et al (Carcinogenesis, vol. 24, n.º 5, p. 927-936, 2003) describe tratamientos especificados de polifenoles del té verde en crema hidrófila.

Sumario de la invención

La materia objeto de la presente invención se establece en las reivindicaciones adjuntas.

La presente invención es útil para abordar las deficiencias de los procedimientos de procesamiento de té convencionales, en particular la incapacidad del procesamiento de té convencional para preservar un espectro amplio de composiciones bioactivas potentes. Como se proporciona por la presente invención, el procesamiento de biomasa de *Camellia* fresca sin fermentación y tratamiento térmico excesivo puede proporcionar composiciones bioactivas más potentes y diversificadas que los productos de procesamiento de té convencional.

Breve descripción de los dibujos

La figura 1 es un dibujo esquemático que demuestra un modo de realización del procedimiento para preparar las composiciones bioactivas de la presente invención.

La figura 2 es un gráfico que muestra los espectros UV/VIS de extractos de una fracción de paredes celulares y

tés convencionales (dilución 1: 1000).

La figura 3 es un gráfico que muestra los espectros UV/VIS de composiciones bioactivas de *Camellia* (dilución 1:4000).

5 La figura 4 es un gráfico que muestra los espectros de absorbancia de extractos de fracción de paredes celulares y tés convencionales aplicados en sustrato de prueba Vitro-Skin® (IMS Testing Group, Milford, CT). Los niveles de materia seca están igualados.

La figura 5 es un gráfico que muestra los espectros de absorbancia de composiciones bioactivas de *Camellia* aplicadas en sustrato de prueba Vitro-Skin® (IMS Testing Group, Milford, CT). Los niveles de materia seca están igualados.

10 La figura 6 es un gráfico que muestra los espectros de absorbancia de composiciones bioactivas de *Camellia* y extracto de té blanco aplicados en sustrato de prueba Vitro-Skin® (IMS Testing Group, Milford, CT).

La figura 7A es un gráfico que muestra los espectros de absorbancia de extracto de fracción de membrana de *Camellia* en solución diluida (1: 200) y aplicado en sustrato de prueba Vitro-Skin® (IMS Testing Group, Milford, CT). La figura 7B es un gráfico que muestra los espectros de absorbancia de suero de jugo celular de *Camellia* solución diluida (1:200) y aplicado en sustrato de prueba Vitro-Skin® (IMS Testing Group, Milford, CT).

15 La figura 8A es un gráfico que muestra los espectros de absorbancia de suero de jugo celular de cebada (*Hordeum vulgare*) en solución diluida (1:200) y aplicado a sustrato de prueba Vitro-Skin® (IMS Testing Group, Milford, CT). La figura 8B es un gráfico que muestra los espectros de absorbancia de suero de jugo celular de salvia (*Salvia officinalis*) en solución diluida solución (1:200) y aplicado en sustrato de prueba Vitro-Skin® (IMS Testing Group, Milford, CT).

20 La figura 9 es un gráfico que muestra el efecto de irradiación UV de amplio espectro en sustrato de prueba Vitro-Skin® (IMS Testing Group, Milford, CT).

La figura 10 es un gráfico que muestra el efecto de irradiación UV de amplio espectro en extracto de té blanco aplicado en sustrato de prueba Vitro-Skin® (IMS Testing Group, Milford, CT).

25 La figura 11 es un gráfico que muestra el efecto de irradiación UV de amplio espectro en extracto de fracción de paredes celulares aplicado en sustrato de prueba Vitro-Skin® (IMS Testing Group, Milford, CT).

La figura 12 es un gráfico que muestra el efecto de radiación UV de amplio espectro en extracto de fracción de membrana de *Camellia* aplicado en sustrato de prueba Vitro-Skin® (IMS Testing Group, Milford, CT).

30 La figura 13 es un gráfico que muestra el efecto de radiación UV de amplio espectro en suero de jugo celular de *Camellia* aplicado en sustrato de prueba Vitro-Skin® (IMS Testing Group, Milford, CT).

La figura 14 es un gráfico que muestra el efecto del extracto de té blanco en células MDA-MB-435S cultivadas durante 24 horas y 48 horas.

La figura 15 es un gráfico que muestra el efecto del extracto de té blanco en células MCF-7 cultivadas durante 24 horas (control) y durante 24 horas y 48 horas en presencia de 5 ng/ml de TGF-β.

35 La figura 16 es un gráfico que muestra el efecto del extracto de la fracción de paredes celulares en células MDA-MB-435S cultivadas durante 24 horas y 48 horas.

La figura 17 es un gráfico que muestra el efecto del extracto de la fracción de paredes celulares en células MCF-7 cultivadas durante 24 horas (control) y durante 24 horas y 48 horas en presencia de 5 ng/ml de TGF-β.

40 La figura 18 es un gráfico que muestra el efecto del extracto de la fracción de membrana en células MDA-MB-435S cultivadas durante 24 horas y 48 horas.

La figura 19 es un gráfico que muestra el efecto del extracto de la fracción de membrana en células MCF-7 cultivadas durante 24 horas (control) y durante 24 horas y 48 horas en presencia de 5 ng/ml de TGF-β.

La figura 20 es un gráfico que muestra el efecto del suero de jugo celular en células MDA-MB-4355 cultivadas durante 24 horas y 48 horas.

45 La figura 21 es un gráfico que muestra el efecto del suero de jugo celular en células MCF-7 cultivadas durante 24 horas (control) y durante 24 horas y 48 horas en presencia de 5 ng/ml de TGF-β.

La figura 22 es un gráfico que muestra el efecto del extracto de té blanco en células Mono Mac 6 cultivadas durante 24 y 48 horas.

50 La figura 23 es un gráfico que muestra el efecto del extracto de té blanco en células Mono Mac 6 cultivadas durante 24 horas y 48 horas en presencia de PMA 10 nM.

La figura 24 es un gráfico que muestra el efecto de extracto de la fracción de paredes celulares en células Mono Mac 6 cultivadas durante 24 horas y 48 horas.

La figura 25 es un gráfico que muestra el efecto de extracto de la fracción de paredes celulares en células Mono Mac 6 cultivadas durante 24 horas y 48 horas en presencia de PMA 10 nM.

55 La figura 26 es un gráfico que muestra el efecto del extracto de la fracción de membrana en células Mono Mac 6 cultivadas durante 24 horas y 48 horas.

La figura 27 es un gráfico que muestra el efecto del extracto de la fracción de membrana en células Mono Mac 6 cultivadas durante 24 horas y 48 horas en presencia de PMA 10 nM.

60 La figura 28 es un gráfico que muestra el efecto del suero de jugo celular en células Mono Mac 6 cultivadas durante 24 horas y 48 horas.

La figura 29 es un gráfico que muestra el efecto del suero de jugo celular en células Mono Mac 6 cultivadas durante 24 horas y 48 horas en presencia de PMA 10 nM.

La figura 30 es un gráfico que muestra el efecto del extracto de té blanco sobre el nivel de MPM secretadas por células Mono Mac 6 estimuladas con PMA.

65 La figura 31 es un gráfico que muestra el efecto del extracto de la fracción de paredes celulares en el nivel de MPM secretadas por células Mono Mac 6 estimuladas con PMA.

La figura 32 es un gráfico que muestra el efecto del extracto de la fracción de membrana sobre el nivel de MPM secretadas por células Mono Mac 6 estimuladas con PMA.

La figura 33 es un gráfico que muestra el efecto del suero de jugo celular sobre el nivel de MPM secretadas por células Mono Mac 6 estimuladas con PMA.

La figura 34 es un zimograma de gelatina de medio cultivado recogido después de 48 horas de exposición de células Mono Mac 6 a extracto de té blanco, junto con medio de cultivo recogido de células cultivadas en ausencia (U) o en presencia (S) de PMA 10 nM, pero en ausencia de las composiciones de *Camellia*.

La figura 35 es un zimograma de gelatina de medio cultivado recogido después de 48 horas de exposición de células Mono Mac 6 a extracto de fracción de paredes celulares, junto con medio de cultivo recogido de células cultivadas en ausencia (U) o en presencia (S) de PMA 10 nM, pero en ausencia de las composiciones de *Camellia*.

La figura 36 es un zimograma de gelatina de medio cultivado recogido después de 48 horas de exposición de células Mono Mac 6 a extracto de fracción de membrana, junto con medio de cultivo recogido de células cultivadas en ausencia (U) o en presencia (S) de PMA 10 nM, pero en ausencia de las composiciones de *Camellia*.

La figura 37 es un zimograma de gelatina de medio cultivado recogido después de 48 horas de exposición de células Mono Mac 6 a suero de jugo celular, junto con medio de cultivo recogido de células cultivadas en ausencia (U) o en presencia (S) de PMA 10 nM, pero en ausencia de las composiciones de *Camellia*.

La figura 38 es un gráfico de barras que compara el contenido de varias catequinas en el extracto de té blanco ("WTE") y en el extracto de la fracción de paredes celulares ("CWFE"), el extracto de la fracción de membrana ("MFE"), y el suero de jugo celular ("CJS") de la presente invención.

Descripción detallada de la invención

La presente invención se refiere a una composición bioactiva. La composición bioactiva es o incluye una fracción bioactiva aislada derivada de una planta de *Theaceae*. Como se usa en el presente documento, el término "fracción bioactiva aislada" quiere decir que incluye fracciones que están aisladas de una planta *Theaceae* (por ejemplo, de biomasa fresca de una planta de *Theaceae* que no ha sufrido ningún procesamiento de té convencional (por ejemplo, tratamiento térmico, oxidación, fermentación, secado). Las fracciones bioactivas aisladas adecuadas son un extracto de una fracción de paredes celulares, una fracción de membrana, un extracto de la fracción de membrana, un suero de jugo celular, y/o combinaciones de los mismos.

Las composiciones y fracciones bioactivas de la presente invención pueden tener varios perfiles y cantidades de contenido en catequina total, como se define a continuación, y como se determina usando procedimientos de diagnóstico de catequina convencionales bien conocidos en la técnica. Como se usa en el presente documento, el término "catequina" se refiere en general a todas las catequinas, incluyendo pero sin limitarse a, los siguientes tipos específicos de catequinas: (i) (-)-epigalocatequina (véase n.º CAS 970-74-1; (ii) (+)-catequina (véase n.º CAS 7295-85-4; (iii) (-)-epicatequina (véase n.º CAS 490-46-0; (iv) galato de (-)-epigalocatequina (véase n.º CAS 989-51-5; (v) galato de (-)-galocatequina (véase n.º CAS 4233-96-9; y (vi) galato de (-)-epicatequina (véase n.º CAS 1257-08-5. "Contenido en catequina total" (como se usa en el presente documento) se refiere al nivel de contenido combinado de todas las catequinas contenidas en una composición bioactiva o una fracción bioactiva particular de la presente invención, y no quiere decir que esté limitado a los niveles de contenido solo de los tipos específicos de catequinas enumeradas anteriormente en el presente documento. Como se usa en el presente documento, el término "perfil de contenido en catequina" se usa para describir las cantidades de catequinas seleccionadas contenidas en una composición bioactiva o fracción bioactiva particular de la presente invención.

En un modo de realización de la composición bioactiva de la presente invención, la fracción bioactiva puede ser un extracto de la fracción de paredes celulares. En un modo de realización específico de la presente invención, el extracto de la fracción de paredes celulares puede tener un contenido en catequina total de entre aproximadamente 2,1 y aproximadamente 4,5 miligramos por gramo de materia seca, en particular, de entre aproximadamente 2,6 y aproximadamente 4,0 miligramos por gramo de materia seca, y más en particular, de entre aproximadamente 3,0 y aproximadamente 3,6 miligramos por gramo de materia seca. En otro modo de realización específico, el extracto de la fracción de paredes celulares puede tener un perfil de contenido en catequina como sigue: (i) entre aproximadamente 2,0 y aproximadamente 3,0 miligramos de (+)-catequina por gramo de materia seca del extracto de la fracción de paredes celulares; (ii) entre aproximadamente 0,005 y aproximadamente 0,02 miligramos de (-)-epicatequina por gramo de materia seca del extracto de la fracción de paredes celulares; (iii) entre aproximadamente 0,005 y aproximadamente 0,02 miligramos de galato de (-)-epigalocatequina por gramo de materia seca del extracto de la fracción de paredes celulares; y (iv) entre aproximadamente 0,003 y aproximadamente 0,01 miligramos de galato de (-)-epicatequina por gramo de materia seca del extracto de la fracción de paredes celulares. Más en particular, el extracto de la fracción de paredes celulares puede tener un perfil de contenido en catequina como sigue: (i) entre aproximadamente 2,2 y aproximadamente 2,7 miligramos de (+)-catequina por gramo de materia seca del extracto de la fracción de paredes celulares; (ii) entre aproximadamente 0,01 y aproximadamente 0,015 miligramos de (-)-epicatequina por gramo de materia seca del extracto de la fracción de paredes celulares; (iii) entre aproximadamente 0,01 y aproximadamente 0,015 miligramos de galato de (-)-epigalocatequina por gramo de materia seca del extracto de la fracción de paredes celulares; y (iv) entre aproximadamente 0,005 y aproximadamente 0,007 miligramos de galato de (-)-epicatequina por gramo de materia seca del extracto de la fracción de paredes celulares.

En un modo de realización de la composición bioactiva de la presente invención, la fracción bioactiva puede ser una fracción de membrana.

En un modo de realización de la composición bioactiva de la presente invención, la fracción bioactiva puede ser un extracto de la fracción de membrana. En un modo de realización específico de la presente invención, el extracto de la fracción de membrana puede tener un contenido en catequina total de entre aproximadamente 15,0 y aproximadamente 30,5 miligramos por gramo de materia seca, en particular, de entre aproximadamente 18,0 y aproximadamente 27,5 miligramos por gramo de materia seca, y más en particular, de entre aproximadamente 21,0 y aproximadamente 24,5 miligramos por gramo de materia seca. En otro modo de realización específico, el extracto de la fracción de membrana puede tener un perfil de contenido en catequina como sigue: (i) entre aproximadamente 1,7 y aproximadamente 3,3 miligramos de (-)-epigallocatequina por gramo de materia seca del extracto de la fracción de membrana; (ii) entre aproximadamente 6,1 y aproximadamente 10,2 miligramos de (+)-catequina por gramo de materia seca del extracto de la fracción de membrana; (iii) entre aproximadamente 0,3 y aproximadamente 1,1 miligramos de (-)-epicatequina por gramo de materia seca del extracto de la fracción de membrana; (iv) entre aproximadamente 6,2 y aproximadamente 12,5 miligramos de galato de (-)-epigallocatequina por gramo de materia seca del extracto de la fracción de membrana; (v) entre aproximadamente 0,007 y aproximadamente 0,03 miligramos de galato de (-)-galocatequina por gramo de materia seca del extracto de la fracción de membrana; y (vi) entre aproximadamente 1,3 y aproximadamente 3,3 miligramos de galato de (-)-epicatequina por gramo de materia seca del extracto de la fracción de membrana. Más en particular, el extracto de la fracción de membrana puede tener un perfil de contenido en catequina como sigue: (i) entre aproximadamente 2,0 y aproximadamente 3,0 miligramos de (-)-epigallocatequina por gramo de materia seca del extracto de la fracción de membrana; (ii) entre aproximadamente 7,0 y aproximadamente 9,0 miligramos de (+)-catequina por gramo de materia seca del extracto de la fracción de membrana; (iii) entre aproximadamente 0,5 y aproximadamente 0,9 miligramos de (-)-epicatequina por gramo de materia seca del extracto de la fracción de membrana; (iv) entre aproximadamente 8,0 y aproximadamente 10,0 miligramos de galato de (-)-epigallocatequina por gramo de materia seca del extracto de la fracción de membrana; (v) entre aproximadamente 0,01 y aproximadamente 0,02 miligramos de galato de (-)-galocatequina por gramo de materia seca del extracto de la fracción de membrana; y (vi) entre aproximadamente 1,8 y aproximadamente 2,8 miligramos de galato de (-)-epicatequina por gramo de materia seca del extracto de la fracción de membrana.

En un modo de realización de la composición bioactiva de la presente invención, la fracción bioactiva puede ser un suero de jugo celular. En un modo de realización específico, el suero de jugo celular puede tener un contenido en catequina total de entre aproximadamente 8,0 y aproximadamente 20,0 miligramos por gramo de materia seca, en particular, de entre aproximadamente 10,0 y aproximadamente 18,0 miligramos por gramo de materia seca, y más en particular, de entre aproximadamente 12,0 y aproximadamente 16,0 miligramos por gramo de materia seca. En otro modo de realización específico, el suero de jugo celular puede tener un perfil de contenido en catequina como sigue: (i) entre aproximadamente 2,1 y aproximadamente 4,4 miligramos de (-)-epigallocatequina por gramo de materia seca del suero de jugo celular; (ii) entre aproximadamente 4,2 y aproximadamente 8,6 miligramos de (+)-catequina por gramo de materia seca del suero de jugo celular; (iii) entre aproximadamente 0,2 y aproximadamente 2,0 miligramos de (-)-epicatequina por gramo de materia seca del suero de jugo celular; (iv) entre aproximadamente 1,2 y aproximadamente 3,2 miligramos de galato de (-)-epigallocatequina por gramo de materia seca del suero de jugo celular; (v) entre aproximadamente 0,01 y aproximadamente 0,1 miligramos de galato de (-)-galocatequina por gramo de materia seca del suero de jugo celular; y (vi) entre aproximadamente 0,2 y aproximadamente 1,3 miligramos de galato de (-)-epicatequina por gramo de materia seca del suero de jugo celular. Más en particular, el suero de jugo celular puede tener un perfil de contenido en catequina como sigue: (i) entre aproximadamente 3,0 y aproximadamente 3,5 miligramos de (-)-epigallocatequina por gramo de materia seca del suero de jugo celular; (ii) entre aproximadamente 5,0 y aproximadamente 7,0 miligramos de (+)-catequina por gramo de materia seca del suero de jugo celular; (iii) entre aproximadamente 0,7 y aproximadamente 1,5 miligramos de (-)-epicatequina por gramo de materia seca del suero de jugo celular; (iv) entre aproximadamente 1,7 y aproximadamente 2,7 miligramos de galato de (-)-epigallocatequina por gramo de materia seca del suero de jugo celular; (v) entre aproximadamente 0,03 y aproximadamente 0,07 miligramos de galato de (-)-galocatequina por gramo de materia seca del suero de jugo celular; y (vi) entre aproximadamente 0,5 y aproximadamente 1,0 miligramos de galato de (-)-epicatequina por gramo de materia seca del suero de jugo celular.

Se usa biomasa fresca de plantas de *Theacea* para aislar las composiciones bioactivas de la presente invención. La biomasa fresca se puede tomar de plantas de *Theacea* que son del género *Camellia* y/o *Eurya*. Las especies adecuadas del género *Camellia* para su uso en la presente invención pueden incluir, sin limitación, *Camellia sinensis*, *Camellia japonica*, *Camellia reticulata* y *Camellia sasanqua*. Las especies adecuadas del género *Eurya* para su uso en la presente invención pueden incluir, sin limitación, *Eurya sanwicensis*.

La composición bioactiva de la presente invención puede incluir además un agente estabilizante. Los agentes estabilizantes adecuados son los usados comúnmente en la técnica. Los agentes estabilizantes adecuados particulares pueden incluir, sin limitación, un emulsionante, un conservante, un antioxidante, una matriz polimérica y/o mezclas de los mismos.

En otro modo de realización, la composición bioactiva de la presente invención puede incluir además un sistema de administración para la administración tópica o sistémica que se usa comúnmente en la técnica.

La presente invención también se refiere a una formulación tópica bioactiva adecuada para la aplicación tópica a un mamífero. En un modo de realización, la formulación tópica bioactiva incluye una cantidad tópicamente eficaz de la composición bioactiva de la presente invención. La formulación tópica bioactiva puede incluir además un vehículo tópicamente aceptable. Los vehículos tópicamente aceptables adecuados pueden incluir, sin limitación, una base de crema hidrófila, una base de loción hidrófila, una base de tensioactivo hidrófilo, una base de gel hidrófila, una base de solución hidrófila, una base de crema hidrófoba, una base de loción hidrófoba, una base de tensioactivo hidrófoba, una base de gel hidrófoba y/o una base de solución hidrófoba. En un modo de realización, la composición bioactiva puede estar presente en una cantidad que varía de entre aproximadamente un 0,001 por ciento y aproximadamente un 90 por ciento del peso total de la formulación tópica bioactiva.

La presente invención también se refiere a una fracción o formulación bioactiva para su uso en la inhibición de la actividad inflamatoria de tejido de la piel de un mamífero. Esto implica proporcionar la composición bioactiva de acuerdo con la presente invención. El uso implica además la aplicación de la composición bioactiva al tejido de la piel en una cantidad eficaz para inhibir la actividad inflamatoria en el tejido de la piel. En un modo de realización, la composición bioactiva puede incluir adicionalmente un agente estabilizante (cuyos ejemplos adecuados son como los que se describen en el presente documento). En otro modo de realización, la composición bioactiva puede incluir adicionalmente un vehículo tópicamente aceptable (cuyos ejemplos adecuados son como los que se describen en el presente documento).

La presente invención también se refiere a una fracción o formulación bioactiva para su uso en la protección de tejido de la piel de un mamífero de daño inducido por luz ultravioleta. Esto implica proporcionar la composición bioactiva de la presente invención. El uso puede implicar aplicar la composición bioactiva al tejido de la piel en una cantidad eficaz para reducir el daño inducido por luz ultravioleta del tejido de la piel y para evitar el daño oxidativo del daño del tejido de la piel. En un modo de realización, la invención es útil en la protección de tejido de la piel del daño inducido por luz ultravioleta provocado por la luz ultravioleta en un intervalo de entre aproximadamente 320 y aproximadamente 400 nanómetros. En otro modo de realización, la composición bioactiva puede incluir adicionalmente un agente estabilizante (cuyos ejemplos adecuados son como los que se describen en el presente documento).

La presente invención también se refiere a una composición o formulación bioactiva para su uso en la normalización de trastornos de la piel en tejido de la piel de un mamífero. Esto implica proporcionar la composición bioactiva de la presente invención. El uso puede implicar la aplicación de la composición bioactiva al tejido de la piel en una cantidad eficaz para normalizar un trastorno celular en el tejido de la piel. En una realización, la composición bioactiva puede incluir adicionalmente un agente estabilizante (cuyos ejemplos adecuados son como los que se describen en el presente documento). En otra realización, la composición bioactiva puede incluir adicionalmente un vehículo tópicamente aceptable (cuyos ejemplos adecuados son como los que se describen en el presente documento).

La presente invención también se refiere a un procedimiento para aislar una fracción bioactiva que proviene del jugo celular de una planta *Theacea*. El presente procedimiento implica proporcionar una planta *Theacea* en la forma de una biomasa fresca. Las plantas *Theacea* adecuadas para su uso en el presente procedimiento son como las descritas anteriormente en el presente documento. La planta *Theacea* (biomasa fresca) se separa después en jugo celular y un componente de pared celular. El jugo celular se trata entonces en condiciones como las descritas en el presente documento para producir una fracción bioactiva. Las fracciones bioactivas adecuadas son una fracción de membrana, un extracto de fracción de membrana y/o un suero de jugo celular. La fracción bioactiva se aísla después del jugo celular tratado. Las diversas fracciones bioactivas adecuadas producidas mediante el presente procedimiento son como las que se describen en el presente documento. La presente invención se refiere adicionalmente a una composición bioactiva producida mediante el presente procedimiento.

La presente invención también se refiere a un procedimiento para aislar una fracción bioactiva que proviene del componente de pared celular de una planta *Theacea*. El presente procedimiento implica proporcionar una planta *Theacea* en la forma de una biomasa fresca. La planta *Theacea* (biomasa fresca) se separa después en jugo celular y un componente de pared celular. El componente de pared celular se trata en condiciones tales como las descritas en el presente documento para producir una fracción bioactiva. La fracción bioactiva se aísla después del componente de pared celular tratado. Las diversas fracciones bioactivas producidas mediante el presente procedimiento son como las que se describen en el presente documento. La presente invención se refiere adicionalmente a una fracción bioactiva aislada producida mediante el presente procedimiento.

A modo de ejemplo, el procedimiento global para preparar las fracciones bioactivas de la presente invención (como se describe anteriormente en el presente documento) se muestra esquemáticamente en la figura 1. Los detalles de las etapas de procesamiento se describen además en los ejemplos (*infra*). Como se representa en la figura 1, la biomasa fresca **10** (por ejemplo, biomasa de planta fresca) de plantas de *Theacea* se somete a molienda, maceración y prensado **20** en condiciones eficaces para destruir las paredes celulares rígidas, y de este modo proporcionar el jugo celular de planta **30** y las paredes celulares **32**. La biomasa fresca **10** también se usa para el procesamiento de té convencional **22** para producir un control positivo **150** para el muestreo y la evaluación comparativos. El jugo celular **30** se somete a coagulación **40** usando un tratamiento de microondas para lograr la coagulación cuantitativa de los componentes de la fracción de membrana de la biomasa de planta fresca **10**. La

coagulación **40** es suficiente para permitir la separación posterior de la fracción de membrana coagulada de otros componentes no coagulados del jugo celular **30**. Como se muestra en la figura 1, un modo de realización de dicha separación se logra por enfriamiento y centrifugación **42** para proporcionar la fracción de membrana (precipitado) **50** y el sobrenadante **60**, que está libre de componentes de la membrana de cloroplastos específicos tales como clorofila y fosfolípidos.

Para producir el extracto de la fracción de paredes celulares (es decir, la composición **A 110**), las paredes celulares **32** se someten a secado **34** (por ejemplo, varios tratamientos con microondas posteriores) y a continuación a mezclado del material seco con agua **36** en condiciones usadas comúnmente para preparar té convencionales (por ejemplo, mezclado en agua a 85 °C).

Para producir el extracto de la fracción de membrana (es decir, la composición **B 120**), la fracción de membrana **50** se somete a mezclado con disolvente **52** y a continuación centrifugación **54** para proporcionar el sobrenadante **56** y la composición **B 120**.

Para producir el suero de jugo celular (es decir, la composición **D 140**), el sobrenadante **60** se somete a coagulación **62** (por ejemplo, precipitación isoelectrónica) y a centrifugación **64** para proporcionar el suero de jugo celular (sobrenadante) **66** y a continuación la composición **D 140**.

El procesamiento de té convencional **22** de biomasa fresca **10** se usa para producir, por ejemplo, el control positivo **150** (de varios té, incluyendo, por ejemplo, los té blanco, verde, oolong y negro).

La composición **A 110**, composición **B 120**, composición **D 140**, y el control positivo **150** se pueden usar a continuación para la filtración y las pruebas **80**.

Ejemplos

Ejemplo 1- Preparación de composiciones bioactivas derivadas de plantas *Camellia sinensis*

En la figura 1 se muestra un esquema de un modo de realización del procedimiento de preparación de las composiciones bioactivas de la presente invención. A continuación se muestra una descripción de aspectos relevantes de un modo de realización del procedimiento de la presente invención.

Preparación de biomasa. Se cultivaron cantidades suficientes de biomasa de planta *Camellia* (*Camellia sinensis*) fresca (solo tejido superior de planta joven tierna con brotes) para proporcionar aproximadamente 100 kg de materia seca. Se calculó que el nivel de materia seca en la biomasa fresca era de un 21,70 %, requiriendo el cultivo de aproximadamente 461 kg de biomasa de planta fresca para proporcionar 100 kg de materia seca. Se tuvo cuidado de preservar el contenido en humedad inherente de la biomasa de planta y de evitar el marchitamiento debido a la pérdida de humedad. Se llevó a cabo el cultivo de manera tal que se evitara o se minimizara el picado, la maceración y la molienda de la biomasa recogida para evitar la alteración de la estructura celular de la hoja, lo que desencadena las reacciones enzimáticas endógenas catalizadas por fenoloxidasas y peroxidasas. Debido a que estas reacciones se intensifican con el tiempo de oxidación, se completaron todas las etapas en el periodo de tiempo más corto posible. Por ejemplo, se administró biomasa cultivada para el procesamiento no más de 10 minutos después del corte. Esto se realizó para minimizar la exposición de la biomasa de planta al sol, temperatura alta y otros factores ambientales negativos. Se realizó una etapa de lavado para retirar las partículas de suelo y otros restos de las plantas antes del procesamiento adicional. Este lavado se llevó a cabo lavando las plantas cultivadas durante ≤ 5 minutos en ≤ 1 kg/cm² de presión de agua. El lavado con agua residual no contenía ningún pigmento verde ni marrón, lo que indica una presión de agua y una duración del lavado apropiadas. Se retiró el agua en exceso de la biomasa de planta lavada.

Molienda, maceración y prensado de la biomasa de planta. Después del cultivo, recogida y lavado de la biomasa de planta, las plantas sufren a continuación molienda, maceración y prensado pressing para extraer el contenido intracelular (es decir, el jugo celular de planta) y para separarlo de la fracción de las paredes celulares enriquecida de fibra (fracción de paredes celulares). Se usó un molino de martillos (modelo VS 35, Vincent Corporation, FL) que tiene un motor de 10 HP y conjunto de pantallas, para moler la biomasa para proporcionar partículas de tejido de planta de un tamaño adecuadamente pequeño en la menor cantidad de tiempo y sin un incremento significativo de la temperatura de la biomasa. Se ajustó el molino de martillos para producir el tamaño máximo de partículas de planta macerada de $\leq 0,5$ centímetros durante ≤ 10 segundos de tratamiento. La temperatura de la biomasa se incrementó solo ≤ 5 °C. Se usó de inmediato una prensa de husillo continua horizontal (Compact Press "CP-6", Vincent Corporation, FL) para extraer el jugo celular de planta de la planta. Se mantuvo la presión en el cono de la prensa de husillo en un nivel de 24 kg/cm², con una velocidad de husillo de 12 rpm y un incremento de temperatura de solo ≤ 5 °C. Este tratamiento proporcionó los 185 kg de fracción de paredes celulares que tiene un nivel de materia seca de un 41,39 % y 276 kg de jugo celular de planta que tiene un nivel de materia seca de un 8,49 %.

Preparación del extracto de la fracción de paredes celulares (composición A). Se secó la alícuota de la fracción de paredes celulares que tiene un nivel de materia seca inicial de un 41,39 % en una combinación de campana de microondas (modelo GH9115XE, Whirlpool) durante 30 s y a continuación se enfrió durante 30 s. Se repitió este tratamiento varias veces hasta que el nivel de materia seca en la fracción de paredes celulares alcanzó un 96,52 %.

Se añadieron los 66,01 de agua desionizada con una temperatura de 85 °C a 4,0 kg de fracción seca de paredes celulares y se mantuvo con agitación alta durante 5 min. Estas condiciones están de acuerdo con el procedimiento de preparación de té, que se describe en D'Amelio, F.S., *Botanicals. A Phytocosmetic Desk Reference*, Boca Raton, London, New York, Washington, D.C.: CRC Press, p. 361 (1999), que se incorpora en el presente documento por referencia en su totalidad (véanse también los análisis en www.leaftea.com; www.divinitea.com; www.equatorcoffee.com, que se incorporan en el presente documento por referencia en su totalidad). Se filtró la mezcla a través de 4 capas de una tela de nailon y a continuación a través del filtro que tiene poros de 0,8 µm. El pH del extracto de paredes celulares obtenido era igual a 5,24 y el nivel de materia seca era igual a un 0,84 %. Este extracto se usó además para las pruebas de sus actividades.

Separación de la fracción de membrana a partir del jugo celular. El jugo celular de planta inicial que tiene un nivel de materia seca de un 8,49 % contenía partículas de fibra pequeñas, que se retiraron por filtración a través de cuatro capas de tela de nailon o usando biomasa de centrifugación a baja velocidad. El jugo celular de planta filtrado se expuso a tratamiento de microondas usando un control de sonda de temperatura. Este tratamiento continuó hasta que la temperatura del jugo celular alcanzó 60 °C. Se indujo la coagulación, el jugo celular tratado se enfrió de inmediato hasta 40 °C. Se logró la separación de la fracción de membrana del jugo celular coagulado usando centrifugación mayor de o igual a 3.000 g durante más de o igual a 20 minutos. Esto proporcionó una fracción de membrana (precipitado) y un sobrenadante de jugo celular, que contenía una fracción de citoplasma fracción y una fracción de suero celular (es decir, componentes solubles de bajo peso molecular). Se usó la fracción de membrana que tiene un nivel de materia seca de un 32,89 % en la preparación del extracto de composición bioactiva derivada de membrana. Se usó el sobrenadante de jugo celular para el procesamiento adicional para proporcionar fracción de citoplasma y suero de jugo celular.

Preparación del extracto de la fracción de membrana (composición B). Se mezclaron una parte de fracción de membrana (10,0 kg) y dos partes de dimetilsulfóxido - (20,0 kg) a temperatura ambiente durante 1 hora con agitación permanente. A continuación, se centrifugó el material a más de o igual a 4.000 g durante más de o igual a 45 minutos. Se desechó el precipitado y se filtró el sobrenadante a través del filtro que tiene poros de 0,8 µm. Se usó este filtrado que tiene un nivel de materia seca de un 6,83 % - extracto de la fracción de membrana (composición B) para pruebas adicionales de sus actividades.

Separación de la fracción de citoplasma del sobrenadante de jugo celular. Para separar la fracción de citoplasma, el sobrenadante de jugo celular se sometió a precipitación isoelectrónica. Se indujo la precipitación de la fracción de citoplasma usando un procedimiento de valoración utilizando ácido clorhídrico (HCl) 5,0 N para llevar el pH del jugo celular sobrenadante hasta 4,0. Se logró la separación de la fracción de citoplasma precipitada que tiene un nivel de materia seca de un 14,5 % del sobrenadante por centrifugación a más de o igual a 3.000 g durante más de o igual a 20 minutos.

Preparación del extracto de fracción de citoplasma (composición C). Se mezclaron una parte de fracción de citoplasma (10,0 kg) y dos partes de dimetilsulfóxido - (20,0 kg) a temperatura ambiente durante 1 hora con agitación permanente. A continuación, se centrifugó el material a más de o igual a 4.000 g durante más de o igual a 45 minutos. Se desechó el precipitado y se filtró el sobrenadante a través del filtro que tiene poros de 0,8 µm. Se puede usar este filtrado que tiene un nivel de materia seca de un 3,50 % - extracto de fracción de citoplasma (composición C) para pruebas adicionales de sus actividades.

Preparación del suero de jugo celular (composición D). Después de la separación de la fracción de citoplasma, el sobrenadante contenía partículas suspendidas. Para separar estas partículas, se centrifugó el sobrenadante a más de o igual a 7.500 g durante más de o igual a 30 minutos. Se filtró el sobrenadante transparente - suero de jugo celular a través del filtro que tiene poros de 0,8 µm. Se usó este filtrado (composición D) que tiene un nivel de materia seca de un 5,69 % para pruebas adicionales de sus actividades.

Preparación de extractos de té convencionales - Controles. Se usó el mismo lote de hojas de *Camellia* frescas, que se usó para la preparación de las composiciones A, B, C y D, para producir té blanco y té negro convencionales.

Se usó el siguiente procedimiento para producir té blanco. Se dispuso la biomasa fresca que contenía un 21,70 % de materia seca durante 20 s en agua hirviendo para inactivar las enzimas endógenas - fenoloxidasas y peroxidasas. Durante este procedimiento, se mantuvieron las hojas en la bolsa de criba de nailon. A continuación, se secaron las hojas tratadas en microondas durante 30 s y después se enfriaron durante 30 s. Se repitió este tratamiento varias veces hasta que el nivel de materia seca en la biomasa alcanzó un 93,74 %. A continuación, se añadieron 66,01 de agua desionizada con una temperatura de 85 °C a 4,0 kg de hojas secas y se mantuvo con alta agitación durante 5 min. Estas condiciones están de acuerdo con el procedimiento de preparación de té, que se describe en D'Amelio, F.S., *Botanicals. A Phytocosmetic Desk Reference*, Boca Raton, London, New York, Washington, D.C.: CRC Press, p. 361 (1999), que se incorpora en el presente documento por referencia en su totalidad (véase también los análisis en www.leaftea.com; www.divinitea.com; y www.equatorcoffee.com, que se incorporan en el presente documento por referencia en su totalidad). Se filtró la mezcla a través de 4 capas de una tela de nailon y se filtró a través del filtro que tiene poros de 0,8 µm. El pH del extracto de la fracción de paredes celulares obtenido era igual a 5,52 y el nivel de materia seca era igual a un 1,10 %. Este extracto se usó además para las pruebas de sus actividades.

Se usó el siguiente procedimiento para producir té negro. Se mantuvo la biomasa fresca que contenía un 21,70 % de materia seca a 25 °C con aireación periódica (1 hora "encendida" y 1 hora "apagada") hasta que el nivel de materia seca alcanzó un 35 %. A continuación, se molieron (machacaron) a las partículas que tienen un tamaño de 2-3 mm. Este procedimiento da lugar a un incremento en la temperatura de la biomasa hasta aproximadamente 30 °C. Se dispuso la biomasa molida en forma de capa (2" (5,08 cm) de alto) en una cinta transportadora de plástico para su fermentación (oxidación) durante 90 min a 25 °C. Se secó la biomasa fermentada, que adquirió el color marrón, a 130 °C durante 30 min hasta alcanzar un nivel de materia seca de un 97,5 %. A continuación, se añadieron 66,01 de agua desionizada con una temperatura de 85 °C a 4,0 kg de hojas secas y se mantuvo con alta agitación durante 5 min. Estas condiciones están de acuerdo con el procedimiento de preparación de té, que se describe en D'Amelio, F.S., Botanicals. A Phytocosmetic Desk Reference, Boca Raton, London, New York, Washington, D.C.: CRC Press, p. 361 (1999), que se incorpora en el presente documento por referencia en su totalidad (véanse los análisis en www.leaftea.com; www.divinitea.com; www.equatorcoffee.com, que se incorporan en el presente documento por referencia en su totalidad). Se filtró la mezcla a través de 4 capas de una tela de nailon y se filtró a través del filtro que tiene poros de 0,8 µm. El pH del extracto de la fracción de paredes celulares obtenido era igual a 4,96 y el nivel de materia seca era igual a un 1,38 %. Este extracto se usó además para las pruebas de sus actividades.

Ejemplo 2- Distribución de materia seca con respecto a la preparación de composiciones bioactivas a partir de *Camellia sinensis*, *Camellia japonica*, *Camellia reticulate*, *Camellia sasanqua* y *Eurya sandwicensis*

Se analizaron y se compararon varias fracciones recogidas durante la producción de composiciones bioactivas para determinar su distribución de materia seca. La tabla 1 muestra la distribución de 100 kg de materia seca entre los productos de fraccionamiento de plantas de té. Se determinó que el procedimiento de la presente invención permite una conversión del rendimiento extraído en jugos celulares de planta en el intervalo de desde aproximadamente un 20 a un 30 % de materia seca de biomasa inicial. El rendimiento de materia seca de las fracciones de membrana estaba en el intervalo de un 5 % a un 10 % de materia seca de biomasa inicial y de un 25 % a un 35 % de materia seca de jugo celular. La tabla 1 muestra que los rendimientos de la materia seca de las fracciones de citoplasma no excedieron de un 1,0 % de la materia seca de biomasa inicial y posteriormente de un 2,5 % de la materia seca del sobrenadante de jugo celular. La mayoría de la materia seca del sobrenadante de jugo celular se concentró en suero de jugo celular. Se usaron la fracción de paredes celulares, la fracción de membrana y la fracción de citoplasma como fuentes para la preparación de sus extractos, que se categorizan como composiciones bioactivas. El suero de jugo celular se usó directamente "como es" como composición bioactiva posterior que no tiene disolventes exógenos.

Tabla 1 - Distribución de 100 kg de materia seca entre los productos del fraccionamiento de la biomasa fresca

Producto	Fuente de planta
	<i>Camellia sinensis</i>
Biomasa inicial	100,0
Fracción de paredes celulares	76,6
Jugo celular	23,4
Fracción de membrana	6,5
Fracción de citoplasma	0,6
Suero de jugo celular	16,3

Cabe destacar que los tres materiales seleccionados son la representación más diversificada de todas las estructuras funcionales, que existen en el tejido de la planta fresca. Solo el suero de jugo celular soluble tiene propiedades fisicoquímicas, lo que permite la administración directa a los sistemas de prueba *in vitro* usados comúnmente. Se usaron la fracción de paredes celulares, la fracción de membrana y la fracción de citoplasma como materias primas para la extracción con disolventes. Debido a que la fracción de paredes celulares es estructuralmente similar a los productos de planta de té convencionales, se extrajo esta fracción con agua para proporcionar la mejor comparación con té convencionales. Se extrajo la fracción de membrana con dimetilsulfóxido, que facilita la solubilización eficaz de los componentes tanto hidrófobos como hidrófilos integrados en las estructuras de cloroplastos y mitocondrias. Se extrajo la fracción de citoplasma con agua. Se usó el suero de jugo celular "como es".

La tabla 2 muestra el rendimiento de las cuatro composiciones bioactivas probadas: extracto de la fracción de paredes celulares (composición A), extracto de la fracción de membranas (composición B), extracto de la fracción de citoplasma (composición C), suero de jugo celular (composición D) y controles - extracto de té blanco o extracto de té negro de 100 kg de la biomasa materia seca inicial.

Tabla 2 - Rendimiento de las composiciones bioactivas de 100 kg de biomasa inicial

Producto	Fuente de planta
	<i>Camellia sinensis</i>
Biomasa inicial	100,0
Composición A (extracto de la fracción de paredes celulares)	14,35
Composición B (extracto de la fracción de membrana)	2,37
Composición C (extracto de la fracción de citoplasma)	0,2
Composición D (suero de jugo celular)	16,3
Control (extracto de té blanco o té negro)	15,14...19,36

La tabla 2 muestra que el rendimiento total de las composiciones bioactivas A, B, C y D de 100 kg de materia seca de *Camellia sinensis* iguala un 33,3 %, lo que excede significativamente el rendimiento del procedimiento de té convencional - 15,14...19,36 %.

5 Ejemplo 3- Comparación de la composición A (extracto de la fracción de paredes celulares) y extractos de té convencionales

Se midieron varios parámetros de la composición bioactiva A y extractos de té blanco y té negro obtenidos a partir del mismo lote de *Camellia sinensis* fresca y los resultados posteriores de estos se presentan en la tabla 3 (Los procedimientos experimentales usados se describen en los ejemplos 9 y 20, y en la publicación de solicitud de patente de los EE. UU. N.º 2003/0175235).

10

Tabla 3 - Varios parámetros de la composición bioactiva A y extractos de té blanco y negro.

Parámetro	Extracto de la fracción de paredes celulares (composición A)	Controles	
		Extracto de té blanco	Extracto de té negro
Materia seca, %	0,84	1,10	1,38
pH	5,24	5,52	4,96
Conductividad, mS/cm	1,57	2,23	5,32
Sólidos disueltos totales, g/l	0,78	1,23	2,71
Potencial redox, mV	123	159	188
Área bajo la curva de los espectros (ASC) 200 - 450 nm, Abs • nm	5,727	6,604	4,616
ASC : Materia seca	6,818	6,004	3,345
Actividad eliminadora de superóxido (RCI ₅₀), µg DM/ml	26,3	114,5	227,1
Color (escala 1...10)	9,6	4,7	7,5
Sabor (escala 1...10)	9,3	6,1	6,6
Sensación bucal (escala 1...10)	9,4	6,5	5,3

La tabla 3 muestra que el extracto de la fracción de paredes celulares tienen menores niveles de materia seca, electrolitos y sólidos disueltos en comparación con los extractos de té blanco y té negro convencionales. Los datos espectrales UV/VIS muestran que el extracto de la fracción de paredes celulares tiene el valor específico más alto del área bajo la curva de los espectros, es decir este producto particular de *Camellia* (composición A) tiene el mayor nivel de constituyentes ópticamente activos por unidad de materia seca. Adicionalmente, el extracto de la fracción de paredes celulares tiene la menor cantidad de potencial redox, lo que indica que esta composición se oxida menos que los extractos de té blanco y té negro convencionales. El extracto de la fracción de paredes celulares demostró la actividad eliminadora de superóxido, dando como resultado una inhibición del 50 % de la reducción de la c de citocromos (RCI₅₀) a una concentración mucho menor que los extractos de té blanco y té negro. Se seleccionó un procedimiento de prueba de análisis de descripción cualitativo ("QDA") para caracterizar y cuantificar sistemáticamente té basándose en el color, sabor y sensación bucal, que rigen la aceptabilidad de las bebidas de té. El procedimiento de QDA emplea un equipo entrenado de catadores expertos para cuantificar los atributos anteriores de las bebidas de té con relación a los estándares de referencia definidos. La evaluación comparativa del

15

20

color, sabor y sensación bucal de los tés demostró que el extracto de la fracción de las paredes celulares excedía significativamente las mismas características de los tés convencionales.

Por tanto, la fracción de paredes celulares, que se obtuvo a partir de biomasa de *Camellia* fresca sin ninguna fermentación (oxidación) ni tratamiento térmico, es distinta de todos los demás tés (Wilson et al., eds., Tea: Cultivation to Consumption, London: Chapman Hall (1992), que se incorpora en el presente documento por referencia en su totalidad). Adicionalmente, las enzimas clave de *Camellia* (fenoloxidasas y peroxidasas) siempre permanecen dentro de los tés convencionales. En cambio, la presente invención incluye la separación de hojas de *Camellia* frescas en fracción de paredes celulares y jugo celular, que se enriquece por estas enzimas y por tanto la fracción de paredes celulares no contiene fenoloxidasas y peroxidasas endógenas. Por lo tanto, la fracción de paredes celulares se debe categorizar como una nueva categoría de té que tiene diferencias fundamentales en comparación con los tés blanco, verde, oolong y negro. Este té con fracción de paredes celulares novedoso se puede usar suelto o en forma de bolsa u otras manifestaciones para preparar un amplio espectro de bebidas, y aditivos para productos alimenticios nutracéuticos y funcionales.

Ejemplo 4 - Preparación de composiciones bioactivas para diferentes aplicaciones

Se pueden usar todas las composiciones bioactivas como soluciones, suspensiones, dispersiones, pastas o polvos secos incorporadas en una variedad de formulaciones para administraciones tópicas o sistémicas. Las formas solubilizadas de las composiciones se pueden filtrar a través de filtros que tienen poros de 0,2 µm para retirar completamente partículas pequeñas no completamente solubilizadas y microorganismos endógenos. El nivel de materia seca en las composiciones bioactivas antes y después de la filtración esterilizada se presenta en la tabla 4.

Tabla 4 - Nivel de materia seca en las composiciones bioactivas antes (numerador) y después (denominador) de la filtración esterilizada

Producto	Fuente de planta
	<i>Camellia sinensis</i>
Composición A (Extracto de fracción de paredes celulares)	<u>0,84</u> 0,72
Composición B (Extracto de membrana fracción)	<u>6,83</u> 6,12
Composición D (Suero de jugo celular)	<u>5,69</u> 5,59
Control (Extracto de té blanco)	<u>1,10</u> 1,03

La tabla 4 muestra que los niveles de materia seca en todas las composiciones bioactivas disminuyeron después de la filtración esterilizante. Sin embargo, esta disminución no dio lugar a ninguna pérdida o reducción significativa de sus actividades biológicas y estuvo en el intervalo del 2 - 14 %. Por lo tanto, la mayor parte de las composiciones está presentada por ingredientes bioactivos solubles.

Las hojas de *Camellia* frescas contienen ingredientes de peso molecular relativamente bajo (reducidos, no oxidados). Como resultado de los procedimientos de oxidación y polimerización en la fabricación de tés convencionales, los ingredientes potentes anteriores se transforman en las partes de las sustancias de peso molecular alto que tienen una actividad relativamente baja.

Las composiciones bioactivas de la presente invención se obtienen sin fermentación (oxidación) y tratamiento térmico excesivo. Esto, en cambio, evita las pérdidas irreversibles de las actividades de la planta fresca, que se pueden liberar con una potencia máxima usando, por ejemplo, sistemas de liberación de bolsa de té o análogo novedosos. En lugar de las bolsas de té de papel convencionales, que permiten que los ingredientes de té solubles se muevan a través de poros grandes al agua circundante, la bolsa de té novedosa se fabrica a partir de una membrana semipermeable. Esta bolsa contiene la composición bioactiva dentro y solo permite que penetren a la fase acuosa circundante los ingredientes que tienen un peso molecular por debajo de cierto límite de membrana (por ejemplo, 5.000 Dalton). Los ingredientes que tienen mayor peso molecular permanecen dentro de la bolsa y por tanto, no se incluyen en la bebida.

Por lo tanto, el límite de los ingredientes que tienen un peso molecular por encima de un determinado nivel permite la producción de una bebida que no tiene ingredientes oxidados debido a que todos los ingredientes oxidados de las composiciones bioactivas que tienen un peso molecular por encima de un determinado nivel permanecen dentro de la bolsa. El diseño de bolsa de té novedosa se puede basar en una construcción de bolsa de té piramidal, que utiliza un tubo de membrana de diálisis. El diseño de la bolsa de té novedosa también puede incluir un marco de plástico fino que tiene la composición bioactiva dentro y dos superficies transparentes construidas a partir de la membrana

semi-permeable. La selección de un valor límite de membrana particular se determina por el tipo de composición bioactiva, pero en general es preferente un límite mayor que permita la liberación en la fase acuosa circundante de un mayor porcentaje de materia seca de la composición que disminuya la cantidad del potencial redox.

Ejemplo 5 - Preparación de ingrediente tópico SF derivado de suero de jugo celular

5 El suero de jugo celular (composición D) no se puede usar como ingrediente activo de productos tópicos debido a su falta de estabilidad y deterioro de color y olor. El procedimiento descrito permite el refinamiento de la fracción de suero de jugo celular para proporcionar un ingrediente tópico SF estable y activo (este procedimiento es similar al describe previamente en la publicación de solicitud de patente de los EE. UU. N.º 2003/0175235, que se incorpora en el presente documento por referencia en su totalidad). El refinamiento del suero de jugo celular implicó las
10 siguientes etapas: tratamiento térmico, enfriamiento, filtración y estabilización. El refinamiento se realizó de inmediato después de la separación del suero de jugo celular de la fracción de citoplasma como se describe en el ejemplo 1. Se expuso el suero de jugo celular a un tratamiento de microondas usando un control de sonda de temperatura. Este tratamiento continuó hasta que la temperatura del suero de jugo celular alcanzó 99 °C (se requería 90 °C como se describió previamente en la publicación de solicitud de patente de los EE. UU. N.º 2003/0175235, que se incorpora en el presente documento por referencia en su totalidad). Una vez que se indujo la
15 coagulación, el suero de jugo celular tratado se enfrió de inmediato hasta 10 °C. El suero de jugo celular coagulado se filtró a vacío a través de un filtro con poros de 0,8 µm (se usaron capas dobles de filtros Whatman N.º 2 en la publicación de solicitud de patente de EE. UU. N.º 2003/0175235). Se desechó el precipitado y se usó el suero de jugo celular resultante para procesamiento adicional (es decir, estabilización). Se logró la estabilización del filtrado de suero de jugo celular añadiendo conservantes (no se necesitó antioxidante exógeno como se describió
20 previamente en la publicación de solicitud de patente de los EE. UU. N.º 2003/0175235.) y se logró incubar la mezcla hasta su completa solubilización. Los conservantes usados incluyeron lo siguiente: sorbato de potasio al 0,1 %, benzoato de sodio al 0,1 %, metilparabeno de sodio al 0,1 % y ácido cítrico al 0,1 %. Esta preparación dio como resultado la producción de 16,3 kg de rendimiento de materia seca (o aproximadamente 286 litros) de los
25 ingredientes tópicos SF, que se usaron para la caracterización de sus cualidades bioactivas y fisicoquímicas. Las condiciones de almacenamiento recomendadas para el ingrediente tópico SF incluyen el almacenamiento en un recipiente cerrado protegido de la luz a una temperatura de entre 15 °C y 25 °C.

Ejemplo 6 - Especificaciones de producto del ingrediente tópico SF derivado de la fracción de suero de jugo celular

30 Se preparó el ingrediente tópico SF de acuerdo con el procedimiento descrito anteriormente en el ejemplo 5. Se realizaron análisis del ingrediente tópico SF para determinar sus diversas características fisicoquímicas, microbianas, de citotoxicidad y bioactividad, como se describe a continuación. El ingrediente tópico SF es un líquido transparente, que tiene un color marrón amarillento claro y un olor característico suave. No se añadió disolvente (es decir glicol, aceite o agua) al medio de vehículo. La tabla 5 resume los datos físicos y químicos del ingrediente
35 tópico SF.

Tabla 5 - Parámetros físicos y químicos del ingrediente tópico SF

Parámetro	Procedimiento	Resultados
Contenido en sólidos, %	Véase el ejemplo 10, "Procedimiento 1"	5,04
Gravedad específica, g/cm ³	USP <841>	1,015
Color	Escala Gardner	5 - 6
Índice de refracción	USP <831>	1.312
PH	USP <79I>	4,0
Potencial redox, mV	Véase referencia [1]	75
conductividad, S/m	Véase referencia [2]	1,02
Referencias: [1] Handbook of chemistry and Physics, 80ª edición, CRC Press, 1999-2000, 5-90; [2] Handbook of Chemistry and Physics, 80ª edición, CRC Press, 1999-2000, 8-21, que se incorporan en el presente documento por referencia en su totalidad.		

La tabla 6 describe los datos de espectros UV con relación al ingrediente tópico SF.

Tabla 6 - Espectros UV del ingrediente tópico SF (dilución 1:500)

Pico	Parámetro	Procedimiento	Resultados
N.º 1	Inicio, nm	USP <197>	450
	Cima, nm	-"	266,5
	Final, nm	-"	247
	Altura, Abs	-"	0,231
	Área, Abs x nm	-"	13,676
N.º 2	Inicio, nm	USP <197>	247
	Cima, nm	-"	204
	Final, nm	-"	200
	Altura, Abs	-"	1,396
	Área, Abs x nm	-"	32,413

El análisis microbiano realizado de acuerdo con el siguiente procedimiento (USP <61>) demostró que el ingrediente tópico SF contiene menos de 100 unidades formadoras de colonias por gramo de muestra y no tiene patógenos (*E. coli*, *Candida albicans*, *Pseudomonas sp.* y *Staphylococcus aureus*). Estos datos demuestran que el ingrediente tópico SF satisface los requisitos industriales para los ingredientes de productos tópicos.

Se determinó que el ingrediente tópico SF era estable (es decir, mantenía la integridad física y química) durante al menos 12-18 meses mientras se almacene a una temperatura de entre 15 y 25 °C en un recipiente cerrado protegido de la luz. El ingrediente tópico SF es un producto biodegradable. En una evaluación clínica controlada, el ingrediente tópico demostró las actividades biológicas, que se resumen en la tabla 7.

Tabla 7 - Actividades biológicas del ingrediente tópico SF

Actividad	Procedimiento	µg DM/ml
Actividad eliminadora de superóxido (RCI ₅₀)	Véase el ejemplo 20, "Procedimiento 7"	69,5
Inhibidor de elastasa (CI ₅₀)	Véase el ejemplo 20, "Procedimiento 5"	32,3
Inhibidor de MPM-9 (CI ₅₀)	Véase el ejemplo 20, "Procedimiento 6"	14,6
Inhibidor de tripsina (CI ₅₀)	Véase referencia [1]	7,8
Referencia: [1] Cannel et al., <i>Planta Medica</i> 54:10-14 (1988), que se incorpora en el presente documento por referencia en su totalidad.		

La tabla 7 mostró que el ingrediente tópico SF demostró capacidad eliminadora de superóxido. En una evaluación clínica controlada, el ingrediente tópico SF demostró una inhibición del 50 % de reducción de citocromo c (RCI₅₀) a una concentración de 69,5 µg de materia seca por ml. La RCI₅₀ de positivo control (ácido rosmarínico) = 26,5 µg/ml. Además de las propiedades antioxidantes, el ingrediente tópico SF demostró actividades antiproteolíticas frente a péptido hidrolasas, por ejemplo elastasa, gelatinasa B o la denominada matriz metaloproteínasa 9 (MPM-9), y tripsina. Entre estas enzimas, la posición única pertenece a elastasa y MPM-9, que actúan de forma sinérgica y desempeñan un papel importante en la inflamación cutánea. Cabe destacar, que ambas MPM-9 y elastasa se secretan por los leucocitos (neutrófilos) y estas enzimas son las enzimas clave en la ruta final que da lugar a la inflamación. En general, se acuerda que si la preparación puede inhibir ambas enzimas (elastasa y MPM-9), se considera que dicha preparación es muy eficaz para tratar procedimientos inflamatorios.

Cabe destacar que los procedimientos de envejecimiento cutáneo, quemaduras solares, formación de heridas y cicatrices tienen el mismo mecanismo de inflamación, lo que implica tanto MPM-9 como elastasa. Por tanto, el ingrediente tópico SF que puede inhibir las dos enzimas anteriores tiene un espectro muy amplio de aplicaciones "entre las que está la lesión inflamatoria debido a los siguientes motivos:

- Estas dos enzimas pueden sinergizar para degradar todos los componentes de la matriz extracelular de tejido humano;
- La elastasa puede inactivar la propia defensa inhibidora del cuerpo frente a MPM-9; y
- La MPM-9 puede inactivar la propia defensa inhibidora del cuerpo frente a la elastasa.

La combinación de las propiedades antiinflamatorias y antioxidantes del ingrediente tópico SF sugiere que esta preparación hidrófila basada en la composición bioactiva D puede actuar sistémicamente en problemas de

trastornos cutáneos muy fundamentales.

Ejemplo 7 - Preparación del ingrediente tópico MF derivado de la fracción de membrana

La fracción de membrana recién obtenida es una pasta que tiene color intenso y olor específico. Esta fracción se representa predominantemente por cloroplastos y su composición incluye predominantemente fosfolípidos, proteínas de membrana, clorofila y carotenoides. El secado de la fracción de membrana da como resultado pérdidas irreversibles de muchas propiedades valiosas requeridas para la exploración de la fracción de membrana como ingrediente tópico. Sin secar, la fracción de membrana inestable se transforma rápidamente en conglomerados insolubles y no dispersables de color oscuro que tienen un olor fuerte y no característico. Como resultado, dicho material no se puede usar como ingrediente tópico. El procedimiento descrito a continuación permite la transformación de fracciones de membrana recién obtenidas en ingredientes tópicos estables y activos (este procedimiento es similar al descrito previamente en la publicación de solicitud de patente de los EE. UU. N.º 2003/0175235).

Inmediatamente después de la separación de la fracción de membrana del jugo celular de acuerdo con el procedimiento descrito anteriormente en el ejemplo 1, la fracción de membrana se estabilizó y se incorporó en una matriz polimérica. Para preparar aproximadamente 100 gramos de ingrediente tópico MF, la fracción de membrana celular se estabilizó mezclándola con emulsionante no iónico polisorbato 80 (Tween 80) y antioxidantes (Tenox 4). Específicamente, se mezclaron enérgicamente 20 gramos de fracción de membrana fresca con 3,5 gramos de Tween 80 y 0,1 gramos de Tenox 4 (solución de hidroxianisol butilado e hidroxitolueno butilado en aceite) hasta homogeneidad, mientras se evita la aireación durante el mezclado.

Una vez estabilizada, la fracción de membrana se incorporó en una matriz polimérica (es decir, una dispersión de emulsionante polimérico, polímero reticulado de acrilatos/C10-C30 acrilato). La matriz polimérica se preparó dispersando 0,9 gramos de Pemulen TR-2 en 69,2 gramos de agua desionizada caliente y mezclando hasta uniformidad usando agitación moderada, mientras se evita la aireación. En paralelo, se combinaron 5 gramos de glicerina y 1,0 gramo de Phenonip (mezcla de fenoxietanol (y) metilparabeno (y) butilparabeno (y) etilparabeno (y) propilparabeno) en un recipiente separado y se mezcló hasta uniformidad. Con agitación moderada, las fases que contienen Pemulen y glicerina se combinaron y se mezclaron hasta uniformidad. Para incorporar la fracción de membrana en la matriz polimérica, la fase que contiene la fracción de membrana, Tween 80 y Tenox 4, se añadió a la fase que contiene el Pemulen, glicerina y Phenonip, y a continuación se mezcló con agitación enérgica mientras se evita la aireación. La estabilización de la mezcla de fracción de membrana se logró neutralizándola con solución acuosa al 18 % de hidróxido de sodio (NaOH) y se mezcló enérgicamente para producir un sistema uniforme que tiene un pH de $5,0 \pm 0,4$. Esta preparación, que se inició a partir de 100 kg de biomasa de *Camellia* fresca (aproximadamente 461 kg de hojas frescas que tienen un 21,7 % de materia seca), dio como resultado la producción de 11,85 kg de rendimiento de materia seca (o aproximadamente 172 litros) de ingrediente tópico MF, que se usó para la caracterización de sus cualidades fisicoquímicas y bioactivas. Las condiciones de almacenamiento recomendadas para el ingrediente tópico MF incluyen el almacenamiento en un recipiente cerrado protegido de la luz a una temperatura de entre 2 y 8 °C.

Ejemplo 8 - Especificaciones de producto del ingrediente tópico MF derivado de la fracción de membrana

Se preparó el ingrediente tópico MF de acuerdo con el procedimiento descrito anteriormente en el ejemplo 7. Se realizaron análisis del ingrediente tópico MF para determinar sus diversas características fisicoquímicas, microbianas, de citotoxicidad y bioactividad, como se describe a continuación. El ingrediente tópico MF es un gel opaco, que tiene un color marrón verdoso y un olor característico suave. El ingrediente tópico MF se formuló utilizando los constituyentes del jugo celular natural gelificados con un polímero para garantizar el mayor nivel de pureza uniformidad, compatibilidad, estabilidad, seguridad y eficacia.

La tabla 8 describe los datos físicos y químicos del ingrediente tópico MF.

Tabla 8 - Parámetros físicos y químicos del ingrediente tópico MF

Parámetro	Procedimiento	Resultados
Residuo no volátil (RNV), %	Véase el ejemplo 10, "Procedimiento 2"	6,9
Gravedad específica, g/cm ³	USP <841>	1,035
Viscosidad, cps	USP <911>	18,700
pH	USP <791>	4,6
Carotenoides totales, % RNV	Véase el ejemplo 10, "Procedimiento 4"	0,36
Luteína, % RNV	Véase el ejemplo 10 20, "Procedimiento 4"	0,34

La tabla 9 resume los datos de los valores L*a*b* con relación al ingrediente tópico MF.

Tabla 9. - Valores L*a*b* del ingrediente tópico MF

Parámetro	Procedimiento	Resultados
L*	Véase el ejemplo 10, "Procedimiento 3"	30,27
a*	-"	27,36
b*	-"	42,56

Los análisis microbianos demostraron que el ingrediente tópico MF satisface los requisitos de la industria para los ingredientes tópicos con respecto a las CFU y ausencia de patógenos (USP <61>).

- 5 Se determinó que el ingrediente tópico MF era estable (es decir, mantenía la integridad física y química) durante al menos 12-18 meses mientras se almacene a una temperatura de entre 2 y 8 °C en un recipiente cerrado protegido de la luz. El ingrediente tópico MF es un producto biodegradable. En una evaluación clínica controlada, el ingrediente tópico MF demuestra actividad inhibidora de elastasa y actividad inhibidora de tripsina. La tabla 10 resume determinados resultados de bioactividad para el ingrediente tópico MF.

10 **Tabla 10. - Resultados de bioactividad del ingrediente tópico MF**

Actividad	Procedimiento	CI ₅₀ (µg/ml)
Inhibidor de elastasa (CI ₅₀)	Véase el ejemplo 10, "Procedimiento 5"	12,3
Inhibidor de MPM-9 (CI ₅₀)	Véase el ejemplo 10, "Procedimiento 6"	5,6
Inhibidor de tripsina (CI ₅₀)	Véase referencia [1]	3,8
Referencia: [1] Cannel et al, Planta Medica 54:10-14 (1988), que se incorpora en el presente documento por referencia en su totalidad.		

La tabla 10 muestra que el ingrediente tópico MF demostró propiedades similares a las del ingrediente tópico SF (véase el ejemplo 6). Aunque el ingrediente tópico MF no tiene actividad eliminadora de superóxido, demuestra mayores actividades de inhibición enzimática específica que el ingrediente tópico SF. Por tanto, el ingrediente tópico MF, que se basa en la composición bioactiva B, se debe considerar como un potente ingrediente antiinflamatorio multifase que tiene aplicaciones amplias para el tratamiento de trastornos cutáneos.

Ejemplo 9 - Análisis espectrales de las composiciones bioactivas derivadas de plantas de *Camellia sinensis*

Introducción a los análisis espectrales. La radiación ultravioleta (UV) tiene efectos dañinos sobre la piel humana. Los efectos a corto plazo incluyen bronceado y quemaduras solares, mientras que los efectos a largo plazo de una exposición UV acumulativa incluyen el fotoenvejecimiento de la piel y un incremento en el riesgo de cáncer de piel. La lesión cutánea por exposición ultravioleta está mediada por un daño oxidativo, y varios extractos vegetales con actividad antioxidante son prometedores como agentes protectores: extracto de semilla de uva (Carini et al., "Protective Effect of Procyanidines from Vitis vinifera Seeds on UV-Induced Photodamage: In vitro and In vivo Studies," Proceedings of the 19th IFSCC Congress 3:55-63 (1996), que se incorpora en el presente documento por referencia en su totalidad), licopeno (Di Mascio et al., "Lycopene as the Most Efficient Biological Carotenoid Singlet Oxygen Quencher," Archives of Biochemistry and Biophysics 274:532-8 (1989); y Ribaya-Mercado et al., "Skin Lycopene is Destroyed Preferentially Over β-Carotene During Ultraviolet Irradiation in Humans," Journal of Nutrition 125:1854-9 (1995), que se incorpora en el presente documento por referencia en su totalidad), silimarina (Morazzoni et al., "Silybum marianum (Carduus marianus)," Fitoterapia 66:3-42 (1995); Katiyar et al., "Protective Effects of Silymarin Against Photocarcinogenesis in a Mouse Skin Model," Journal of the National Cancer Institute 89:556-66 (1997), que se incorpora en el presente documento por referencia en su totalidad), y en especial extracto de té verde que tiene mayor eficacia en comparación con extractos producidos a partir de otras fuentes vegetales (Katiyar et al., "Protection Against Ultraviolet-B Radiation-Induced Local and Systemic Suppression of Contact Hypersensitivity and Edema Responses in C3H/HeN Mice by Green Tea Polyphenols," Photochemistry and Photobiology 62:855-61 (1995); Ruch et al., "Prevention of Cytotoxicity and Inhibition of Intercellular Communication by Antioxidant Catechins Isolated from Chinese Green Tea," Carcinogenesis 10:1003-8 (1989); Wang et al., "Protection Against Ultraviolet B Radiation-Induced Photocarcinogenesis in Hairless Mice by Green Tea Polyphenols," Carcinogenesis 12:1527-30 (1991), que se incorpora en el presente documento por referencia en su totalidad).

Se descubrió que las hojas de la planta de té (*Camellia sinensis*) tienen un alto contenido en polifenoles con actividad antioxidante que incluye (-)-epicatequina, (-)-epicatequina-3-galato, (-)-epigallocatequina, y (-)-epigallocatequina-3-galato. El extracto de té verde ha demostrado actividad antioxidante frente al peróxido de hidrógeno y los radicales de superóxido y prevención de la citotoxicidad oxidativa. El extracto también puede

prevenir la inhibición de la comunicación intercelular, un posible mecanismo de promoción tumoral. Existe una estrecha asociación entre la supresión inmunitaria inducida por UV y el desarrollo de cáncer de piel, y se ha descubierto que el extracto de té verde protege frente a la inflamación y la supresión inmunitaria provocada por la radiación UV-B. El extracto de té verde tomado por vía oral en agua potable o aplicado por vía tópica protege frente a la carcinogénesis cutánea inducida por UV-B en modelos animales. Estos resultados indican que el extracto de té verde tomado por vía oral puede ayudar a evitar el cáncer de piel.

Aunque se han establecido las propiedades de protección UV de los productos de *Camellia*, el mayor potencial de la planta de té como fuente para una protección eficaz de la piel frente al daño solar no se ha explorado completamente debido a las limitaciones de la tecnología convencional, que está orientada a centrarse en una banda de limitada a relativamente estrecha de ingredientes activos: de forma predominante catequinas.

Los estudios sobre las propiedades de protección UV comparativos descritos en el presente documento entre productos de *Camellia* "novedosos" y "convencionales" han demostrado ahora que la tecnología de "fraccionamiento de *Camellia* fresca" puede proporcionar productos más potentes. La comparación se realizó utilizando los procedimientos usados comúnmente para determinar las propiedades espectrales de las soluciones y el factor de protección solar (SPF) *in-vitro*.

Metodología A: Espectros UV/VIS. Se obtuvieron espectros UV/VIS de productos de *Camellia* en la región de 200 - 450 nm usando el espectrofotómetro que cumple con la farmacopea Ultrospec 4300 Pro (Amersham Biosciences Ltd., Buckinghamshire, Inglaterra). Los parámetros espectrales de productos de *Camellia* diluidos en agua destilada se determinaron de acuerdo con el procedimiento descrito en USP <197>.

Metodología B: Espectros de absorbancia. Se obtuvieron espectros de absorbancia de los productos de *Camellia* en la región de 250 - 450 nm usando el analizador de transmitancia UV-1000S (Labsphere, Inc., North Sutton, NH) y sustrato de prueba Vitro-Skin® (IMS Testing Group, Milford, CT), que imita las propiedades de superficie de piel humana. Contiene componentes tanto proteicos como lipídicos optimizados y está diseñado para tener topografía, pH, tensión de superficie crítica y fuerza iónica similar a la piel humana.

Las muestras de *Camellia* se pulverizaron uniformemente sobre una superficie de sustrato prehidratado (dosis de aplicación = 2,0 $\mu\text{l} / \text{cm}^2$). Después de 15 min después de la aplicación, se tomaron los espectros de absorbancia inicial por medio de (5) repeticiones. A continuación, se irradiaron los sustratos con productos aplicados por un simulador de luz solar de amplio espectro (Modelo 16S-300 Single Port, Solar Light Company, Inc., Filadelfia, PA) equipado con una lámpara de xenón de 300 vatios. El sistema de control de dosis PMA 2100-DCS permitió un control de precisión de la dosis administrada a una muestra.

De inmediato después de la irradiación (dosis de irradiación = 60 Julios / cm^2), se tomaron los espectros de absorbancia del mismo punto en (5) cinco repeticiones. Se usaron los espectros de absorbancia de las muestras antes y después de la irradiación para el análisis estadístico.

Muestras. Se evaluaron las siguientes composiciones bioactivas, que se prepararon de acuerdo con el procedimiento descrito anteriormente en el ejemplo 1: composición A (extracto de la fracción de paredes celulares que tienen un 0,84 % de materia seca), composición B (extracto de la fracción de membrana que tiene un 6,83 % de materia seca), composición D (suero de jugo celular que tiene un 5,69 % de materia seca). Como controles, se usaron extracto de té blanco convencional que tiene un 1,10 % de materia seca y extracto de té negro convencional que tiene un 1,38 % de materia seca. Se obtuvieron todas las muestras del mismo lote de *Camellia* fresca, que se recogió en Charleston Tea Plantation, SC. Estas muestras no contenían ningún aditivo.

Análisis. Se descubrió que todas las muestras de *Camellia* tienen valores de absorbancia UV altos y por tanto se diluyeron con agua destilada. Los espectros UV-VIS de los productos de *Camellia* diluidos se presentan en las figuras 2 y 3.

Los espectros de todas las muestras líquidas tienen ciertas similitudes. Por ejemplo, las posiciones de los picos varían en intervalos relativamente estrechos de $\lambda_{\text{máx1}} = 269 - 274 \text{ nm}$ y $\lambda_{\text{máx2}} = 205 - 208 \text{ nm}$, lo que indica la presencia de anillos aromáticos y sistemas conjugados de enlaces $\sigma - \pi$ en todas las muestras sometidas a prueba. Sin embargo, el valor de cima de los picos, el área bajo cada pico y el área total bajo las curvas espectrales integrales son diferentes (tabla 11), lo que sugiere que las muestras sometidas a prueba tienen diferentes composiciones de constituyentes ópticamente activos.

Tabla 11 - Parámetros de espectros UV/VIS de productos de Camellia

	Pico n.º 1					Pico n.º 2					Área bajo la curva de los espectros*, Abs • nm
	Inicio, nm	$\lambda_{m\acute{a}x1}$, nm	Final, nm	Altura, Abs	Área, %	Inicio, nm	$\lambda_{m\acute{a}x2}$, nm	Final, nm	Altura, Abs	Área, %	
Extracto de té blanco	450	269	250	0,114	28,1	250	205	200	0,816	71,9	6,604
Extracto de té negro	450	272	250	0,094	37,3	250	205	200	0,452	62,7	4,616
Extracto de fracción de paredes celulares	450	272	248	0,134	35,8	248	205	200	0,614	64,2	5,727
Extracto de fracción de membrana	450	274	251	0,944	16,2	251	208	200	11,98	83,8	80,133
Suero de jugo celular	450	271	249	0,692	26,3	249	205	200	5228	73,7	39,599

* Los valores del área bajo los espectros se normalizaron en base a la dilución de las muestras.

La comparación de las áreas bajo las curvas espectrales integrales obtenidas de 200 nm a 450 nm demuestra claramente que el extracto de la fracción de membrana (composición B) y el suero de jugo celular (composición D) tuvieron los mayores valores de absorción (tabla 11). La proporción de "área bajo los espectros : materia seca" indica que el valor de absorción específico de las muestras es creciente en la siguiente secuencia: extracto de té negro > extracto de té blanco > extracto de fracción de paredes celulares > suero de jugo celular > extracto de fracción de membrana (tabla 12).

Tabla 12 - Características espectrales seleccionadas de los productos de *Camellia*

	Materia seca %	Área bajo los espectros, Abs • nm	Proporción: $\frac{\text{Área bajo los espectros (200-450 nm)}}{\text{Materia seca}}$	Área bajo los espectros (290-400nm) Abs • nm	Proporción: $\frac{\text{Área bajo los espectros (290-400 nm)}}{\text{Materia seca}}$
Extracto de té blanco	1,10	6,604	6,004	0,812	0,738
Extracto de té negro	1,38	4,616	3,345	0,854	0,619
Extracto de fracción de paredes celulares	0,84	5,727	6,818	0,776	0,924
Extracto de fracción de membrana	6,83	80,133	11,733	4,304	0,630
Suero de jugo celular	5,69	39,599	6,959	4,320	0,759

En base a la comparación de los valores de absorción, parece que las composiciones bioactivas novedosas son protectores de la piel más eficaces frente al daño solar que los extractos de té blanco y té negro convencionales. Cabe señalar que las propiedades de protección UV de los productos de *Camellia* se pueden estimar mejor usando datos de absorción relacionados con el área de 290 nm a 400 nm debido a que esta parte particular de los espectros es responsable del daño inducido por UV de la piel (Sayre et al., "A Method for the Determination of UVA Protection for Normal Skin," Journal of American Academy of Dermatology 23: 429-40 (1990), que se incorpora en el presente documento por referencia en su totalidad). Aunque la absorción de las muestras líquidas sometidas a prueba en el área de 290-400 nm solo contribuye al ~10 % de absorción de UV/VIS total, las composiciones de *Camellia* novedosas tienen además mayor absorción en el área espectral.

Por tanto, los datos relacionados con las soluciones diluidas de muestras de *Camellia* proporcionaron una estimación inicial de potencia de protección UV de los productos sometidos a prueba, que se evaluó adicionalmente usando el sustrato de prueba Vitro-Skin® (IMS Testing Group, Milford, CT). Los resultados se presentan en las figuras 4-13. Se descubrió que las composiciones de *Camellia* novedosas y los extractos de té blanco y té negro convencionales tienen características espectrales diferentes incluso después de que se aplicaran sobre el sustrato en concentraciones, que se igualaron con respecto al nivel de materia seca (Figuras 4 y 5).

Los espectros de muestras de *Camellia*, que se aplicaron en el sustrato de prueba Vitro-Skin® (IMS Testing Group, Milford, CT) incluyeron de cuatro a dos picos característicos, que tienen valores de cima diferentes (tabla 13).

Tabla 13 - Parámetros de espectros de absorbancia de productos de *Camellia* aplicados en el sustrato de prueba Vitro-Skin®

	Pico n.º 1		Pico n.º 2		Pico n.º 3		Pico n.º 4	
	$\lambda_{\text{máx4}}$	Altura, Abs	$\lambda_{\text{máx3}}$	Altura, Abs	$\lambda_{\text{máx2}}$	Altura, Abs	$\lambda_{\text{máx1}}$	Altura, Abs
Extracto de té blanco	260	0,389	286	0,461	330	0,163	392	0,076
Extracto de té negro	260	0,399	286	0,373	330	0,175	390	0,105
Extracto de fracción de pared celular	260	0,555	286	0,569	330	0,203	389	0,118
Extracto de fracción de membrana	260	0,394	286	0,549	-	-	394	0,059
Suero de jugo celular	260	0,431	286	0,517	-	-	-	-

Cabe señalar que los parámetros de los picos característicos de los productos de *Camellia* en las soluciones (tabla 11) fueron muy diferentes en comparación con los característicos de los productos de *Camellia*, que se aplicaron en el sustrato de prueba Vitro-Skin® (IMS Testing Group, Milford, CT) (tabla 13). Como muestran los experimentos de control, el menor nivel de pH (~ 5,5) sobre la superficie Vitro-Sin® no puede ser responsable de las diferencias anteriores, que probablemente son el resultado de interacciones químicas entre los productos de *Camellia* y los

ingredientes usados para la preparación del sustrato de prueba Vitro-Skin® (IMS Testing Group, Milford, CT). Por tanto, el sustrato de prueba Vitro-Skin® (IMS Testing Group, Milford, CT) contiene componentes tanto proteicos como lipídicos que podrían interaccionar químicamente con los constituyentes fenólicos de *Camellia*. Cabe destacar que se observaron desplazamientos en las propiedades espectrales de los productos sometidos a prueba para todas las composiciones bioactivas así como para los extractos de té convencionales.

También se compararon los espectros de composiciones de *Camellia* novedosas y extractos de productos de *Camellia* convencionales "como son", teniendo en cuenta los diferentes contenidos en materia seca de las muestras sometidas a prueba. Los espectros de absorbancia de los productos de *Camellia* aplicados en el sustrato de prueba Vitro-Skin® (IMS Testing Group, Milford, CT) en volúmenes iguales se presentan en la figura 6.

Aunque existen algunas similitudes entre los espectros del extracto de la fracción de paredes celulares y del extracto de té blanco, el primer producto tienen mayor absorbancia en el área de 250 - 280 nm y en el área de UV cercano. Cabe destacar que una mayor absorbancia no se corresponde con el nivel de materia seca, que es mayor en el extracto de té blanco (1,10 %) en comparación con el extracto de la fracción de paredes celulares (0,84 %). Esto sugiere que las composiciones de estas dos muestras no son idénticas y que el extracto de la fracción de paredes celulares también tienen menor conductividad que consiste en mayores ingredientes ópticamente activos no disociados responsables de la alta absorbancia (véanse los datos presentados en la tabla 3).

Adicionalmente, se descubrió que los espectros del extracto de la fracción de membrana (composición B) y del suero de jugo celular (composición D) son diferentes de los espectros del extracto de la fracción de paredes celulares (composición A) y del extracto de té blanco. Por tanto, los espectros del extracto de la fracción de membrana y del suero de jugo celular de nuevo indican que estos productos tienen una composición diferente del extracto de té blanco y del extracto de la fracción de paredes celulares. Al mismo tiempo, los datos espectrales sugieren que las composiciones del extracto de la fracción de membrana y del suero de jugo celular no son idénticas. Por ejemplo, el extracto de la fracción de membrana tiene tres picos característicos a 260 nm, 286 nm y 394 nm. Los espectros del suero de jugo celular contienen dos picos a 260 nm y 286 nm. La comparación de estos dos espectros indica que el extracto de la fracción de membrana tiene aproximadamente dos veces mayor extinción que el suero de jugo celular, aunque la diferencia en los niveles de materia seca solo es del ~ 1 %. Por tanto, los cuatro productos de *Camellia* sometidos a prueba tienen composiciones de constituyentes significativamente diferentes, que son ópticamente activos en la región de 250 - 450 nm. Los datos relacionados con la comparación cuantitativa de los productos de *Camellia* se presentan en la tabla 14.

Tabla 14 - Características seleccionadas de productos de *Camellia* aplicados al sustrato de prueba Vitro-Skin®

	Área bajo los espectros (250-450 nm) Abs • nm	Área bajo los espectros (290-400 nm) Abs • nm	Área bajo los espectros ^(290-400 nm) Área bajo los espectros ^(250-450 nm) %
Extracto de té blanco	15,577	9,312	59,78
Extracto de fracción de paredes celulares	18,571	10,422	56,12
Extracto de fracción de membrana	89,148	53,803	60,35
Suero de jugo celular	60,861	35,161	57,77

La tabla 14 muestra que la absorción de las muestras en el área de 250 - 450 nm y en el área de 290 - 400 nm es creciente en el siguiente orden: extracto de té blanco > extracto de fracción de paredes celulares > suero de jugo celular > extracto de fracción de membrana. Esta secuencia está completamente de acuerdo con la secuencia de los valores de absorción específicos de los productos de *Camellia* sometidos a prueba en las soluciones diluidas (tabla 12). La contribución de la absorbancia en la región de 250 - 400 nm a la absorbancia de los espectros tomados de 250 nm a 450 nm alcanzó un ~ 55-60 % cuando se aplicaron las muestras sometidas a prueba en el sustrato de prueba Vitro-Skin® (IMS Testing Group, Milford, CT).

Cabe destacar que los espectros de las composiciones de *Camellia* novedosas en soluciones diluidas y después de su aplicación en el sustrato de prueba Vitro-Skin® (IMS Testing Group, Milford, CT) son sorprendentemente diferentes. Estas diferencias son tanto cuantitativas como cualitativas para el extracto de la fracción de membrana y el suero de jugo celular. Por lo tanto, en el intervalo de 250 nm a 450 nm el extracto de la fracción de membrana en solución alcanza su nivel máximo a 274 nm. El mismo extracto de la fracción de membrana cuando se aplica en el sustrato de prueba Vitro-Skin® (IMS Testing Group, Milford, CT), no mostró ningún pico característico en la longitud de onda anterior, pero en cambio tuvo dos picos característicos a 260 nm y 286 nm (figura 7A).

Se observó el patrón similar en las propiedades espectrales para el suero de jugo celular, aunque se identificó la absorción adicional a ~ 360 nm en la muestra aplicada en el sustrato de prueba Vitro-Skin® (IMS Testing Group, Milford, CT), pero dicho fenómeno no se registró en los espectros UV/VIS de la misma composición en la solución (figura 7B).

Cabe señalar que las diferencias anteriores entre los espectros pueden ser el resultado de la interacción química entre las composiciones de *Camellia* novedosas y la superficie del sustrato de prueba Vitro-Skin® (IMS Testing Group, Milford, CT) que tiene componentes proteicos y lipídicos, que imitan la piel humana. Estas interacciones dan lugar al incremento drástico de la absorbancia en la región espectral responsable del efecto dañino de la irradiación UV, es decir, las composiciones de *Camellia* novedosas tienen potencias de protección UV significativas. Los experimentos de control con sueros de jugo celular de cebada (*Hordeum vulgare*) (figura 8A) y salvia (*Salvia officinalis*) (figura 8B) mostraron que las diferencias en los espectros de las mismas muestras en solución y después de su aplicación en el sustrato de prueba Vitro-Skin® (IMS Testing Group, Milford, CT) no se observaron para fuentes vegetales distintas de *Camellia*. Por tanto, el desplazamiento espectral en los productos de *Camellia* después de su aplicación en el sustrato de prueba Vitro-Skin® (IMS Testing Group, Milford, CT) indica las interacciones específicas que tienen lugar solo entre los productos de *Camellia* novedosos y el sustrato que imita la piel humana.

Los experimentos de control con sustrato prehidratado demostraron que después de la irradiación la absorbancia del sustrato de prueba Vitro-Skin® (IMS Testing Group, Milford, CT) disminuyó significativamente, en especial en el intervalo de 260 - 330 nm (figura 9). Este efecto refleja una fotoestabilidad relativamente baja del sustrato no protegido, que se irradió por dosis alta de luz solar de amplio espectro.

La irradiación del sustrato con el extracto de té blanco aplicado inició cambios en los espectros de absorbancia (figura 10) lo que es análogo a los cambios espectrales del sustrato de prueba Vitro-Skin® no protegido (IMS Testing Group, Milford, CT). Cuando se eliminó la contribución del sustrato, los espectros de muestra no irradiada e irradiada indicaron alguna similitud pero no demostró un comportamiento totalmente idéntico. Por ejemplo, la absorbancia en el intervalo de 290 - 310 nm disminuyó y se empezó a formar un pico ancho a 360 nm.

La irradiación del extracto de la fracción de paredes celulares (figura 11) dio lugar a cambios similares en los espectros de absorbancia, en especial con respecto a la curva obtenida después de la eliminación (sustracción) de la contribución del sustrato.

Aunque las composiciones del extracto de té blanco y del extracto de la fracción de paredes celulares no son idénticas, el patrón de las modificaciones inducidas por irradiación en sus espectros es bastante similar. Cabe destacar que tanto el extracto de té blanco como el extracto de la fracción de paredes celulares no pueden proteger completamente el sustrato frente a la acción destructiva de la irradiación y como resultado, la absorbancia del sustrato de prueba Vitro-Skin® (IMS Testing Group, Milford, CT) disminuye casi tanto como en la condición en la que este sustrato no está en absoluto protegido (figura 9). Esto es especialmente obvio en el intervalo de 250 nm - 330 nm aunque a mayores longitudes de onda se observa cierto incremento en la absorbancia.

La irradiación del extracto de la fracción de membrana produjo un efecto muy diferente sobre sus espectros de absorbancia (figura 12). Por ejemplo, la irradiación no inició ningún cambio en el intervalo espectral de 250 - 285 nm. Como se analiza, este intervalo particular de espectros se vio afectado muy significativamente por la destrucción del sustrato de prueba Vitro-Skin® irradiado (IMS Testing Group, Milford, CT) y por lo tanto la comparación de los espectros sugiere que la destrucción del sustrato se evitó completamente por presencia del extracto de la fracción de membrana sobre su superficie.

Sin embargo, se registraron ciertos cambios en los espectros del extracto de la fracción de membrana. Por ejemplo, la absorbancia disminuyó ligeramente en el intervalo de 290 - 320 nm y se acompañó de un pequeño incremento de la absorbancia a mayores longitudes de onda. Cabe señalar en especial que se probó que el extracto de la fracción de membrana era muy eficaz en el intervalo de espectros en el que los ácidos nucleicos y los aminoácidos aromáticos tienen picos característicos a 260 nm y 280 nm posteriormente. Por tanto, el efecto del extracto de la fracción de membrana permite el uso de este producto como posible ingrediente protector de UV para aplicaciones tópicas.

Después de la irradiación, la fracción de suero demostró ciertos cambios en sus espectros de absorbancia (figura 13).

En general, estos cambios se pueden describir como una ligera disminución en la absorción en el intervalo de 250 - 340 nm y un ligero incremento en la absorción en el intervalo de 340 - 450 nm. Cabe destacar que la eliminación de la posible contribución proporcionada por la fotodestrucción del sustrato de prueba Vitro-Skin® (IMS Testing Group, Milford, CT) (véase la curva roja en los espectros por encima de los espectros iniciales de la fracción de suero no irradiada) indicó claramente que el sustrato se preservó eficazmente por la aplicación de la fracción de suero sobre su superficie.

Observaciones y conclusiones. Los resultados anteriores muestran claramente que el mejor de los productos de *Camellia* convencionales (extracto de té blanco) proporciona una protección relativamente débil frente a acción destructora de la irradiación UV. El extracto de la fracción de paredes celulares demostró propiedades similares al extracto de té blanco, pero el extracto de la fracción de membrana y el suero de jugo celular tienen propiedades protectoras de UV mucho más potentes.

Se descubrió que las propiedades de protección UV de los productos de *Camellia* eran crecientes en la siguiente

secuencia: extracto de té blanco = extracto de la fracción de paredes celulares > suero de jugo celular > extracto de fracción de membrana.

Cabe destacar que las propiedades espectrales de los productos de *Camellia* y el patrón de los cambios de estas propiedades después de la irradiación UV proporcionan pruebas sólidas de que los constituyentes en el extracto de té blanco (control), extracto de la fracción de paredes celulares, extracto de la fracción de membrana y suero de jugo celular difieren todos y presentan actividades únicas. Es de particular interés en el caso de composiciones de *Camellia* novedosas en las que la actividad UV descrita anteriormente no se puede atribuir a polifenoles como con los extractos de té blanco.

Ejemplo 10 – Evaluación comparativa de productos de *Camellia*: una perspectiva general

Los Ejemplos 10 a 19 describen procedimientos, resultados y análisis relacionados con experimentos llevados a cabo para evaluar el intervalo de actividades biológicas relacionadas con la modulación de funciones celulares por las composiciones bioactivas de *Camellia sinensis* de la presente invención. El objetivo principal fue evaluar el intervalo de actividades biológicas de productos obtenidos a partir de los procedimientos de la presente invención y compararlos con actividades del mejor producto obtenido mediante tecnología convencional (tradicional) del té – extracto de té blanco que se exploró como un control positivo y se comparó con las siguientes composiciones bioactivas de la presente invención: (1) extracto de fracción de paredes celulares de hojas frescas (composición A, tal como se denomina en el presente documento); (2) extracto de fracción de membrana (composición B, tal como se denomina en el presente documento); y (3) suero de jugo celular (composición D, tal como se denomina en el presente documento).

Los ensayos se llevaron a cabo para evaluar el efecto de estas composiciones bioactivas de *Camellia* en los patrones de crecimiento de tres líneas celulares humanas: una línea mieloide con características de células de leucemia monocítica (Mono Mac 6) y dos líneas de cáncer de mama con características de etapas tempranas de la neoplasia *in vivo* (MCF-7) y una línea más altamente invasiva, metastásica e insensible a estrógenos con características de cáncer avanzado (MDA-MB-435S).

Se descubrió que el extracto de té blanco convencional demostró un determinado efecto inhibitorio de la actividad metabólica de algunas células tumorales. Sin embargo, el grado de tal inhibición no fue significativo para todos los tipos de células ensayadas e incluso cuando se detectó la inhibición, por lo general no era completa, sino mínima o modesta. El extracto de fracción de pared celular demostró propiedades similares a las propiedades del extracto de té blanco.

Es notable que ambos derivados del jugo celular: el extracto de fracción de membrana y el suero del jugo celular, fueron los inhibidores mucho más potentes de funciones metabólicas de todas las líneas celulares ensayadas que se cultivaron en presencia y ausencia de diferentes estímulos. Por ejemplo, el extracto de fracción de membrana demostró claramente una mayor potencia de inhibición y su efecto se podría medir con fiabilidad a una dosis del 0,001 %. El suero de jugo celular demostró una respuesta compleja: estimulación a una dosis más baja e inhibición a una dosis alta.

Cabe señalar que, en lugar de inducir citólisis necrótica, el extracto de fracción de membrana y el suero de jugo celular parecen iniciar una vía de muerte celular programada o apoptótica en las células tumorales. Los datos experimentales indican que esta vía se atribuye a la pérdida de función mitocondrial y puede requerir de 24 a 48 horas de exposición para que sea detectada.

Como consecuencia de la exposición a composiciones bioactivas, la función metabólica de todas las líneas de células tumorales ensayadas: MCF-7, un modelo de cáncer de mama humano en etapas tempranas, MDA-MB-435S, un modelo de cáncer de mama avanzado, y Mono Mac 6, un modelo de leucemia monocítica, se inhibieron de la forma más eficaz mediante el extracto de fracción de membrana y de una manera menos potente y más selectiva, mediante el suero de jugo celular. Notablemente, el extracto de té blanco y el extracto de fracción de pared celular demostraron ser inactivos o mucho menos potentes que las composiciones B y D anteriores. Esta tendencia se demostró claramente para las células ensayadas en diferentes condiciones: células MCF-7 en ausencia y en presencia de factor de crecimiento transformante, células MDA-MB-435S y células monocíticas Mono Mac 6 tanto estimuladas como no estimuladas.

Estos resultados proporcionan una fuerte evidencia de la capacidad del procedimiento de la presente invención para aumentar de manera drástica la potencia de las plantas *Camellia* y producir nuevos productos muy impresionantes que demuestran actividades, que no se identificaron ni siquiera para el mejor producto de la tecnología convencional del té.

Los efectos de las fracciones de *Camellia* de la presente invención en las actividades proteolíticas mediadas por células tienen implicaciones para la lesión inflamatoria del tejido así como para la invasión tumoral y la metástasis. Por lo tanto, las células de cáncer de mama y las células de leucemia claramente se pueden sugerir como posibles dianas para las composiciones bioactivas de la presente invención, sobre todo, el extracto de fracción de membrana. Cabe indicar que se demostró previamente que la línea celular COLO 205 que proviene del carcinoma de colon libera niveles significativos de MMP-2, que se activa después mediante una enzima de tipo tripsina

también secretada por las células. Esta es también una de las posibles dianas para las fracciones de *Camellia* de la presente invención, basándose en los resultados con células Mono Mac 6.

A partir de estos estudios se ha concluido que las composiciones bioactivas de la presente invención aisladas a partir de *Camellia* fresca tienen actividades que dan como resultado una impresionante modulación de las funciones clave de las células. Los efectos que se han observado podrían tener valiosas aplicaciones que varían desde productos para el cuidado personal hasta productos nutracéuticos y posibles fármacos.

También cabe señalar que las composiciones bioactivas muy potentes de la presente invención no son componentes purificados individuales, sino complejos aislados de constituyentes. El fraccionamiento adicional del extracto de fracción de membrana (composición B) y el suero de jugo celular (composición D) podrían producir ingredientes extremadamente potentes para el mercado en crecimiento de los fármacos naturales.

Ejemplo 11 – Evaluación comparativa de los productos de *Camellia*: composiciones ensayadas

Las siguientes composiciones bioactivas se usaron en los experimentos descritos en los Ejemplos 10 a 19:

- (1) Control positivo: extracto de té blanco que se preparó de acuerdo con el procedimiento descrito en los Ejemplos 1 y 4.
- (2) Composición A: un extracto de fracción de pared celular de hojas frescas de *Camellia* que se preparó de acuerdo con el procedimiento descrito en los Ejemplos 1 y 4.
- (3) Composición B: un extracto de fracción de membrana obtenido a partir de hojas de *Camellia* procesadas en fresco y preparado de acuerdo con el procedimiento descrito en los Ejemplos 1 y 4.
- (4) Composición D: suero de jugo celular de hojas de *Camellia* procesadas en fresco y preparado de acuerdo con el procedimiento descrito en los Ejemplos 1 y 4.

Los productos anteriores se obtuvieron del mismo lote de *Camellia* fresca para preparar el extracto de té blanco convencional y los tres productos “paralelos” de la presente invención (composiciones A, B y D).

Existen una serie de publicaciones en la bibliografía que sugieren que los extractos de hojas de *Camellia* tienen una variedad de actividades biológicas, principalmente atribuidas a las concentraciones significativas de taninos polifenólicos que se forman durante el proceso de curado. Se ha documentado que estos polifenoles, así como los precursores de bajo peso molecular para los taninos poliméricos tales como epigallocatequina-3-O-galato (EGCG), presentan potentes actividades antioxidantes. Existen una serie de publicaciones que sugieren no solo propiedades antioxidantes, sino también anti-angiogénicas, anti-bacterianas, antineoplásicas, antiinflamatorias, anti-mutagénicas, antisépticas, y desintoxicantes de los téis preparados a partir de hojas secas de *Camellia*. No se han demostrado que todas las propiedades anteriores confieran beneficios estadísticamente significativos. Solo se han confirmado algunas de ellas en estudios exhaustivos que utilizan múltiples sistemas de ensayo.

Como referencia anterior, debe señalarse que, a partir de experiencias previas con las composiciones bioactivas aisladas a partir de una serie de fuentes vegetales frescas que no son de *Camellia* que usan la tecnología de la presente invención, se demostró que tales composiciones eran mucho más potentes que los productos aislados a partir de las mismas plantas secas usando una serie de parámetros como los que se describieron previamente en la publicación de solicitud de patente de EE.UU N.º 2003/0175235, que se incorpora en el presente documento en su integridad a modo de referencia). Por ejemplo, en otros tipos de plantas (*Medicago sativa*, *Hordeum vulgare*, *Lavandula angustifolia*, *Calendula officinalis* y *Salvia officinalis*) se han identificado y evaluado varias actividades biológicas impresionantes de composiciones preparadas usando el procedimiento de la presente invención, incluyendo las elevadas actividades anti-elastasa y anti-gelatinasa B (MMP-9), nueva modulación del estallido respiratorio de neutrófilos, y una actividad significativa de eliminación de superóxido hacia especies reactivas de oxígeno. Aparte de la actividad de eliminación, estas actividades probablemente no se adscriban a mezclas de polifenoles solos.

Por lo tanto, fue especialmente interesante explorar un enfoque más exhaustivo para comparar la variedad de actividades, que se podrían detectar en las composiciones de *Camellia* de la presente invención con las actividades presentes en un extracto obtenido a partir de la misma planta seca usando la tecnología convencional (tradicional) de *Camellia*. Por consiguiente, se ha ensayado la modulación de las funciones en células vivas de mamífero mediante el extracto de la fracción de pared celular (composición A), el extracto de la fracción de membrana (composición B) y suero de jugo celular (composición D) preparado a partir de hojas de *Camellia* recolectadas en fresco. Estas composiciones se han comparado con el extracto de té blanco convencional preparado a partir de hojas secas de *Camellia*.

Cabe destacar que, de acuerdo con múltiples estudios de productos convencionales de *Camellia*, el extracto de té blanco demostró mayores actividades específicas y, por tanto, se seleccionó una preparación de este tipo como un control positivo de referencia para la comparación con los nuevos productos de *Camellia* de la presente invención.

Ejemplo 12 – Evaluación comparativa de los productos de *Camellia*: razón fundamental para la selección de líneas celulares

5 Como un sistema de ensayo para la modulación de funciones celulares, se usaron dos líneas que proviene de carcinoma de mama como modelos de células de neoplasia (MCF-7 y MDA-MB-435S), y se usó una línea monocitoide humana (Mono Mac 6) como un modelo de células inflamatorias. Las líneas celulares anteriores se describen en el Ejemplo 21.

10 MCF-7 se considera un modelo de cáncer de mama temprano o poco diferenciado. La línea aún conserva la sensibilidad a estrógeno y tiene un fenotipo invasivo relativamente bajo: su capacidad para metastatizar en modelos animales inmunodeficientes es bastante modesta. En estudios previos, se ha demostrado que la línea celular MCF-7 presenta una respuesta característica al factor de crecimiento transformante β (TGF- β): tras el cultivo durante 24 horas en presencia de TGF- β , las células secretan niveles aumentados de enzimas proteolíticas de la familia de la metaloproteinasas de matriz (MMP) y el factor de crecimiento endotelial vascular (VEGF) pro-angiogénico, dos marcadores diferentes de una invasividad potenciada y de potencial metastático. Esta respuesta al TGF- β es un marcador de tumores y algunas líneas de células tumorales, al contrario de la detención del crecimiento, que se induce en células normales mediante el factor de crecimiento. Para evaluar las composiciones bioactivas de la presente invención, se usaron como dianas las células MCF-7 cultivadas en ausencia y presencia de TGF- β .

20 La línea MDA-MB-435S es más altamente invasiva, metastásica e insensible a estrógenos. Esta línea celular que proviene de carcinoma humano también presenta alguna sensibilidad a TGF- β pero incluso en ausencia del factor de crecimiento, libera de manera espontánea mayores niveles de MMP y VEGF que MCF-7, consistente con su uso como un modelo de cáncer más avanzado. En la presente evaluación, se examinaron los efectos de composiciones bioactivas en células MDA-MB-435S cultivadas solo en ausencia de TGF- β .

25 La línea monocitoide humana, Mono Mac 6, expresa una serie de biomarcadores que consisten en los de los monocitos o macrófagos en reposo, y responde como los monocitos y macrófagos humanos a estímulos activadores proinflamatorios tales como miristato acetato de forbol (PMA). Se examinaron los efectos de las composiciones bioactivas en las células Mono Mac 6 cultivadas en ausencia y presencia de PMA, para servir como modelos de monocitos/macrófagos en reposo y activados.

30 Por lo tanto, la combinación seleccionada de las líneas celulares descritas anteriormente proporciona una base fiable para evaluaciones de los poderes antitumorales y antiinflamatorios de las composiciones bioactivas de *Camellia*. El ensayo paralelo de las líneas celulares seleccionadas con una serie de sondas funcionales proporciona la oportunidad de extraer conclusiones más valiosas relativas a las actividades de los productos y su mecanismo de acción que la investigación de las respuestas de una única diana o dianas de ensayo que tienen sensibilidades similares o respuestas similares para determinados estímulos.

Ejemplo 13 – Evaluación comparativa de composiciones bioactivas de *Camellia*: razón fundamental para la selección de ensayos

35 Las evaluaciones iniciales se basaron en dos ensayos de variabilidad y una sonda de funciones celulares (véase el Ejemplo 20, "Método 8").

El primer ensayo mide los niveles de la enzima del citosol, deshidrogenasa láctica, que se libera en el medio de cultivo extracelular solo cuando la célula lisa. Tal pérdida de la integridad de la membrana celular se considera tradicionalmente que es una señal de muerte celular necrótica y refleja el patrón de citotoxicidad.

40 El segundo ensayo mide la actividad deshidrogenasa mitocondrial tal como se refleja mediante la reducción de una sal de tetrazolio a su formazano de color. Cuando el reactivo MTS (una sal de tetrazolio) se aplica a células vivas, se convierte en un compuesto de color intenso (formazano). La pérdida de la actividad deshidrogenasa mitocondrial también se puede asociar con la muerte celular, pero es típicamente un marcador para las etapas tempranas en una vía de muerte celular programada o apoptótica en la que la integridad de membrana celular generalmente se conserva bien después de que el núcleo se ha condensado y las mitocondrias han cesado su función.

45 La ausencia de deshidrogenasa láctica indica la pérdida completa de viabilidad asociada con la citólisis, mientras que una disminución en la reducción de las sales de tetrazolio indica la pérdida de actividad mitocondrial, pero no necesariamente la pérdida irrevocable de la integridad o viabilidad de la membrana celular.

50 Como una sonda adicional de funciones celulares, se examinaron los efectos de las composiciones bioactivas de *Camellia* en niveles de proteinasas secretados por la línea Mono Mac 6 (véase el Ejemplo 20, "Procedimiento 9"). En estudios previos con esta línea celular, se observó que, tras la incubación con PMA, las células Mono Mac 6 secretaron dos metaloproteinasas de matriz gelatinolíticas, MMP-2 (gelatinasa A) y MMP-9 (gelatinasa B). Estas MMP también se secretan por una serie de tumores y por su estroma circundante, y están implicadas en lesiones inflamatorias del tejido, así como en la invasión del tumor y metástasis. También se ha demostrado anteriormente que algunos agentes en desarrollo como fármacos antiinflamatorios y antitumorales (los agentes que se han investigado se conocen por disminuir la destrucción de tejido inflamatorio así como la invasión y metástasis de líneas de células tumorales) parecen reducir los niveles de las MMP producidas por células además de cualquier

inhibición directa de actividad proteolítica de MMP. El objetivo en estos estudios fue evaluar la posibilidad de que las composiciones bioactivas de *Camellia* de la presente invención puedan tener una capacidad similar para disminuir los niveles de MMP liberados por células Mono Mac 6 activadas.

- 5 Por lo tanto, los ensayos seleccionados permitirán evaluar con fiabilidad un amplio espectro de procesos metabólicos y obtener de manera eficaz datos importantes que pueden revelar mecanismos de acción que surgen mediante determinadas composiciones bioactivas de *Camellia*.

Ejemplo 14 – Evaluación comparativa de productos de *Camellia*: Efectos de composiciones bioactivas de *Camellia* en líneas de células tumorales de mama

- 10 En todos estos estudios, la función de las mitocondrias se midió solamente mediante ensayos de reducción de la sal de tetrazolio MTS a su formazano. Cabe destacar que se ha observado alguna capacidad intrínseca de altas concentraciones de las composiciones de *Camellia* de la presente invención para reducir MTS de manera directa en ausencia de cualquier célula viable, y en todos los resultados comunicados en el presente documento, tal formación de formazano de fondo en ausencia de células se ha restado de los niveles de actividad reductasa observados en la presencia de las células.

- 15 Las figuras 1 a la 21 ilustran la magnitud de la actividad reductasa de células MCF-7, cultivadas en ausencia y presencia de 5 ng/ml de TGF- β , y células MDA-MB-435S, cultivadas solo en ausencia de TGF- β a 24 y 48 horas tras la adición de diversas dosis de cada una de las cuatro composiciones de *Camellia*, que oscilan desde el 0,01 % o el 0,02 % (p/v, de concentración final en el medio de cultivo, basándose solo en el peso seco de los sólidos en las composiciones de *Camellia*) hasta el 0,0001 %.

20 **Ejemplo 15 – Evaluación comparativa de las composiciones bioactivas de *Camellia*: células MCF-7**

- 25 En ausencia de TGF- β , la concentración ensayada más alta (0,01 %) de la composición A y el extracto de té blanco (control positivo) tuvieron un efecto notable en la reducción de MTS mediante células MCF-7. A esa concentración hubo una inhibición significativa pero incompleta de la actividad reductasa (inhibición del -50-70 %) tras 24 horas de exposición a la composición A de *Camellia*. La inhibición similar de la actividad reductasa se detectó tras 24 horas de exposición al extracto de té blanco.

- 30 Por el contrario, las dos composiciones bioactivas de *Camellia* (extracto de fracción de membrana y suero de jugo celular) preparadas a partir del jugo celular de *Camellia* fueron inhibidores más potentes de actividad reductasa en células MCF-7 en ausencia de TGF- β . El extracto de fracción de membrana (composición B) se parecía al extracto de té blanco en dependencia de la dosis, excepto en una potencia algo mayor, produciendo una inhibición prácticamente completa al 0,01 %, la dosis más alta ensayada. El suero de jugo celular (composición D) también produjo prácticamente la inhibición completa al 0,01 %, pero a la dosis menor de 0,0025 %, había alguna evidencia de estimulación de actividad reductasa. Las menores dosis de composición D fueron sin efecto significativo.

- 35 Cuando las células MCF-7 se cultivaron en presencia del factor de crecimiento TGF- β , su sensibilidad a las composiciones de *Camellia* se alteró de manera significativa. Tras 24 o 48 horas de exposición al extracto de fracción de paredes celulares y al extracto de té blanco, no hubo evidencia de un efecto estimulador o inhibidor en la actividad reductasa a ninguna dosis, excepto una modesta inhibición de menos del 20 % en la dosis más alta (0,01 %) del extracto de té blanco.

- 40 Por el contrario, la exposición de células MCF-7 tratadas con TGF- β durante 24 horas al extracto de fracción de membrana a una dosis del 0,02 % dio como resultado la inhibición de la actividad reductasa al 70 %, y tras 48 horas, la actividad reductasa prácticamente había mermado por completo. Se pudo detectar una inhibición más modesta en dosis más bajas de extracto de fracción de membrana tras 24 horas, pero tras 48 horas se detectó una notable activación de la actividad reductasa. Se detectó la misma activación de actividad reductasa mediante bajas dosis del suero de jugo celular así como una notable inhibición en la dosis más alta (0,02 %) tras 48 horas de exposición, pero esta composición solo tuvo un efecto mínimo en la actividad reductasa en células MCF-7 tratadas con TGF- β tras la exposición más limitada de 24 horas, independientemente de la dosis.

- 45 En la evaluación, no hubo detección de liberación significativa de deshidrogenasa láctica en el medio de cultivo de las células MCF-7 expuestas durante 24 horas a incluso las dosis más altas de cualquiera de las composiciones de *Camellia*. Parecería que la pérdida de función mitocondrial en estas células no va acompañada de una lisis necrótica de las células. De hecho, si las células están agonizando durante las primeras 48 horas de exposición, es más probable que se inicie una vía de muerte celular programada o apoptótica. Esta conclusión se mantiene con las observaciones al microscopio óptico, que revela que existe algo que rodea a las células, pero no formación de restos o fragmentos de membrana durante el transcurso de las exposiciones.

- 55 Por lo tanto, la inhibición de la función mitocondrial parece ser un modo de acción predominante de todos los productos de *Camellia* ensayados, que no demuestra citotoxicidad o necrosis tal como se indica mediante los niveles de productos liberados de la deshidrogenasa láctica.

Ejemplo 16 – Evaluación comparativa de composiciones bioactivas de *Camellia*: células MDA-MB-435S

El patrón de respuesta de las células MDA-MB-435S a las composiciones de *Camellia* fue similar al de las células MCF-7 en que las composiciones más potentes fueron la composición B y D, con el extracto de fracción de membrana (composición B) presentando una potencia algo mayor que el suero de jugo celular (composición D). Solo el extracto de fracción de membrana produjo una notable inhibición de la actividad reductasa solo tras 24 horas de exposición. La inhibición alcanzó el -70 % de los valores de control de reductasa en la dosis más alta del 0,01 %, pero se podría detectar de manera fiable una modesta inhibición del -10 % incluso en la dosis más baja de una concentración notable del -0,0001 %. Las otras composiciones ensayadas solo tuvieron unos modestos efectos inhibidores a las 24 horas de exposición, y solo a dosis más altas ensayadas.

- Tras 48 horas de exposición, la actividad reductasa se inhibió de una manera dependiente de la dosis en presencia de cada una de las composiciones, pero la potencia en la dosis más alta de las composiciones no alcanzó cerca del 100 % de inhibición excepto para el extracto de la fracción de membrana. Esta composición inhibió la actividad reductasa al -50 % al 0,001 % tras 48 horas. El extracto de té blanco y el extracto de paredes celulares también tuvieron una actividad inhibidora significativa frente a las células MDA-MB-435S tras 48 horas de exposición, que realmente fue mayor que la del suero de jugo celular. Ninguna dosis de ninguna de las preparaciones indujo la activación de la actividad reductasa en esta línea celular, independientemente de la duración de la exposición.

Cabe destacar que cualquier efecto en la línea MDA-MB-435S altamente invasiva, metastásica e insensible a estrógenos es difícil de observar solo tras 24 horas. Por tanto, el efecto de la composición B tras 24 y 48 horas es bastante notable e indica que esta preparación tiene una actividad significativa.

Ejemplo 17 – Evaluación comparativa de las composiciones bioactivas de *Camellia*: efecros de las composiciones de *Camellia* en células monocitoides

Actividad deshidrogenasa mitocondrial: determinadas tendencias reveladas por los estudios preliminares en las líneas de células tumorales de mama han demostrado que son consistentes con la respuesta de células Mono Mac 6 para las cuatro composiciones de *Camellia* ensayadas. El extracto de fracción de membrana (composición B) y el suero de jugo celular (composición D) fueron inhibidores más potentes de la actividad reductasa de MTS en esta línea celular inflamatoria que el extracto de fracción de paredes celulares (composición A) y el extracto de té blanco (control positivo), y el extracto de fracción de membrana (composición B) claramente tuvo la mejor potencia inhibidora. Se examinaron los efectos en la reductasa de MTS en células que se dejaron sin estimular y las que se estimularon con PMA 10 nM, y se evaluó la actividad reductasa tras 24 y 48 horas de exposición a las composiciones de *Camellia*. Los efectos de estas composiciones en la actividad reductasa de MTS en células Mono Mac 6 se muestra en las Figuras 22 a la 33.

- El extracto de té blanco presentó una inhibición débil pero dependiente de la dosis de la actividad reductasa tras 48 horas de exposición para las células estimuladas con PMA: no hubo pérdida significativa de actividad reductasa independientemente de la dosis o la duración de la exposición en ausencia de PMA, ni hubo ningún efecto de ninguna de las dosis tras 24 horas de exposición para las células tratadas con PMA. El extracto de la fracción de paredes celulares no tuvo efecto en las células Mono Mac 6 independientemente de la dosis o del tiempo de exposición e independientemente de si las células se estimularon o no con PMA.

- El suero de jugo celular de hojas frescas de *Camellia* inhibió la actividad reductasa de las células Mono Mac 6 no estimuladas de una forma modesta en una manera dependiente de la dosis tras 24 o 48 horas de exposición. La inhibición máxima en la dosis más alta del 0,01 % (p/v, concentración final en el medio de cultivo, basándose en el peso seco de los sólidos en la preparación de partida) fue solo el -20-30 % de la actividad del control. La inhibición de las células estimuladas con PMA alcanzó el 50 % de la actividad de control, pero solo en la dosis más alta de la composición D (0,01 %) y solo tras 48 horas de exposición.

- El extracto de la fracción de membrana de *Camellia* recién cosechada (composición B) demostró ser el más potente de las preparaciones ensayadas en la inhibición de la actividad reductasa de células Mono Mac 6 como lo fue frente a las líneas de células tumorales de mama. Los efectos de la estimulación con PMA o la duración de la exposición de la composición fueron pequeños en la inhibición, que fue dependiente de la dosis en presencia o ausencia de PMA y fue aproximadamente la misma tras 24 o 48 horas de exposición. La actividad reductasa se inhibió al -70 % en presencia de PMA y al -80-90 % en ausencia de PMA a la dosis más altas del 0,02 % pero los niveles menores de inhibición (-15 %) se podrían medir de manera fiable a una dosis del 0,001 %. Las mediciones de liberación de enzimas citosólicas no se han llevado a cabo para confirmar que la pérdida de actividad reductasa no se asocia con la citólisis necrótica, pero no se pudo ver evidencias de fragmentación de membrana mediante observación al microscopio óptico de células Mono Mac 6 expuestas a cualquiera de las composiciones bioactivas al 0,02 % durante 8 horas. Además, tal como se demuestra a continuación, las células aún parecen capaces de secretar al menos una MMP en condiciones en las que la reducción de MTS disminuye notablemente.

Estos resultados sugieren que en estas células, así como en las líneas de células tumorales, la pérdida de actividad reductasa se asocia con una relativa pérdida selectiva de la función mitocondrial y puede reflejar el comienzo de una vía de muerte celular programada o apoptosis.

5 *Secreción de MMP.* Se han usado dos ensayos diferentes para medir los niveles de dos gelatinasas, MMP-2 (gelatinasa A) y MMP-9 (gelatinasa B), liberadas por células Mono Mac 6. Estas MMP están implicadas en el daño a tejidos inflamatorios así como la invasión y metástasis tumoral. Los ensayos inmunoabsorbentes ligados a enzimas (ELISA) que se han empleado para MMP-2 y MMP-9 se usaron en primer lugar para estimar los niveles totales de las dos enzimas en el medio de cultivo de células Mono Mac 6 cultivadas durante 48 horas en presencia de PMA 10 nM a diferentes dosis de estas tres composiciones bioactivas de *Camellia* y el control positivo.

Esta línea celular secreta solo MMP-2 cuando no se estimula, pero secreta tanto MMP-2 como MMP-9 cuando se activa. (Los niveles de MMP liberados tras 24 horas normalmente son demasiado bajos para detectarlos de manera fiable).

10 Los resultados de las mediciones de ELISA se muestran en las figuras 34 a la 37. Tal como se observó para los efectos del extracto de la fracción de paredes celulares y el extracto de té blanco en la reducción de MTS por las células Mono Mac 6, no hubo cambios significativos en los niveles de MMP-2 y MMP-9 secretados a ninguna dosis de estos extractos. A la dosis más alta (0,01 % p/v) del extracto de la fracción de membrana y suero de jugo celular, se observó que disminuían los niveles de MMP-2, con el extracto de fracción de membrana presentando la mejor potencia a esta dosis. Cabe destacar que se observó una aparente ligera estimulación de liberación de MMP-2 en las siguientes dosis más altas de la composición B (0,001 %) y la composición D (0,002 %). Esta estimulación es reminiscente de la estimulación de la actividad reductasa de MTS en células MCF-7 tratadas con TGF- β a dosis similares de estas composiciones.

20 La disminución dependiente de la dosis de los niveles de MMP-2 detectados mediante ELISA no fue paralela a los efectos del extracto de la fracción de membrana y del suero del jugo celular en los niveles de MMP-9. Estos niveles aumentaron (aparentemente de manera notable por el suero del jugo celular) en las dosis más altas, pero no se cambiaron en las dosis menores ensayadas. La detección de los niveles no cambiados o aumentados de MMP-9 secretada por células Mono Mac 6 expuestas durante 48 horas a dosis de preparaciones de *Camellia* que produjeron la inhibición significativa de la actividad reductasa de MTS solo tras 24 horas, es una evidencia adicional de que la pérdida de función mitocondrial en células Mono Mac 6 expuestas al extracto de fracción de membrana o al suero de jugo celular de *Camellia* no refleja la citólisis necrótica, en cuyo caso la secreción de MMP habría cesado de manera abrupta.

30 Como evidencia adicional de los efectos de las composiciones de *Camellia* en la secreción de MMP mediante células Mono Mac 6, se usó la técnica de zimografía en gelatina para examinar el medio de cultivo recogido tal como se describe anteriormente para las mediciones de ELISA. En este procedimiento, el medio de cultivo se somete en primer lugar a electroforesis en geles de poliacrilamida impregnados con gelatina en presencia de dodecilsulfato sódico (SDS-PAGE) para separar las proteínas basándose en el peso molecular. El SDS se elimina por lavado de los geles para permitir que al menos una porción de cualquier una de las enzimas presentes se renaturalice y los genes se incuben en un medio, que maximiza la actividad de las MMP. Las MMP disuelven la gelatina donde quiera que esté presente. Tras la visualización de la gelatina no digerida en la mayor parte de los geles con una tinción de proteínas, los geles se escanean, con las MMP apareciendo como zonas claras frente a la tinción de fondo. Las imágenes negativas se han presentado en el presente documento, de manera que las MMP aparecen como zonas oscuras frente a la claridad del fondo.

40 Cabe destacar que las MMP se secretan por la mayoría de las células como precursores inactivos, que se activan después de manera extracelular. Sin embargo, dado que la secuencia de desnaturalización y renaturalización empleada en la zimografía, incluso las denominadas proformas de las MMP adquieren actividad genolítica y producen zonas claras. Las figuras 34 a la 37 ilustran las imágenes negativas de los zimogramas de gelatina de medios de cultivo recogidos tras 48 horas de exposición de células Mono Mac 6 a las diferentes composiciones bioactivas de *Camellia*, junto con el medio de cultivo recogido de células cultivadas en ausencia (U) o presencia (S) de PMA 10 nM pero en ausencia de composiciones de *Camellia*.

50 Los efectos de la composición A y el control positivo se evaluaron solo para las dosis más bajas (0,0001 %, "lo") y las dosis más altas (0,01 %, "hi") de las preparaciones, mientras que los efectos de las composiciones B y D también se evaluaron a una dosis intermedia del 0,001 % ("med"). Es evidente a partir de los cuatro paneles que las células Mono Mac 6 solo liberan MMP-2 (aproximadamente 67 kD) en ausencia de PMA, y esta enzima se encuentra de manera predominante en la proforma. El tratamiento con PMA 10 nM da como resultado la inducción de la secreción de MMP-9 (aproximadamente 92 kD) así como las actividades proteolíticas adicionales que convierten los niveles significativos de las preformas de las dos MMP a sus formas activas de peso molecular ligeramente más bajo.

55 En consistencia con los resultados de ELISA, la exposición de células Mono Mac 6 estimuladas con PMA al extracto de la fracción de paredes celulares y al extracto de té blanco no tuvo un efecto detectable en los niveles de las proformas o de las formas activas de las dos MMP visualizadas mediante zimografía de gelatina. Al contrario, la exposición a las dosis más altas de las composiciones B y D dieron como resultado una notable disminución de los niveles de MMP-2 visualizada mediante zimografía de gelatina, pero no un cambio evidente en los niveles de MMP-9.

La apariencia de las proformas y las formas activas de MMP-9, así como la banda débil pero correspondiente con la forma activa de MMP-2 vista en los medios recogidos de las células tratadas con la dosis más alta de las composiciones B y D sugiere que los efectos de estas composiciones son principalmente en la modulación de la liberación de MMP-2 y no implican efectos adicionales en los mecanismos de activación de MMP en estas células cultivadas.

Ejemplo 18 – Evaluación comparativa de las composiciones bioactivas de *Camellia*: sumario de resultados

Los datos experimentales indican que las composiciones bioactivas de *Camellia* provocan una pérdida dependiente de la dosis de actividad reductasa de MTS, que se atribuye generalmente a la pérdida de función mitocondrial. Esta inhibición puede requerir hasta 48 horas de exposición para ser detectada y al menos durante las 24 primeras horas, no hay liberación medible de enzimas citosólicas, sugiriendo que en vez de inducir la citólisis necrótica, las composiciones bioactivas inician una vía de muerte celular programada o apoptótica en las células tumorales.

Las diferencias en la dependencia del tiempo y de la dosis de la respuesta de las células MCF-7 y MDA-MB-435S, y los efectos del tratamiento de TGF-β d las células MCF-7, todo apunta a alguna resistencia aumentada de los fenotipos más invasivos y metastásicos para el extracto de té blanco, el extracto de la fracción de paredes celulares, y en algún grado, el suero de jugo celular, tal como se evidencia mediante la relativa pérdida modesta de actividad reductasa en las primeras 24 horas de exposición. Sin embargo, la tendencia a una mayor potencia del extracto de la fracción de membrana se evidencia por su capacidad para inhibir la actividad reductasa de MTS en células MCF-7 tratadas con TGF-β, así como células MDA-MB-435S en 24 horas.

Los efectos de las composiciones bioactivas de *Camellia* ensayadas en la línea celular Mono Mac 6, un modelo de monocitos/macrófagos, tiene ciertas similitudes con los efectos observados en líneas de células tumorales de mama. Basándose en la ausencia de deshidrogenasa láctica en el medio de cultivo de las líneas de células tumorales y en la presencia de niveles normales a aumentados de MMP-9 secretada en el medio de cultivo de células Mono Mac 6, se ha concluido que estas composiciones no inducen citólisis necrótica, incluso en la dosis más alta ensayada (0,01 % p/v).

Sin embargo, las dos composiciones bioactivas (extracto de fracción de membrana y suero de jugo celular) inducen una inhibición dependiente de la dosis de actividad reductasa mitocondrial, que refleja el comienzo de una vía apoptótica de muerte celular programada en células Mono Mac 6. Además, la exposición de estas células inflamatorias al extracto de fracción de membrana y al suero de jugo celular da como resultado una disminución selectiva en los niveles de enzima gelatinolítica, MMP-2 (gelatinasa A). La zimografía de gelatina indica que los mecanismos de activación de la “proforma” o zimógeno no se ven afectados por las composiciones bioactivas de *Camellia*, de manera que es altamente improbable que los niveles disminuidos de MMP-2 en el medio reflejen una destrucción proteolítica mejorada.

Por lo tanto, la actividad metabólica de todas las líneas celulares ensayadas (es decir, un modelo de cáncer de mama humano en etapa temprana, un modelo de células de cáncer de mama avanzado, y un modelo de leucemia monocítica) se inhibió de manera eficaz por el extracto de fracción de membrana (composición B) y, en la mayoría de los casos, el suero de jugo celular (composición D). De manera notable, el extracto de paredes celulares (composición A) y el extracto de té blanco (control positivo) demostraron ser inactivos o mucho menos potentes que las composiciones anteriores, B y D.

Esta tendencia se demostró claramente para todas las células cancerosas humanas MCF-7 en ausencia y en presencia de factor de crecimiento transformante, para las células de cáncer humano avanzado MDA-MB-435S, y para las células monocitoides Mono Mac 6 estimuladas y no estimuladas. Los datos referidos al sumario de los ensayos y la evaluación de las composiciones bioactivas de *Camellia* se presentan en la Tabla 15.

Tabla 15 – Sumario del ensayo y evaluación de las composiciones bioactivas de *Camellia*

Línea celular y modelo	Estímulo	Tiempo de cultivo	Extracto de té blanco (control positivo)	Extracto de fracción de paredes celulares (composición A)	Extracto de fracción de membrana (composición B)	Suero de jugo celular (composición D)
Células MDA-MB- 435S de cáncer humano		24 horas	Modesta inhibición	Modesta inhibición	Inhibición fuerte	Modesta inhibición
Cáncer de mama avanzado		48 horas	Inhibición significativa pero incompleta	Inhibición significativa pero incompleta	Inhibición completa	Inhibición significativa pero incompleta

(continuación)

Línea celular y modelo	Estímulo	Tiempo de cultivo	Extracto de té blanco (control positivo)	Extracto de fracción de paredes celulares (composición A)	Extracto de fracción de membrana (composición B)	Suero de jugo celular (composición D)
Células MCF-7 de cáncer humano		24 horas	Inhibición significativa pero incompleta	Inhibición significativa pero incompleta	Inhibición completa	Inhibición completa
		24 horas	Modesta inhibición	Sin efecto	Inhibición significativa pero incompleta	Inhibición completa
Cáncer de mama temprano	TGF- β	48 horas	Modesta inhibición	Sin efecto	Estimulación a una dosis baja e inhibición completa a dosis alta	Estimulación a una dosis baja pero inhibición incompleta a una dosis alta
Células Mono Mac 6 de leucemia humana		24 horas	Modesta inhibición	Modesta inhibición	Inhibición completa	Inhibición pronunciada
		48 horas	Sin efecto	Sin efecto	Inhibición significativa pero incompleta	Inhibición pronunciada
Inflamación	PMA	24 horas	Sin efecto	Modesta inhibición	Inhibición significativa pero incompleta	Inhibición significativa pero incompleta
		48 horas	Modesta inhibición	Sin efecto	Inhibición significativa pero incompleta	Inhibición significativa pero incompleta

5 La Tabla 15 muestra que las capacidades de la preparación de *Camellia* para modular funciones celulares de una forma dependiente de la dosis aumenta en el siguiente orden: extracto de té blanco = extracto de fracción de paredes celulares > suero de jugo celular > extracto de fracción de membrana. Los datos experimentales sugieren que las nuevas composiciones bioactivas de *Camellia* preparadas por procesamiento de tejido vegetal fresco en extracto de fracción de membrana derivado de jugo celular (composición B) y suero de jugo celular (composición D) no provocan ninguna toxicidad necrótica total hacia las células.

10 Por lo tanto, la tecnología de la presente invención presenta la capacidad de aumentar de manera drástica la potencia de las composiciones bioactivas de *Camellia* y de producir nuevos productos muy impresionantes que demuestran las actividades de células humanas que no se demostraron en los mejores productos (por ejemplo, extracto de té blanco) producido mediante tecnología convencional de *Camellia*.

Ejemplo 19 – Evaluación comparativa de composiciones bioactivas de *Camellia*: implicaciones para futuros estudios

15 Los efectos de las composiciones bioactivas de *Camellia* de la presente invención en actividades proteolíticas mediadas por células tienen implicaciones para las lesiones inflamatorias del tejido así como la invasión y metástasis tumoral. Por lo tanto, las células del cáncer de mama y las células de leucemia monocítica se pueden sugerir como posibles dianas para las composiciones bioactivas de *Camellia* de la presente invención, más notablemente, la composición B (extracto de fracción de membrana). Se demostró previamente que la línea celular
20 COLO 205 que proviene de carcinoma de colon libera niveles significativos de MMP-2, que después se activa mediante una enzima de tipo tripsina también secretada por las células. Este tipo de célula tumoral es uno de una serie de posibles dianas para las composiciones bioactivas de *Camellia* de la presente invención, basándose en los resultados con células Mono Mac 6.

A partir de estos estudios, se puede confiar en que las composiciones bioactivas aisladas a partir de *Camellia*

reciente de la presente invención tienen actividades significativas, que dan como resultado una impresionante modulación de las funciones celulares clave. Los efectos que se han observado tienen valiosas aplicaciones que varían desde productos para el cuidado personal hasta productos nutracéuticos y posibles fármacos.

5 **Ejemplo 20 – Protocolos usados para determinar determinadas características de las composiciones bioactivas**

Los siguientes son varios procedimientos usados para determinar determinadas características de las composiciones bioactivas. Estos procedimientos están referenciados en todos los ejemplos anteriores. Las referencias a continuación a los "productos sometidos a prueba" o a las "muestras de prueba" se refieren a composiciones bioactivas.

10 *Procedimiento 1: Procedimiento para la determinación de contenido sólido.* El procedimiento para la determinación de contenido sólido incluyó la evaporación de la composición bioactiva sometida a prueba en el baño de agua a 100 °C hasta la completa evaporación del agua, almacenamiento en horno de la muestra a 105 °C durante 3 horas, enfriamiento hasta temperatura ambiente y determinación inmediata del peso del recipiente con la materia sólida.

15 *Procedimiento 2: Procedimiento para la determinación del residuo no volátil.* El procedimiento para la determinación del residuo no volátil incluyó almacenamiento en horno de la composición bioactiva sometida a prueba a 105 °C durante 5 horas, enfriamiento y determinación inmediata del peso del recipiente con materia sólida.

20 *Procedimiento 3: Procedimiento para la determinación de los valores de L*a*b*.* El procedimiento para la determinación de los valores de L*a*b* utilizó un colorímetro de geometría fijada Hunter Labscan con geometría de medida de 0°/45°. Se usó iluminante estándar D₆₅ con la ventana de visualización orientada hacia arriba. El recipiente con la composición bioactiva sometida a prueba se colocó sobre la ventana de visualización y se midió a través del fondo. Se usaron las siguientes ecuaciones CIELAB:

$$C^* = (a^{*2} + b^{*2})^{1/2}$$

$$DE^* = [(DL)^2 + (Da^*)^2 + (Db^*)^2]^{1/2}$$

$$DH = [(\bar{D}E^*)^2 - (DL^*)^2 - (DC^*)^2]^{1/2}$$

25 *Procedimiento 4: Procedimiento para la determinación de contenido en carotenoides totales y contenido en luteína.* Las composiciones bioactivas sometidas a prueba se extrajeron con acetona. Después de la homogeneización y filtración al vacío, se saponificaron todos los extractos con hidróxido de potasio al 30 % en metanol. Los carotenoides se extrajeron sucesivamente de las composiciones bioactivas con éter de petróleo. Después de tratamiento adicional y resolubilización en etanol, se midieron todas las muestras a 446 nm.

30 Para determinar el contenido en luteína, se usó una muestra secada adicional de cada extracción de muestra para el análisis de cromatografía líquida de alta resolución ("HPLC"). La muestra secada se resolubilizó en MTBE y metanol. Se usó el sistema HPLC de fase inversa con columna C₁₈ 5 μm (250 x 4,60 mm I.D.) ("Vydac"). Se conformó la identidad de luteína por la co-cromatografía de un estándar auténtico. El coeficiente de absorptividad molar para luteína en etanol es de 144,800 cm⁻¹ mol⁻¹.

35 *Procedimiento 5: Procedimiento para la determinación de la actividad inhibidora de elastasa.* Se determinó la actividad inhibidora de elastasa de las composiciones bioactivas sometidas a prueba usando el ensayo, que emplea elastasa neutrófila (un preparación de enzima purificada producida por "productos de elastina") y sustrato soluble en péptido sintético metoxisuccinil-Ala-Ala-Pro-Val-p-Ni-troanilida producido por "Sigma". La escisión enzimática del sustrato da como resultado la generación de color amarillo creciente con el tiempo (405 nm); la tasa de generación de color disminuye incrementando las concentraciones de las composiciones bioactivas sometidas a prueba que contienen actividad inhibidora. El análisis de la dependencia de concentración de la inhibición permite la cuantificación de la potencia de la actividad inhibidora, expresada como la concentración de materia seca dentro de cada composición bioactiva sometida a prueba requerida para lograr una inhibición del 50 % (CI₅₀), pero también proporciona información relacionada con el modo de inhibición.

40 Para la determinación de CI₅₀, la concentración de elastasa fue de 2,5 μg/ml y la concentración de sustrato fue de 150 μM. Para la determinación de K_i, las concentraciones de sustrato fueron de 100 μM y 200 μM.

45 *Procedimiento 6: Procedimiento para la determinación de la actividad inhibidora de gelatinasa B (MPM-9).* El ensayo comercialmente distribuido (ELISA de actividad MPM-9 producido por "Amersham Pharmacia"), que captura la gelatinasa B específicamente sobre microplacas de multipocillos por reconocimiento inmunitario, se usó después de

que se retiraran por lavado otras proteinasas. Se detectó la actividad enzimática a 405 nm por hidrólisis de un sustrato sintético de bajo peso molecular para gelatinasa B: APMA. Se usó el análisis de la dependencia de concentración de inhibición para determinar la potencia de la materia seca de la composición bioactiva sometida a prueba.

5 *Procedimiento 7: Procedimiento para la determinación de la actividad eliminadora de superóxido.* Se usó el sistema enzimático, que usa xantina oxidasa (una preparación de enzima purificada producida por "Sigma"), para generar aniones de superóxido en alto rendimiento y de forma controlada. La conversión de xantina a hidroxantina por esta enzima genera cantidades de aniones de superóxido y se usó la reducción de ferricitocromo c a ferrocitocromo c como medida sensible de los niveles de superóxido. Las medidas del nivel de ferrocitocromo c (550 nm), cuando se
10 añadieron las composiciones bioactivas sometidas a prueba al sistema de reacción, permiten la determinación de su actividad inhibidora de superóxido. Las concentraciones finales por pocillo fueron para citocromo c 75 µM, xantina 425 mm/l, y xantina oxidasa 10 mU/ml.

15 *Procedimiento 8: Procedimiento para la determinación de la toxicidad in vitro y apoptosis.* Se exploraron el ensayo de proliferación celular CellTiter 96 Aqueous One solution y el ensayo de citotoxicidad no radioactivo CytoTox 96 y protocolos posteriores (ambos ensayos producidos por Promega Corporation, Madison, WI).

El primer ensayo es un procedimiento colorimétrico para determinar el número de células viables que explora un compuesto de tetrazolio (3-(4,5-dimetiltiazol-2-il)-5-(3-carboximetoxifenil)-2-(4-sulfofenil)-2H-tetrazolio, sal inerte; MTS y un reactivo de acoplamiento de electrones (fenazina metosulfato; PMS). El MTS se reduce por las células en un producto de formazano de medio de cultivo soluble en tejido que tiene un máximo en la absorbancia a 490 nm.
20 La conversión de MTS en formazano soluble acuoso se lleva a cabo por enzimas deshidrogenasas halladas en células metabólicamente activas y la cantidad de producto de formazano es directamente proporcional al número de células vivientes en el cultivo.

El segundo ensayo mide cuantitativamente la lactato deshidrogenasa (LDH), una enzima citosólica estable que se libera tras la lisis celular. La LDH liberada en sobrenadante de cultivo celular se mide con un ensayo enzimático acoplado de 30 minutos, que da como resultado la conversión de una sal de tetrazolio (INT) en un producto de formazano rojo. La cantidad de color formado es proporcional al número de células lisadas.
25

Procedimiento 9: Procedimiento para la determinación del nivel de enzimas secretadas por células estimuladas. Después de la incubación con PMA, las células Mono Mac 6 secretan dos metaloproteinasas de matriz gelatinolíticas, MPM-2 (gelatinasa A) y MPM-9 (gelatinasa B). Se determinaron los niveles de estas enzimas en presencia de las composiciones bioactivas sometidas a prueba por electroforesis en gel de poliacrilamida con dodecil sulfato de sodio bidimensional.
30

Ejemplo 21 - Líneas celulares usadas para someter a prueba determinadas características de los productos de *Camellia*

La línea celular MDA-MB-435S que se considera un modelo de cáncer de mama avanzado se obtuvo de American Type Culture Collection (número ATCC HTB-129). Esta línea celular se cultivó a 37 °C en el siguiente medio ATCC: Medio L-15 de Leibovitz con L-glutamina 2 mM complementado con 0,01 mg/ml de insulina, 90 %; suero fetal bovino, 10 %.
35

La línea celular MCF-7 que se considera un modelo de cáncer de mama temprano o poco desdiferenciado se obtuvo de ATCC (número HTB-22), se cultivó a 37 °C en el siguiente medio ATCC: medio esencial mínimo (Eagle) con L-glutamina 2 mM y BSS de Earle ajustado para contener 1,5 g/l de bicarbonato de sodio, aminoácidos no esenciales 0,1 mM y piruvato de sodio 1 mM y complementado con 0,01 mg/ml de insulina bovina, 90 %; suero fetal bovino, 10 %.
40

La línea celular MonoMac6 (MM6, obtenida de The German Collection of Microorganisms and Cell Cultures) que se asemeja mucho a un monocito humano diferenciado (Ziegler-Heitbrock et al., "Establishment of a Human Cell Line (Mono Mac 6) with Characteristics of Mature Monocytes," International Journal of Cancer 41:456-461 (1988)). Las células se mantuvieron en RPMI 1640, complementado con L-glutamina 2 mM, 100 U/ml de penicilina, 100 µg/ml de estreptomycin, piruvato de sodio 1 mM, FCS al 10 %, aminoácidos no esenciales, 9 µg/ml de insulina, y ácido oxalacético 1 mM. Para las condiciones de ensayo, también se añadió glucosa al 0,2 %.
45

Ejemplo 22 - Análisis de catequina de los productos de *Camellia*

50 Se analizaron el extracto de la fracción de paredes celulares, el extracto de la fracción de membrana, y el suero de jugo celular de la presente invención para determinar el contenido en diversas catequinas. Se usó una muestra de té blanco como control. Se sometieron a ensayo las siguientes catequinas: (-)-epigalocatequina; (+)-catequina; (-)-epicatequina; galato de (-)-epigalocatequina; galato de (-)-galocatequina; y galato de (-)-epicatequina.

Se extrajeron las muestras usando H₃PO₄ al 0,1 % y sonicación durante aproximadamente 15 minutos. Después de la centrifugación, se inyectó el extracto en HPLC. Se usó la columna de fase inversa C-18 como fase estacionaria. Se usaron ácido fosfórico al 0,1 % y acetonitrilo como fases móviles. La detección fue a 280 nm. El cálculo se basa
55

en comparar áreas de cada catequina enumerada con su estándar puro. Los resultados se muestran en la figura 38 y en la tabla 16 (dada a continuación).

Tabla 16 - Contenido en catequina de las composiciones bioactivas de *Camellia*

Muestra	Producto químico analizado	Promedio mg/g basado en 100 % de materia seca	Promedio mg/g basado en producto como tal
Extracto de té blanco	(-)-epigallocatequina	0,3	0,0033
	(+)-catequina	1,33	0,0146
	(-)-epicatequina	0,15	0,0017
	galato de (-)-epigallocatequina	0,65	0,0071
	galato de (-)-galocatequina	0,003	0,0000
	galato de (-)-epicatequina	0,212	0,0023
extracto de la fracción de paredes celulares	(-)-epigallocatequina	0,00	0,0000
	(+)-catequina	2,39	0,0201
	(-)-epicatequina	0,01	0,0001
	galato de (-)-epigallocatequina	0,01	0,0001
	galato de (-)-galocatequina	0,00	0,0000
	galato de (-)-epicatequina	0,006	0,0001
extracto de la fracción de membrana	(-)-epigallocatequina	2,27	0,1552
	(+)-catequina	8,96	0,6121
	(-)-epicatequina	0,60	0,0409
	galato de (-)-epigallocatequina	9,28	0,6340
	galato de (-)-galocatequina	0,01	0,0006
	galato de (-)-epicatequina	2,33	0,1589
suero de jugo celular	(-)-epigallocatequina	3,01	0,1714
	(+)-catequina	6,09	0,3465
	(-)-epicatequina	0,95	0,0539
	galato de (-)-epigallocatequina	1,97	0,1120
	galato de (-)-galocatequina	0,04	0,0024
	galato de (-)-epicatequina	0,57	0,0325

Las realizaciones de la invención incluyen:

- 5 1. Una composición bioactiva que comprende:

una composición bioactiva derivada de una planta *Theacea*, en la que dicha fracción bioactiva se selecciona del grupo que consiste en una fracción de paredes celulares, un extracto de fracción de paredes celulares, una fracción de membrana, un extracto de fracción de membrana, una fracción de citoplasma, un extracto de fracción de citoplasma, un suero de jugo celular y combinaciones de los mismos.
- 10 2. La composición bioactiva de acuerdo con la realización 1, en la que dicha fracción bioactiva es una fracción de paredes celulares.
3. La composición bioactiva de acuerdo con la realización 1, en la que dicha fracción bioactiva es un extracto de

fracción de paredes celulares.

4. La composición bioactiva de acuerdo con la realización 3, en la que dicho extracto de fracción de paredes celulares tiene un contenido en catequina total de entre aproximadamente 2,1 y aproximadamente 4,5 miligramos por gramo de materia seca.
5. La composición bioactiva de acuerdo con la realización 3, en la que dicho extracto de paredes celulares tiene un perfil de contenido en catequina que comprende:
 - entre aproximadamente 2,0 y aproximadamente 3,0 miligramos de (+)-catequina por gramo de materia seca del extracto de la fracción de paredes celulares, entre aproximadamente 0,005 y aproximadamente 0,02 miligramos de (-)-epicatequina por gramo de materia seca del extracto de la fracción de paredes celulares,
 - entre aproximadamente 0,005 y aproximadamente 0,02 miligramos de galato de (-)-epigallocatequina por gramo de materia seca del extracto de la fracción de paredes celulares y
 - entre aproximadamente 0,003 y aproximadamente 0,01 miligramos de galato de (-)-epicatequina por gramo de materia seca del extracto de la fracción de paredes celulares.
6. La composición bioactiva de acuerdo con la realización, en la que dicha fracción bioactiva es una fracción de membrana.
7. La composición bioactiva de acuerdo con la realización 1, en la que dicha fracción bioactiva es un extracto de fracción de membrana.
8. La composición bioactiva de acuerdo con la realización 7, en la que dicho extracto de fracción de membrana tiene un contenido total de catequina entre aproximadamente 15,0 y aproximadamente 30,5 miligramos por gramo de materia seca.
9. La composición bioactiva de acuerdo con la realización 7, en la que dicho extracto de fracción de membrana tiene un perfil de contenido en catequina que comprende:
 - entre aproximadamente 1,7 y aproximadamente 3,3 miligramos de (-)-epigallocatequina por gramo de materia seca del extracto de la fracción de membrana,
 - entre aproximadamente 6,1 y aproximadamente 10,2 miligramos de (+)-catequina por gramo de materia seca del extracto de la fracción de membrana,
 - entre aproximadamente 0,3 y aproximadamente 1,1 miligramos de (-)-epicatequina por gramo de materia seca del extracto de la fracción de membrana,
 - entre aproximadamente 6,2 y aproximadamente 12,5 miligramos de galato de (-)-epigallocatequina por gramo de materia seca del extracto de la fracción de membrana,
 - entre aproximadamente 0,007 y aproximadamente 0,03 miligramos de galato de (-)-galocatequina por gramo de materia seca del extracto de la fracción de membrana, y
 - entre aproximadamente 1,3 y aproximadamente 3,3 miligramos de galato de (-)-epigallocatequina por gramo de materia seca del extracto de la fracción de membrana.
10. La composición bioactiva de acuerdo con la realización 1, en la que dicha fracción bioactiva es una fracción de citoplasma.
11. La composición bioactiva de acuerdo con la realización 1, en la que dicha fracción bioactiva es un extracto de la fracción del citoplasma.
12. La composición bioactiva de acuerdo con la realización 1, en la que dicha fracción bioactiva es un suero de jugo celular.
13. La composición bioactiva de acuerdo con la realización 12, en la que dicho suero de jugo celular tiene un contenido total en catequina de entre aproximadamente 8,0 y aproximadamente 20,0 miligramos por gramo de materia seca.
14. La composición bioactiva de acuerdo con la realización 12, en la que dicho suero de jugo celular tiene un perfil de contenido en catequina que comprende:
 - entre aproximadamente 2,1 y aproximadamente 4,4 miligramos de (-)-epigallocatequina por gramo de materia seca del suero de jugo celular, entre aproximadamente 4,2 y aproximadamente 8,6 miligramos de (+)-catequina por gramo de materia seca del suero de jugo celular, entre aproximadamente 0,2 y aproximadamente 2,0 miligramos de (-)-epicatequina por gramo de materia seca del suero de jugo celular,
 - entre aproximadamente 1,2 y aproximadamente 3,2 miligramos de galato de (-)-epigallocatequina por gramo de materia seca del suero de jugo celular, entre aproximadamente 0,01 y aproximadamente 0,1

miligramos de galato de (-)-galocatequina por gramo de materia seca del suero de jugo celular y entre aproximadamente 0,2 y aproximadamente 1,3 miligramos de galato de (-)-epicatequina por gramo de materia seca del suero de jugo celular.

- 5 15. La composición bioactiva de acuerdo con la realización 1, en la que dicha planta *Theacea* es una planta *Camellia* o una planta *Eurya*.
16. La composición bioactiva de acuerdo con la realización 15, en la que dicha planta *Camellia* se selecciona del grupo que consiste en *Camellia sinensis*, *Camellia japónica*, *Camellia reticulate* y *Camellia sasangua*.
17. La composición bioactiva de acuerdo con la realización 15, en la que dicha planta *Eurya* es *Eurya sanwicensis*.
- 10 18. La composición bioactiva de acuerdo con la realización 1 que comprende adicionalmente un agente estabilizante.
19. La composición bioactiva de acuerdo con la realización 18, en la que dicho agente estabilizante se selecciona del grupo que consiste en un emulsionante, un conservante, un antioxidante, una matriz de polímeros, y mezclas de los mismos.
- 15 20. Una formulación bioactiva tópica adecuada para aplicación tópica en un mamífero, comprendiendo dicha formulación bioactiva tópica:
- una cantidad tópicamente eficaz de la composición bioactiva de acuerdo con la realización 1 y un vehículo tópicamente aceptable.
- 20 21. La formulación bioactiva tópica de acuerdo con la realización 20, en la que el vehículo tópicamente aceptable se selecciona del grupo que consiste en una base de crema hidrofílica, una base de loción hidrofílica, una base de tensioactivo hidrofílica, una base de gel hidrofílica, una base de solución hidrofílica, una base de crema hidrofóbica, una base de loción hidrofóbica, una base de tensioactivo hidrofóbica, una base de gel hidrofóbica y una base de solución hidrofóbica.
- 25 22. La formulación bioactiva tópica de acuerdo con la realización 20, en la que la composición bioactiva está presente en una cantidad que varía desde entre aproximadamente el 0,001 por ciento y aproximadamente el 90 por ciento del peso total de la formulación bioactiva tópica.
23. Un procedimiento para inhibir la actividad inflamatoria en el tejido de la piel de un mamífero, comprendiendo dicho método: proporcionar la composición bioactiva de acuerdo con la realización 1 y aplicar la composición bioactiva al tejido de la piel en una cantidad eficaz para inhibir la actividad inflamatoria en el tejido de la piel.
- 30 24. El procedimiento de acuerdo con la realización 23 en el que dicha planta *Theacea* es una planta *Camellia* o una planta *Eurya*.
25. El procedimiento de acuerdo con la realización 23 en el que dicha composición bioactiva comprende adicionalmente un agente estabilizante.
- 35 26. El procedimiento de acuerdo con la realización 25 en el que dicho agente estabilizante se selecciona del grupo que consiste en un emulsionante, un conservante, un antioxidante, una matriz de polímeros y mezclas de los mismos.
27. El procedimiento de acuerdo con la realización 23, en el que dicha composición bioactiva comprende adicionalmente un vehículo tópicamente aceptable.
- 40 28. El procedimiento de acuerdo con la realización 27, en el que el vehículo tópicamente aceptable se selecciona del grupo que consiste en una base de crema hidrofílica, una base de loción hidrofílica, una base de tensioactivo hidrofílica, una base de gel hidrofílica, una base de solución hidrofílica, una base de crema hidrofílica, una base de loción hidrofóbica, una base de tensioactivo hidrofóbica, una base de gel hidrofóbica y una base de solución hidrofóbica.
- 45 29. Un procedimiento para proteger el tejido de la piel de un mamífero del daño inducido por la luz ultravioleta, comprendiendo dicho procedimiento: proporcionar la composición bioactiva de acuerdo con la realización 1 y aplicar la composición bioactiva al tejido de la piel en una cantidad eficaz para reducir el daño del tejido de la piel inducido por la luz ultravioleta y para prevenir del daño oxidativo del tejido de la piel.

30. EL procedimiento de acuerdo con la realización 29, en el que dicha planta *Theacea* es un aplanta *Camellia* o una planta *Eurya*.
31. El procedimiento de acuerdo con la realización 29, en el que dicha composición bioactiva comprende adicionalmente un agente estabilizante.
- 5 32. El procedimiento de acuerdo con la realización 31, en el que dicho agente estabilizante se selecciona del grupo que consiste en un emulsionante, un conservante, un antioxidante, una matriz de polímeros y mezclas de los mismos.
33. El procedimiento de acuerdo con la realización 29, en el que dicha composición bioactiva comprende adicionalmente un vehículo tópicamente aceptable.
- 10 34. El procedimiento de acuerdo con la realización 33, en el que el vehículo tópicamente aceptable se selecciona del grupo que consiste en una base de crema hidrofílica, una base de loción hidrofílica, una base de tensioactivo hidrofílica, una base de gel hidrofílica, una base de solución hidrofílica, una base de crema hidrofóbica, una base de loción hidrofóbica, una base de tensioactivo hidrofóbica, una base de gel hidrofóbica, y una base de solución hidrofóbica.
- 15 35. El procedimiento de acuerdo con la realización 29, en el que dicho daño inducido por luz ultravioleta está causado por luz ultravioleta en un intervalo de entre aproximadamente 320 y 400 nanómetros.
36. Un procedimiento para normalizar trastornos en el tejido de la piel de un mamífero, comprendiendo dicho método:
- 20 proporcionar la composición bioactiva de acuerdo con la realización 1 y aplicar la composición bioactiva al tejido de la piel en una cantidad eficaz para normalizar un trastorno celular en el tejido de la piel.
37. El procedimiento de acuerdo con la realización 36, en el que dicha planta *Theacea* es una planta *Camellia* o una planta *Eurya*.
- 25 38. El procedimiento de acuerdo con la realización 36, en el que dicha composición bioactiva comprende adicionalmente un agente estabilizante.
39. EL procedimiento de acuerdo con la realización 38, en el que dicho agente estabilizante se selecciona del grupo que consiste en un emulsionante, un conservante, un antioxidante, una matriz de polímeros, y mezclas de los mismos.
- 30 40. El procedimiento de acuerdo con la realización 36, en el que dicha composición bioactiva comprende adicionalmente un vehículo tópicamente aceptable.
- 35 41. El procedimiento de acuerdo con la realización 40, en el que el vehículo tópicamente aceptable se selecciona del grupo que consiste en una base de crema hidrofílica, una base de loción hidrofílica, una base de tensioactivo hidrofílica, una base de gel hidrofílica, una base de solución hidrofílica, una base de crema hidrofóbica, una base de loción hidrofóbica, una base de tensioactivo hidrofóbica, una base de gel hidrofóbica y una base de solución hidrofóbica.
42. Un procedimiento para aislar una fracción bioactiva que proviene del jugo celular de una planta *Theacea*, comprendiendo dicho procedimiento: proporcionar una planta *Theacea*;
- 40 separar la planta *Theacea* en jugo celular y en un componente de pared celular; tratar el jugo celular en condicioneseficaces para producir una fracción bioactiva, en la que dicha fracción bioactiva se selecciona del grupo que consiste en una fracción de membrana, un extracto de fracción de membrana, una fracción de citoplasma, un extracto de una fracción de citoplasma, y un suero de jugo celular; y aislar dicha fracción bioactiva del jugo celular tratado.
43. El procedimiento de acuerdo con la realización 42, en el que dicha fracción bioactiva es una fracción de membrana.
- 45 44. El procedimiento de acuerdo con la realización 42, en el que dicha fracción bioactiva es un extracto de una fracción de membrana.
45. El procedimiento de acuerdo con la realización 42, en el que dicha fracción bioactiva es una fracción de

citoplasma.

46. El procedimiento de acuerdo con la realización 42, en el que dicha fracción bioactiva es un extracto de una fracción de citoplasma.
- 5 47. El procedimiento de acuerdo con la realización 42, en el que dicha fracción bioactiva es un suero de jugo celular.
48. El procedimiento de acuerdo con la realización 42, en el que dicha planta *Theaceae* es una planta *Camellia* o una planta *Eurya*.
49. El procedimiento de acuerdo con la realización 48, en el que dicha planta *Camellia* se selecciona del grupo que consiste en *Camellia sinensis*, *Camellia japonica*, *Camellia reticulata*, y *Camellia sasanqua*.
- 10 50. El procedimiento de acuerdo con la realización 48, en el que dicha planta *Eurya* es *Eurya sandwicensis*.
51. Una composición bioactiva aislada producida de acuerdo con el procedimiento de la realización 42.
52. Un procedimiento para aislar una fracción bioactiva que proviene de un componente de paredes celulares de una planta *Theaceae*, comprendiendo dicho procedimiento:
- 15 proporcionar una planta *Theaceae*;
separar la planta *Theaceae* en jugo celular y un componente de paredes celulares;
tratar el componente de paredes celulares en condiciones eficaces para producir una fracción bioactiva; y
aislar la fracción bioactiva del componente de paredes celulares tratado.
53. El procedimiento de acuerdo con la realización 52, en el que dicha fracción bioactiva es una fracción de paredes celulares.
- 20 54. El procedimiento de acuerdo con la realización 52, en el que dicha fracción bioactiva es un extracto de fracción de paredes celulares.
55. El procedimiento de acuerdo con la realización 52, en el que dicha planta *Theaceae* es una planta *Camellia* o una planta *Eurya*.
- 25 56. El procedimiento de acuerdo con la realización 55, en el que dicha planta *Camellia* se selecciona del grupo que consiste en *Camellia sinensis*, *Camellia japonica*, *Camellia reticulata*, y *Camellia sasanqua*.
57. El procedimiento de acuerdo con la realización 55, en el que dicha planta *Eurya* es *Eurya sandwicensis*.
58. Una fracción bioactiva producida de acuerdo con el procedimiento de la realización 52.

REIVINDICACIONES

1. Un procedimiento para aislar una fracción bioactiva que proviene de jugo celular de una planta *Theacea*, comprendiendo dicho procedimiento:

5 proporcionar biomasa fresca de una planta *Theacea*, en el que dicha biomasa fresca comprende biomasa de planta *Theacea* fresca que no ha sufrido ningún procesamiento de té convencional;
 separar la biomasa fresca de la planta *Theacea* en jugo celular y un componente de paredes celulares, en el que dicha separación comprende moler, macerar y prensar la biomasa fresca para separar la biomasa fresca en el jugo celular y el componente de paredes celulares;
 10 tratar el jugo celular en condiciones eficaces para producir una fracción bioactiva, comprendiendo dichas condiciones someter el jugo celular a tratamiento con microondas para inducir la coagulación, proporcionando de este modo una fracción de membrana coagulada y una porción no coagulada del jugo celular,
 aislar la fracción bioactiva de la fracción de membrana coagulada, en el que la fracción bioactiva es la fracción de membrana o un extracto de la fracción de membrana, en el que la fracción de membrana se aísla separando la fracción de membrana coagulada del jugo celular no coagulado usando centrifugación y, en el que el extracto de la fracción de membrana se aísla sometiendo la fracción de membrana a extracción con disolvente con dimetilsulfóxido y a continuación centrifugación para proporcionar un sobrenadante que comprende el extracto de la fracción de membrana.

20 2. El procedimiento de acuerdo con la reivindicación 1, en el que el extracto de la fracción de membrana tiene un contenido en catequina total de entre aproximadamente 15,0 y aproximadamente 30,5 miligramos por gramo de materia seca.

3. El procedimiento de acuerdo con la reivindicación 1, en el que el extracto de la fracción de membrana tiene un perfil de contenido en catequina que comprende:

25 entre aproximadamente 1,7 y aproximadamente 3,3 miligramos de (-)-epigallocatequina por gramo de materia seca del extracto de la fracción de membrana,
 entre aproximadamente 6,1 y aproximadamente 10,2 miligramos de (+)-catequina por gramo de materia seca del extracto de la fracción de membrana,
 entre aproximadamente 0,3 y aproximadamente 1,1 miligramos de (-)-epicatequina por gramo de materia seca del extracto de la fracción de membrana,
 30 entre aproximadamente 6,2 y aproximadamente 12,5 miligramos de galato de (-)-epigallocatequina por gramo de materia seca del extracto de la fracción de membrana,
 entre aproximadamente 0,007 y aproximadamente 0,03 miligramos de galato de (-)-galocatequina por gramo de materia seca del extracto de la fracción de membrana, y
 35 entre aproximadamente 1,3 y aproximadamente 3,3 miligramos de galato de (-)-epicatequina por gramo de materia seca del extracto de la fracción de membrana.

4. Un procedimiento para aislar una fracción bioactiva que proviene del jugo celular de una planta *Theacea* comprendiendo dicho procedimiento:

40 proporcionar biomasa fresca de una planta *Theacea*, en la que dicha biomasa fresca comprende biomasa de planta *Theacea* fresca que no ha sufrido ningún procesamiento de té convencional;
 separar la biomasa fresca de la planta *Theacea* en jugo celular y un componente de paredes celulares, en el que dicha separación comprende moler, macerar y prensar la biomasa fresca para separar la biomasa fresca en el jugo celular y el componente de paredes celulares;
 45 tratar el jugo celular en condiciones eficaces para producir una fracción bioactiva, comprendiendo dichas condiciones someter el jugo celular a tratamiento con microondas para inducir la coagulación, proporcionando de este modo una fracción de membrana coagulada y una porción del jugo celular no coagulada,
 aislar la fracción bioactiva del jugo celular no coagulado, en el que la fracción bioactiva es suero de jugo celular, y
 en el que el suero de jugo celular se aísla sometiendo el jugo celular no coagulado a coagulación por precipitación isoelectrónica y centrifugación, proporcionando de este modo un líquido sobrenadante que comprende el suero de jugo celular.

50 5. El procedimiento de acuerdo con la reivindicación 4, en el que el suero de jugo celular tiene un contenido en catequina total de entre aproximadamente 8,0 y aproximadamente 20,0 miligramos por gramo de materia seca.

6. El procedimiento de acuerdo con la reivindicación 4, en el que el suero de jugo celular tiene un perfil de contenido en catequina que comprende:

55 entre aproximadamente 2,1 y aproximadamente 4,4 miligramos de (-)-epigallocatequina por gramo de materia seca del suero de jugo celular,
 entre aproximadamente 4,2 y aproximadamente 8,6 miligramos de (+)-catequina por gramo de materia seca del suero de jugo celular,

- entre aproximadamente 0,2 y aproximadamente 2,0 miligramos de (-)-epicatequina por gramo de materia seca del suero de jugo celular,
entre aproximadamente 1,2 y aproximadamente 3,2 miligramos de galato de (-)-epigallocatequina por gramo de materia seca del suero de jugo celular,
- 5 entre aproximadamente 0,01 y aproximadamente 0,1 miligramos de galato de (-)-galocatequina por gramo de materia seca del suero de jugo celular, y
entre aproximadamente 0,2 y aproximadamente 1, 3 miligramos de galato de (-)-epicatequina por gramo de materia seca del suero de jugo celular.
7. Un procedimiento para aislar una fracción bioactiva que proviene de un componente de paredes celulares de una planta *Theacea*, comprendiendo dicho procedimiento:
- 10 proporcionar biomasa fresca de una planta *Theacea*, en el que dicha biomasa fresca comprende biomasa de planta *Theacea* fresca que no ha sufrido ningún procesamiento de té convencional;
separar la biomasa fresca de la planta *Theacea* en jugo celular y un componente de paredes celulares, en el que dicha separación comprende moler, macerar y prensar la biomasa fresca para separar la biomasa fresca en el jugo celular y el componente de paredes celulares;
- 15 en el que dicha fracción bioactiva es el extracto de la fracción de paredes celulares; y en el que el extracto de la fracción de paredes celulares se aísla sometiendo las paredes celulares a secado usando tratamiento con microondas y a continuación mezclar el material seco con agua.
8. El procedimiento de acuerdo con la reivindicación 7, en el que el extracto de la fracción de paredes celulares tiene un contenido en catequina total de entre aproximadamente 2,1 y aproximadamente 4,5 miligramos por gramo de materia seca.
9. El procedimiento de acuerdo con la reivindicación 7, en el que el extracto de la fracción de paredes celulares tiene un perfil de contenido en catequina que comprende:
- 25 entre aproximadamente 2,0 y aproximadamente 3,0 miligramos de (+)-catequina por gramo de materia seca del extracto de la fracción de paredes celulares,
entre aproximadamente 0,005 y aproximadamente 0,02 miligramos de (-)-epicatequina por gramo de materia seca del extracto de la fracción de paredes celulares,
entre aproximadamente 0,005 y aproximadamente 0,02 miligramos de galato de (-)-epigallocatequina por gramo de materia seca del extracto de la fracción de paredes celulares,
- 30 entre aproximadamente 0,03 y aproximadamente 0,01 miligramos de galato de (-)-epicatequina por gramo de materia seca del extracto de la fracción de paredes celulares.
10. El procedimiento de acuerdo con cualquiera de las reivindicaciones 1-9, en el que dicha planta *Theacea* es una planta *Camellia* tal como *Camellia sinensis*, *Camellia japonica*, *Camellia reticulata* o *Camellia sasanqua*.
- 35 11. El procedimiento de acuerdo con cualquiera de las reivindicaciones 1-9, en el que dicha planta *Theacea* es una planta *Eurya* tal como *Eurya sandwicensis*.
12. Un procedimiento de formación de una composición bioactiva, comprendiendo el procedimiento:
- combinar una fracción bioactiva aislada que proviene de una planta *Theacea* producida de acuerdo con el procedimiento de cualquiera de las reivindicaciones 1-11, con un agente estabilizante.
- 40 13. El procedimiento de acuerdo con la reivindicación 12, en el que dicho agente estabilizante está seleccionado del grupo que consiste en un emulsionante, un conservante, un antioxidante, una matriz polimérica, y mezclas de los mismos.
14. Un procedimiento de formación de una formulación bioactiva tópica adecuada para aplicación tópica a un mamífero, comprendiendo el procedimiento:
- 45 combinar una fracción bioactiva aislada que proviene de una planta *Theacea* producida de acuerdo con el procedimiento de cualquiera de las reivindicaciones 1-11, con un vehículo tópicamente aceptable.
15. El procedimiento de acuerdo con la reivindicación 14, en el que el vehículo tópicamente aceptable está seleccionado del grupo que consiste en una base de crema hidrófila, una base de loción hidrófila, una base de tensioactivo hidrófila, una base de gel hidrófila, una base de solución hidrófila, una base de crema hidrófoba, una base de loción hidrófoba, una base de tensioactivo hidrófoba, una base de gel hidrófoba y una base de solución hidrófoba.
- 50 16. Una fracción bioactiva aislada que proviene de jugo celular de una planta *Theacea* producida de acuerdo con el procedimiento de la reivindicación 3 o de la reivindicación 6.

17. Una fracción bioactiva aislada que proviene de un componente de paredes celulares de una planta *Theacea* producida de acuerdo con el procedimiento de la reivindicación 9.
- 5 18. Una composición bioactiva formada de acuerdo con el procedimiento de la reivindicación 12 o 13, o una formulación bioactiva tópica formada de acuerdo con el procedimiento de la reivindicación 14 o 15, en el que la fracción bioactiva aislada es un extracto de fracción de membrana y el perfil de catequina de la fracción bioactiva aislada es como se define en la reivindicación 3 o en el que la fracción bioactiva aislada es suero de jugo celular y el perfil de catequina de la fracción aislada es como se define en la reivindicación 6.
- 10 19. Una composición bioactiva formada de acuerdo con el procedimiento de la reivindicación 12 o 13, o una formulación bioactiva tópica formada de acuerdo con el procedimiento de la reivindicación 14 o 15, en el que la fracción bioactiva aislada es un extracto de fracción de paredes celulares y el perfil de catequina de la fracción bioactiva aislada es como se define en la reivindicación 9.
- 15 20. Una fracción bioactiva aislada de acuerdo con la reivindicación 16, o una composición bioactiva o una formulación bioactiva tópica de acuerdo con la reivindicación 18, para su uso en la inhibición de la actividad inflamatoria en tejido de la piel de un mamífero, para su uso en la protección de tejido de la piel de un mamífero del daño inducido por luz ultravioleta, o para su uso en la normalización de trastornos cutáneos en tejido de la piel de un mamífero, mediante la aplicación al tejido de la piel.
- 20 21. Una fracción bioactiva aislada de acuerdo con la reivindicación 17 o una composición bioactiva o una formulación bioactiva tópica de acuerdo con la reivindicación 19, para su uso en la protección de tejido de la piel de un mamífero de daño inducido por luz ultravioleta.

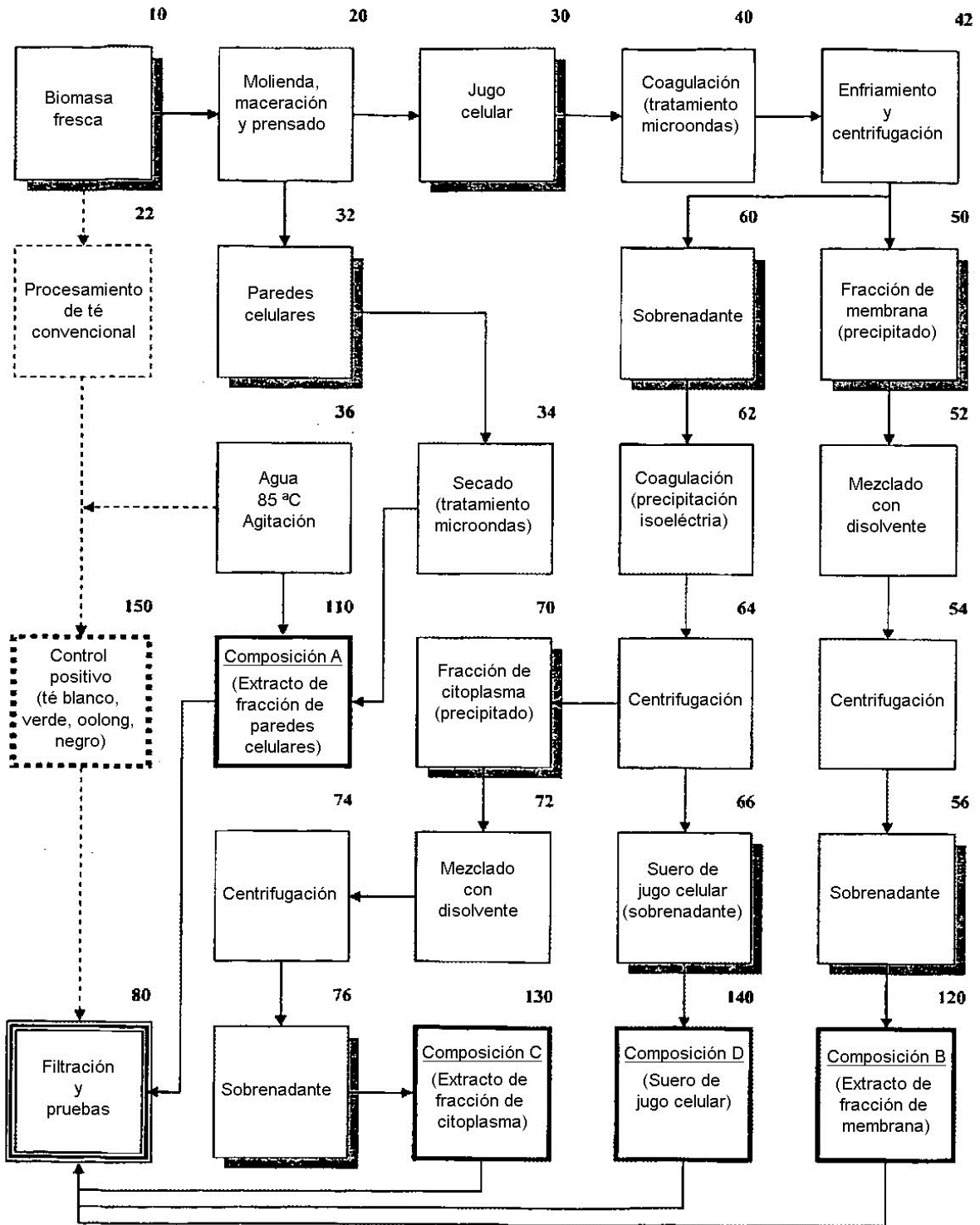


Fig. 1

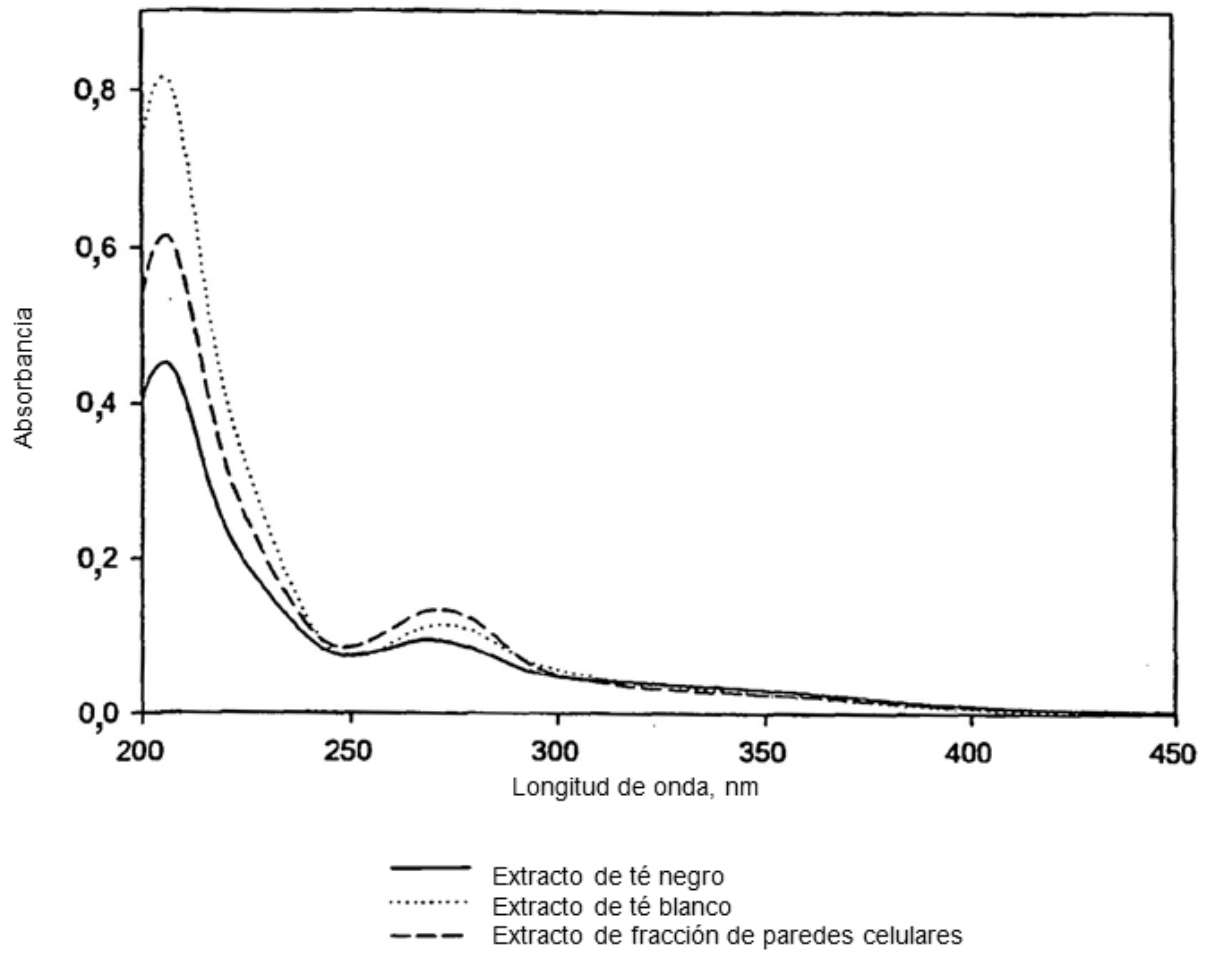


Figura 2

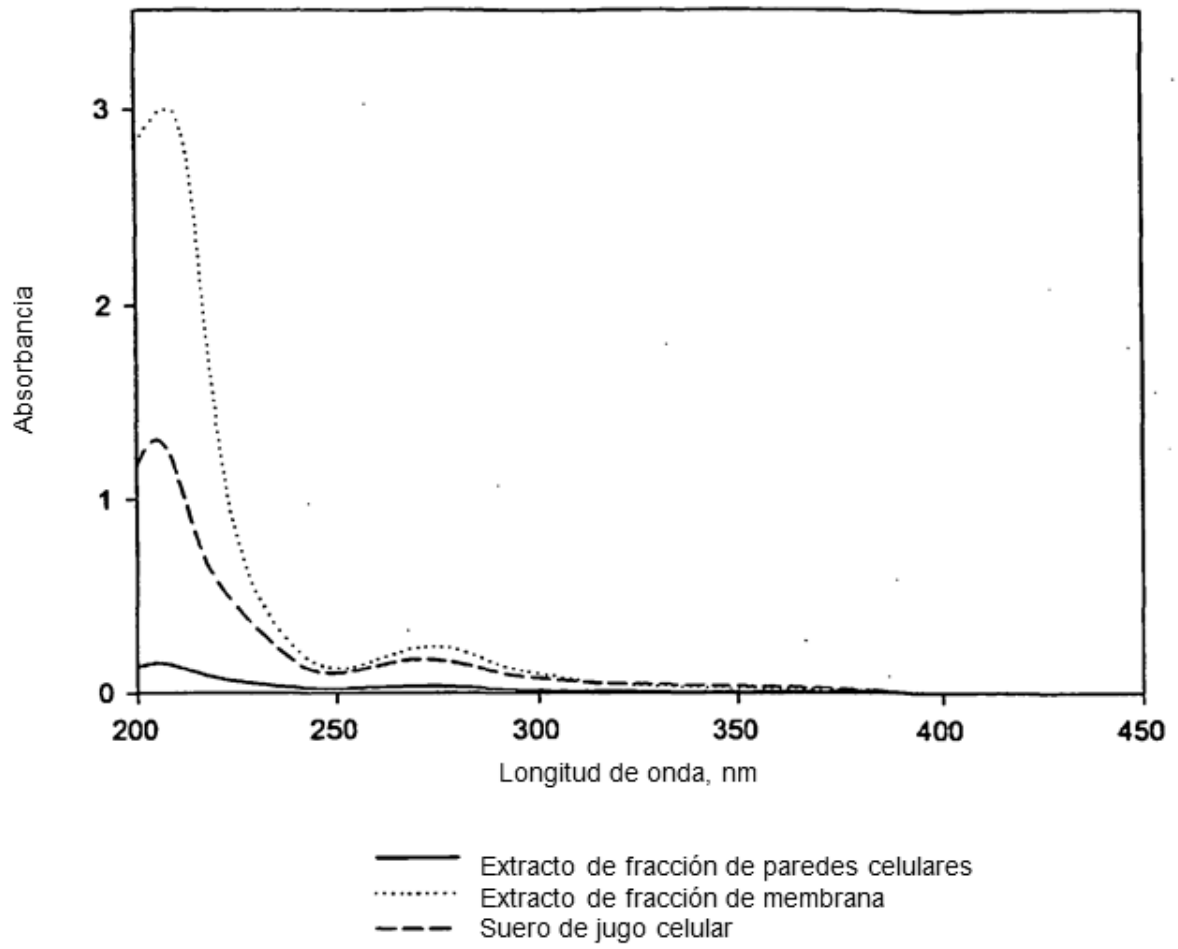


Figura 3

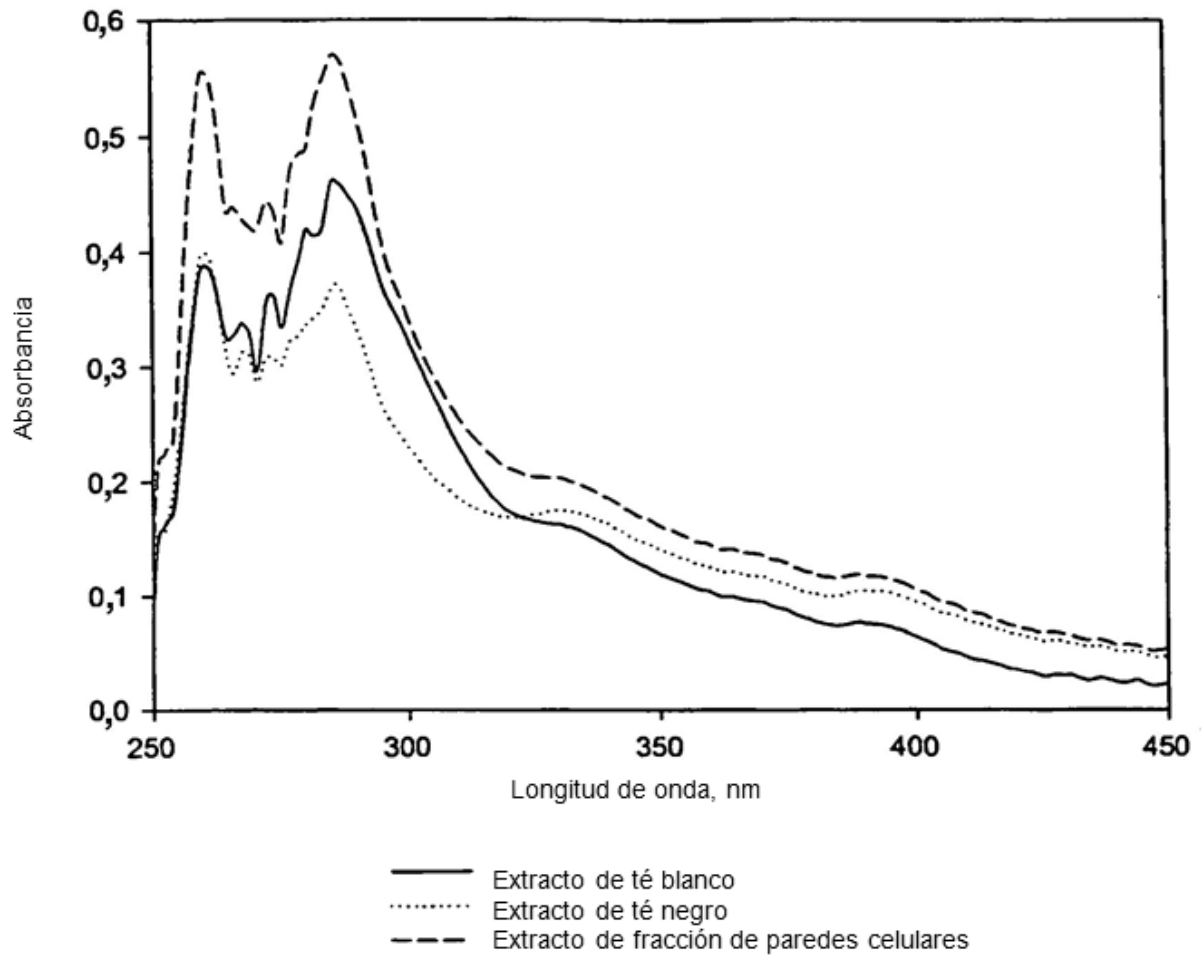


Figura 4

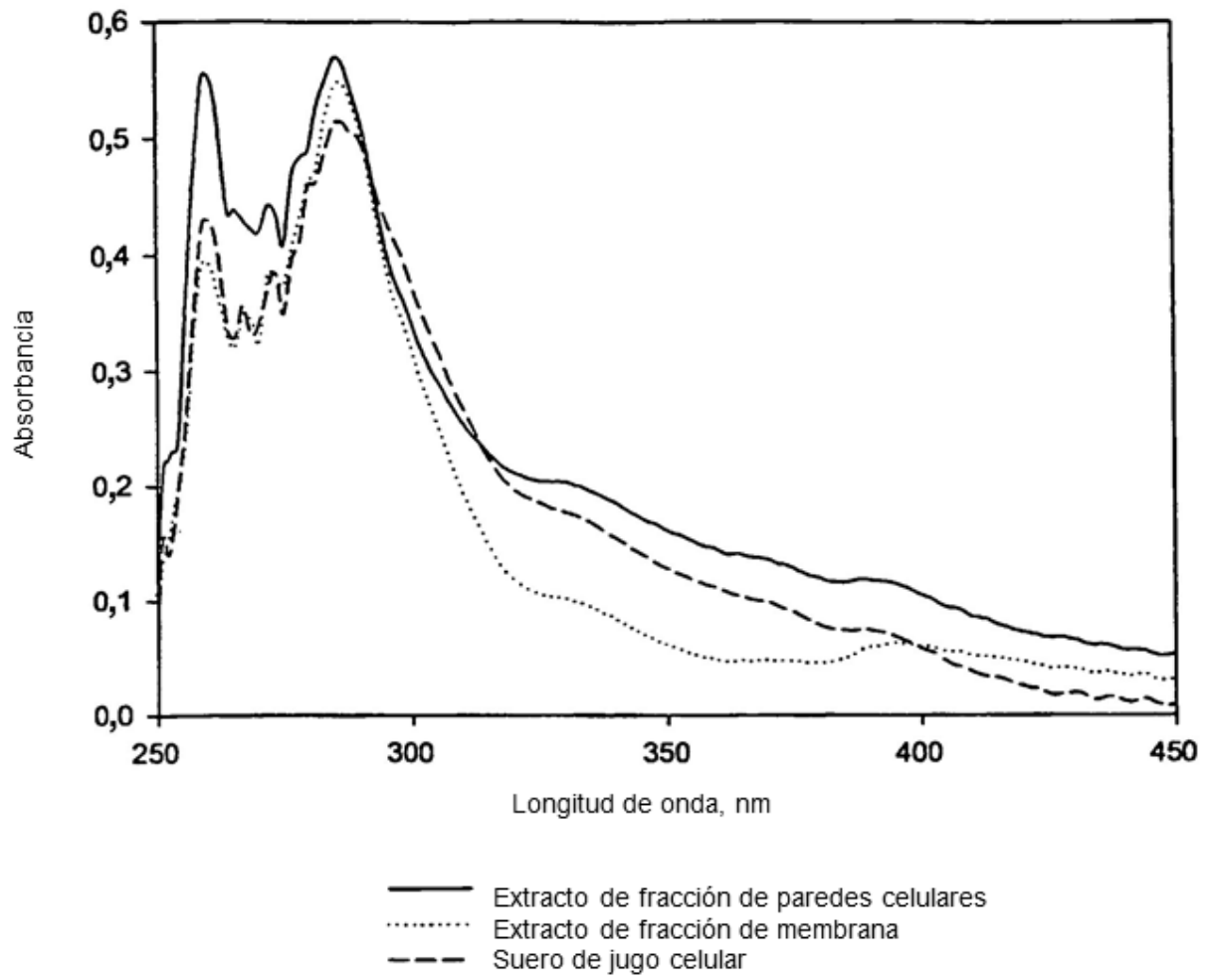


Figura 5

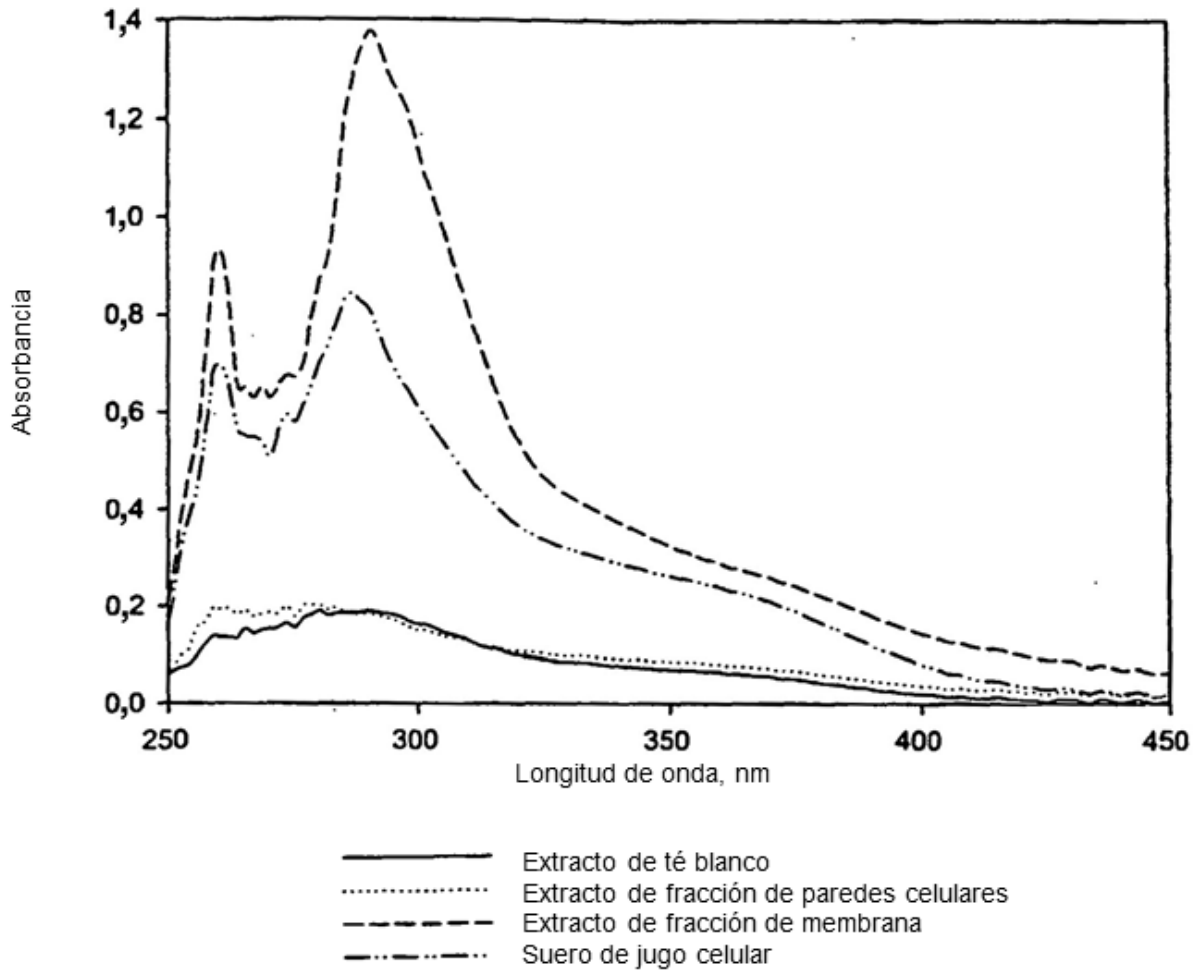


Figura 6

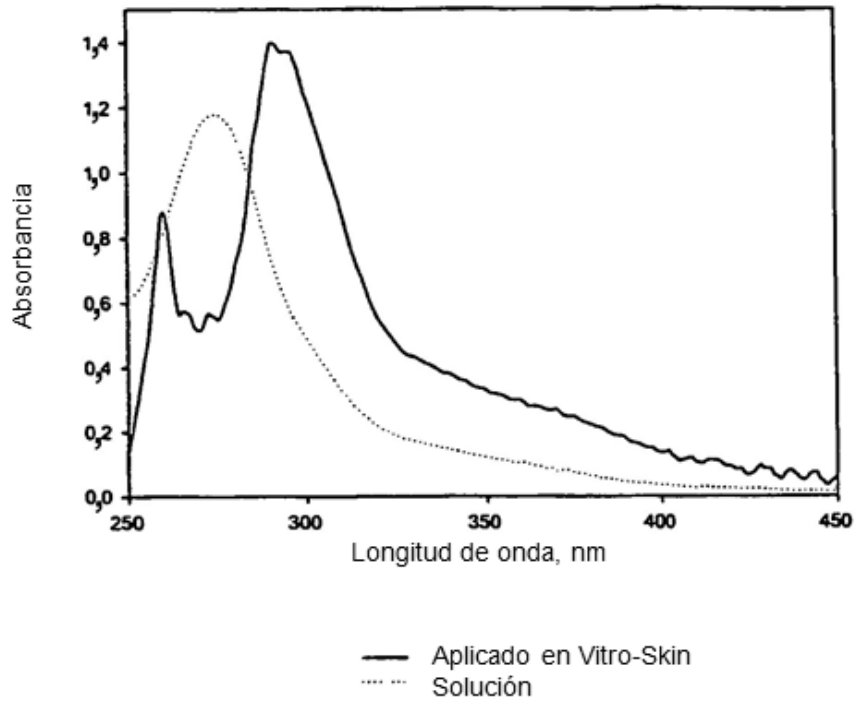


Figura 7A

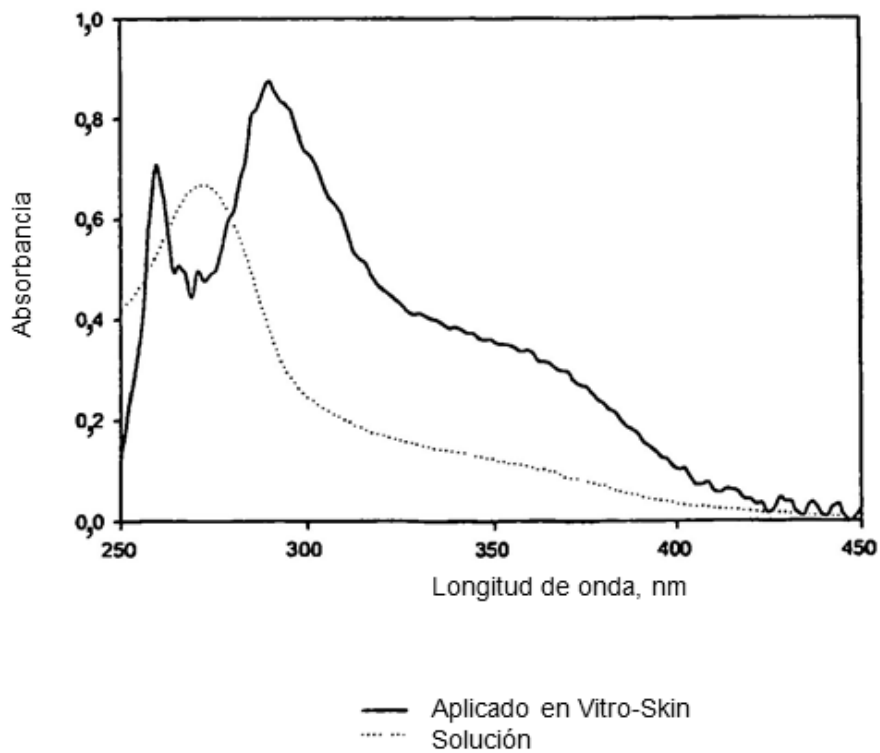


Figura 7B

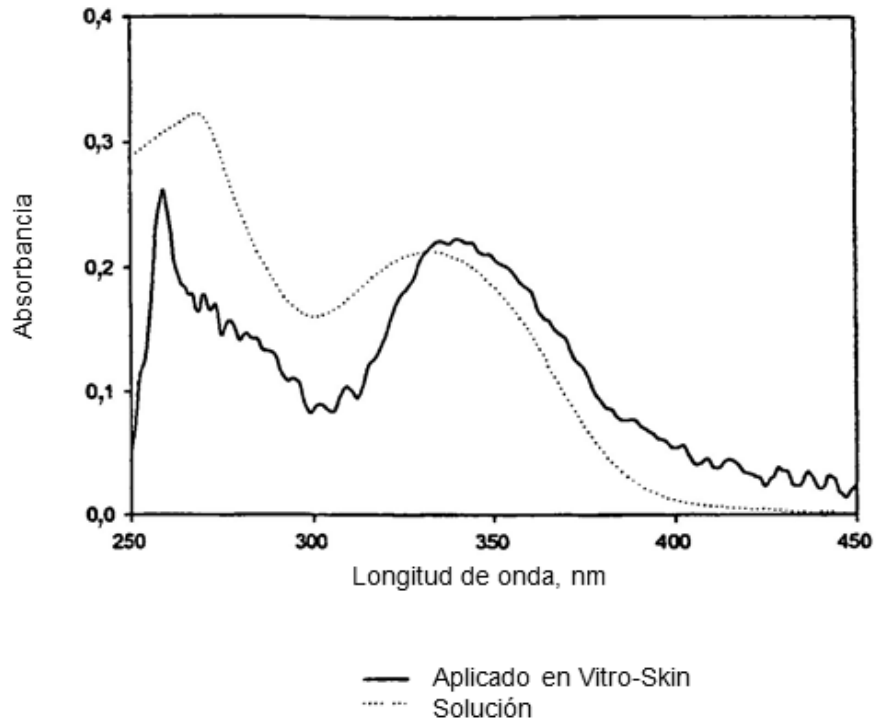


Figura 8A

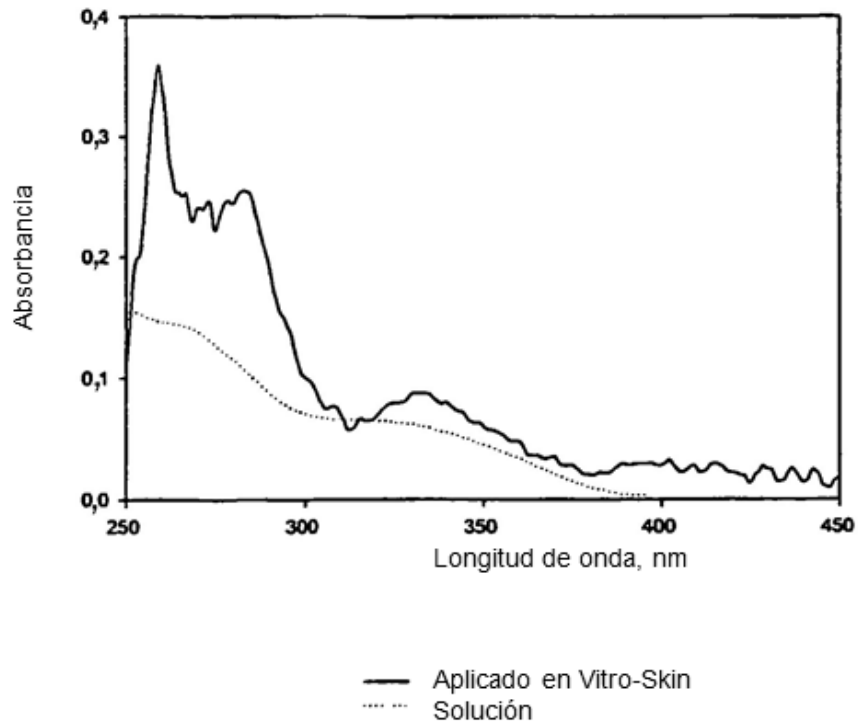


Figura 8B

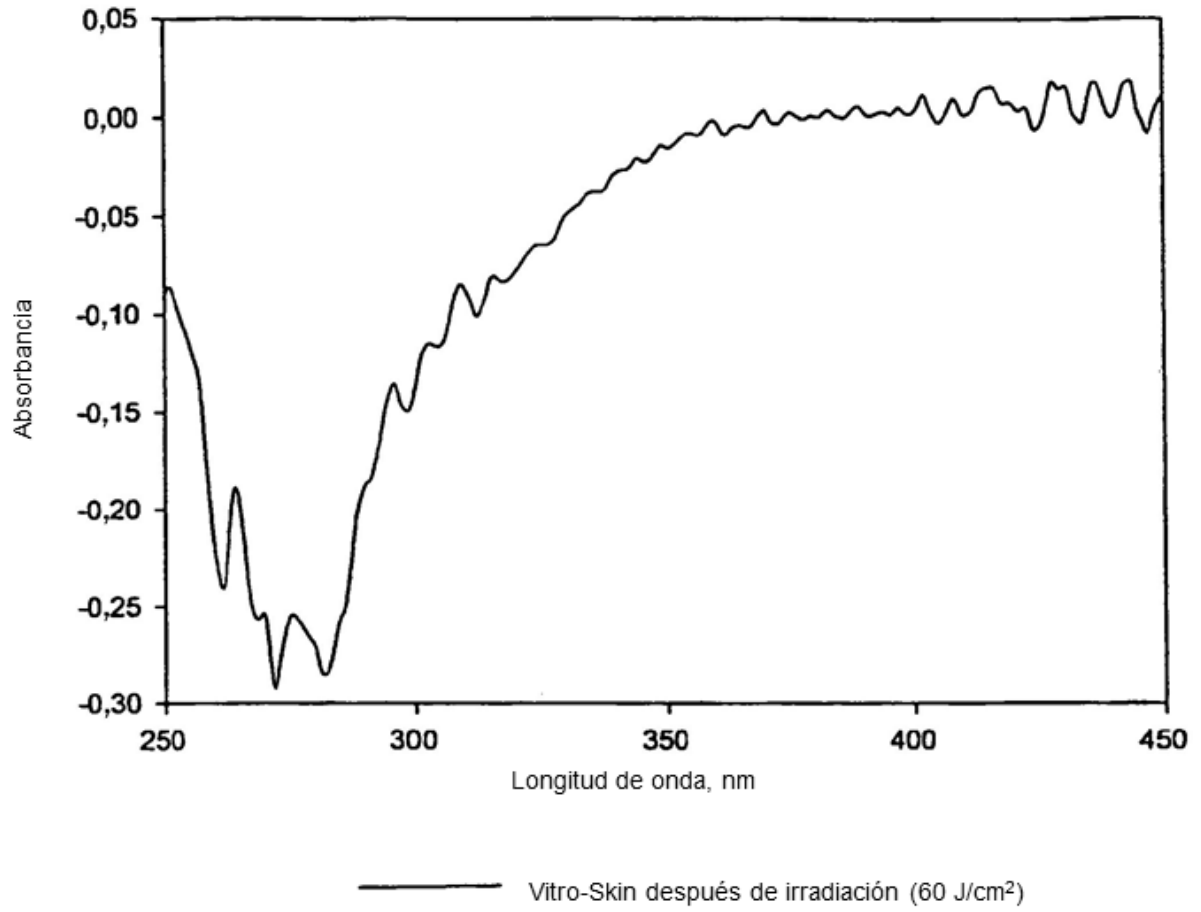


Figura 9

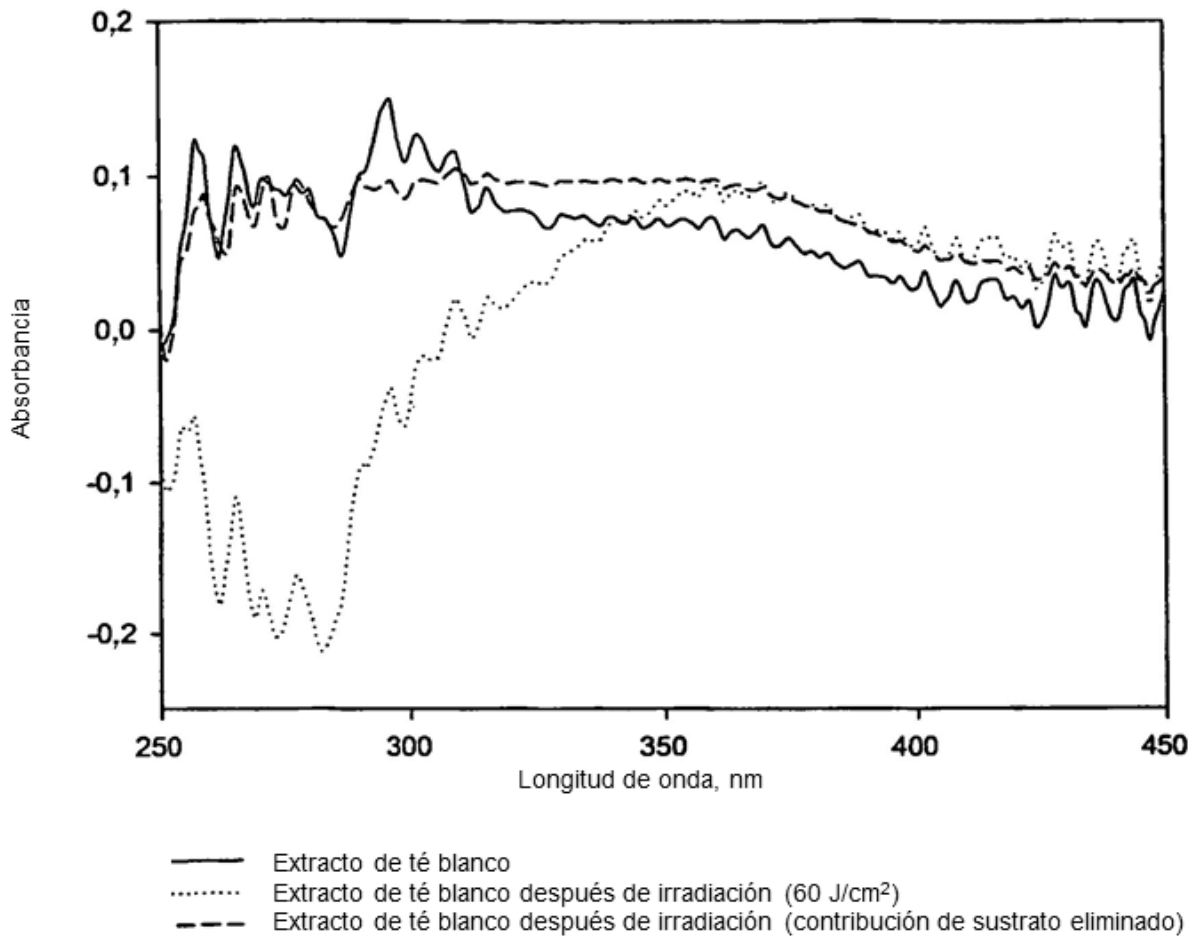


Figura 10

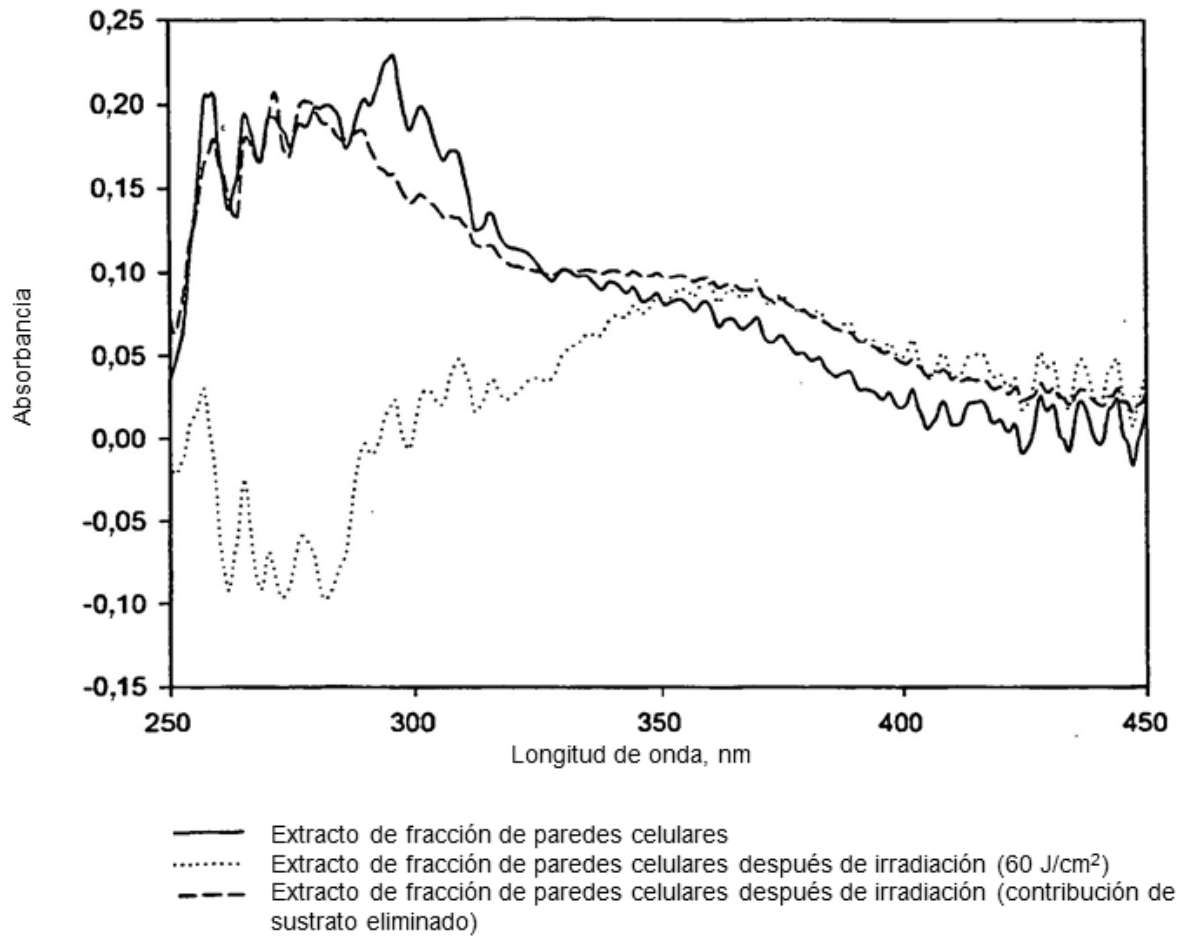


Figura 11

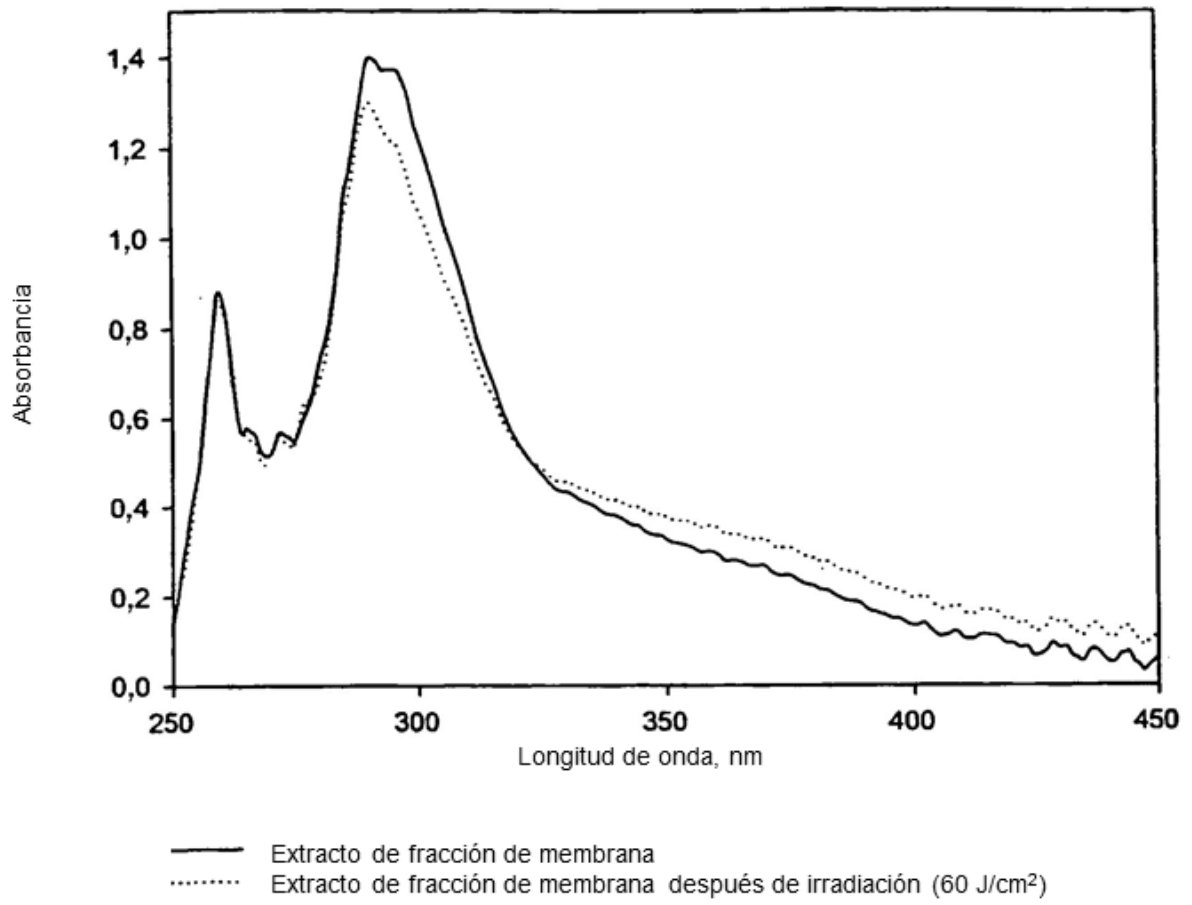


Figura 12

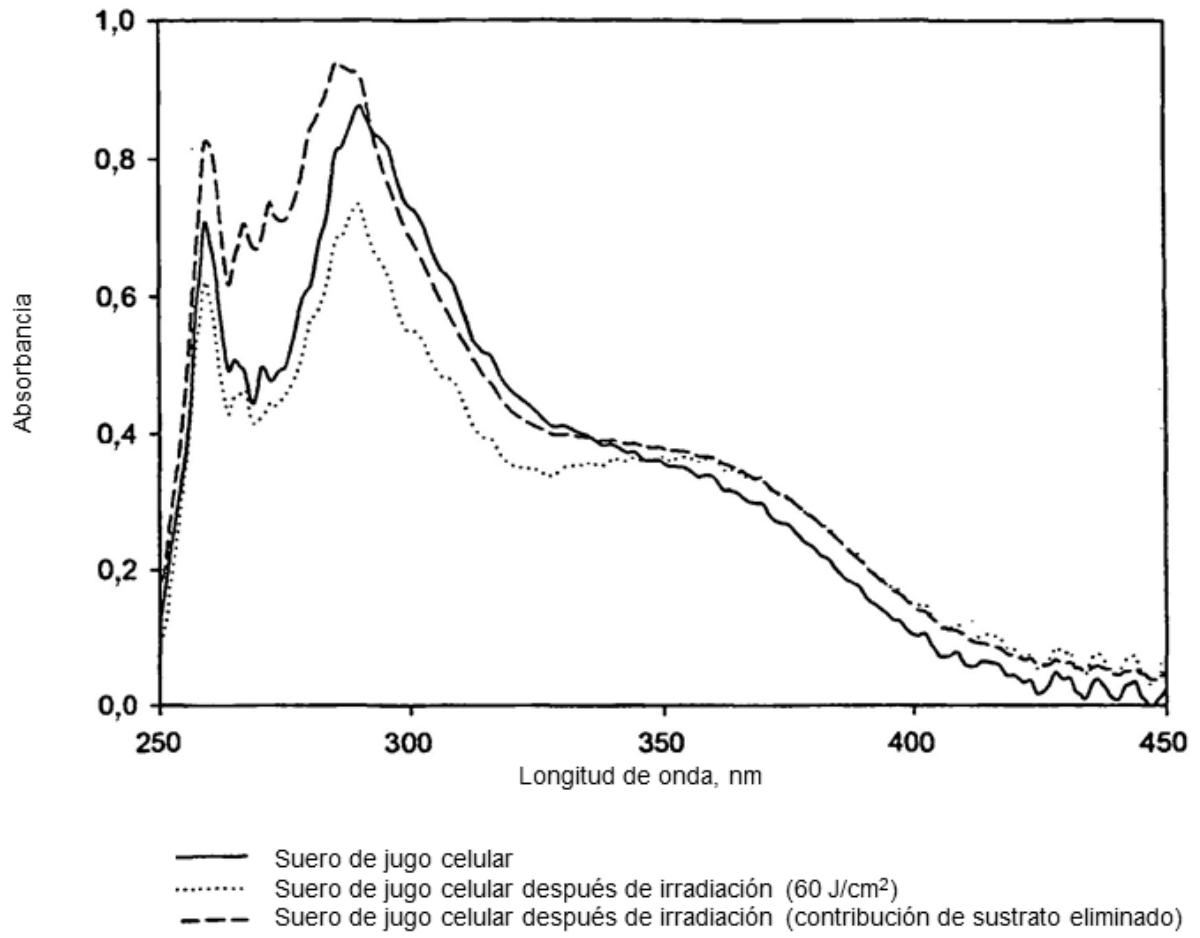


Figura 13

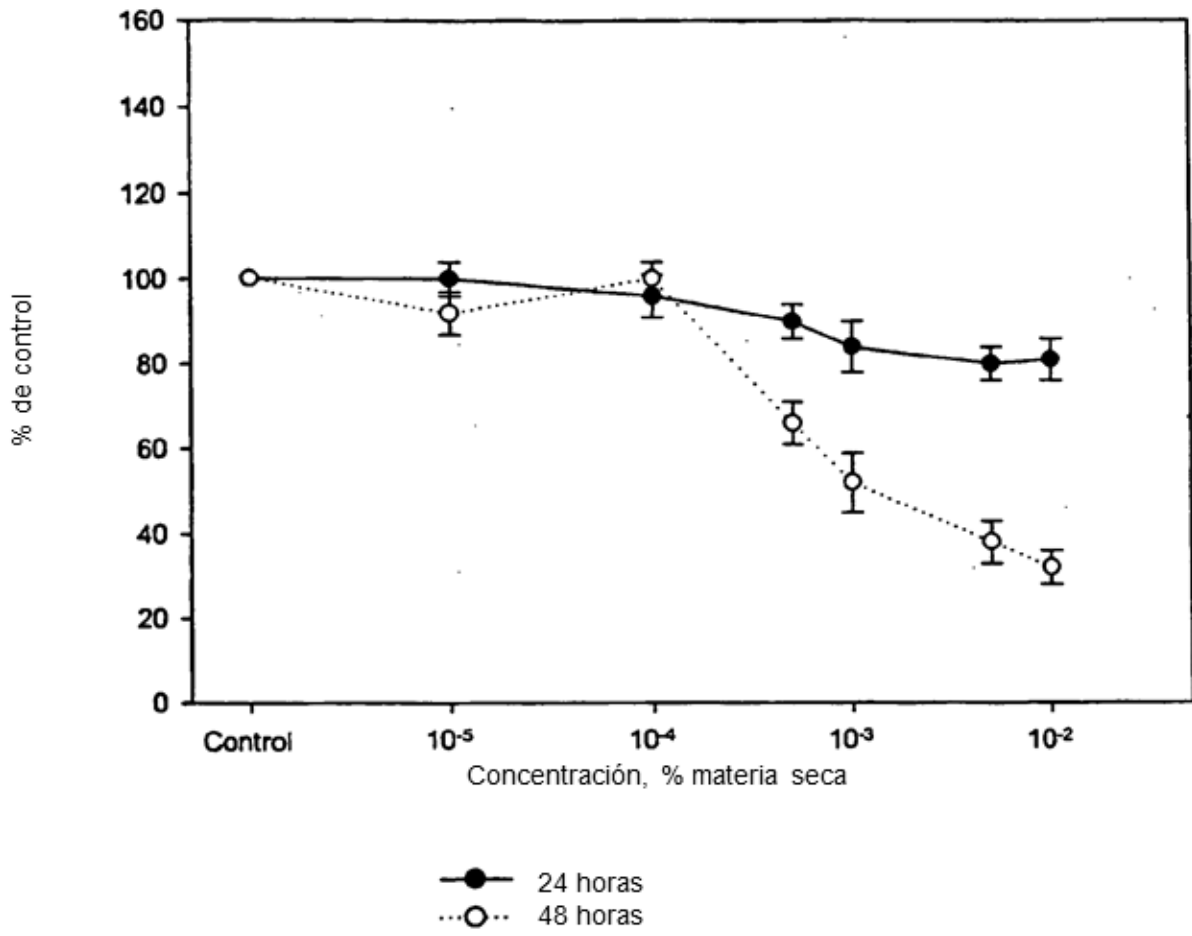


Figura 14

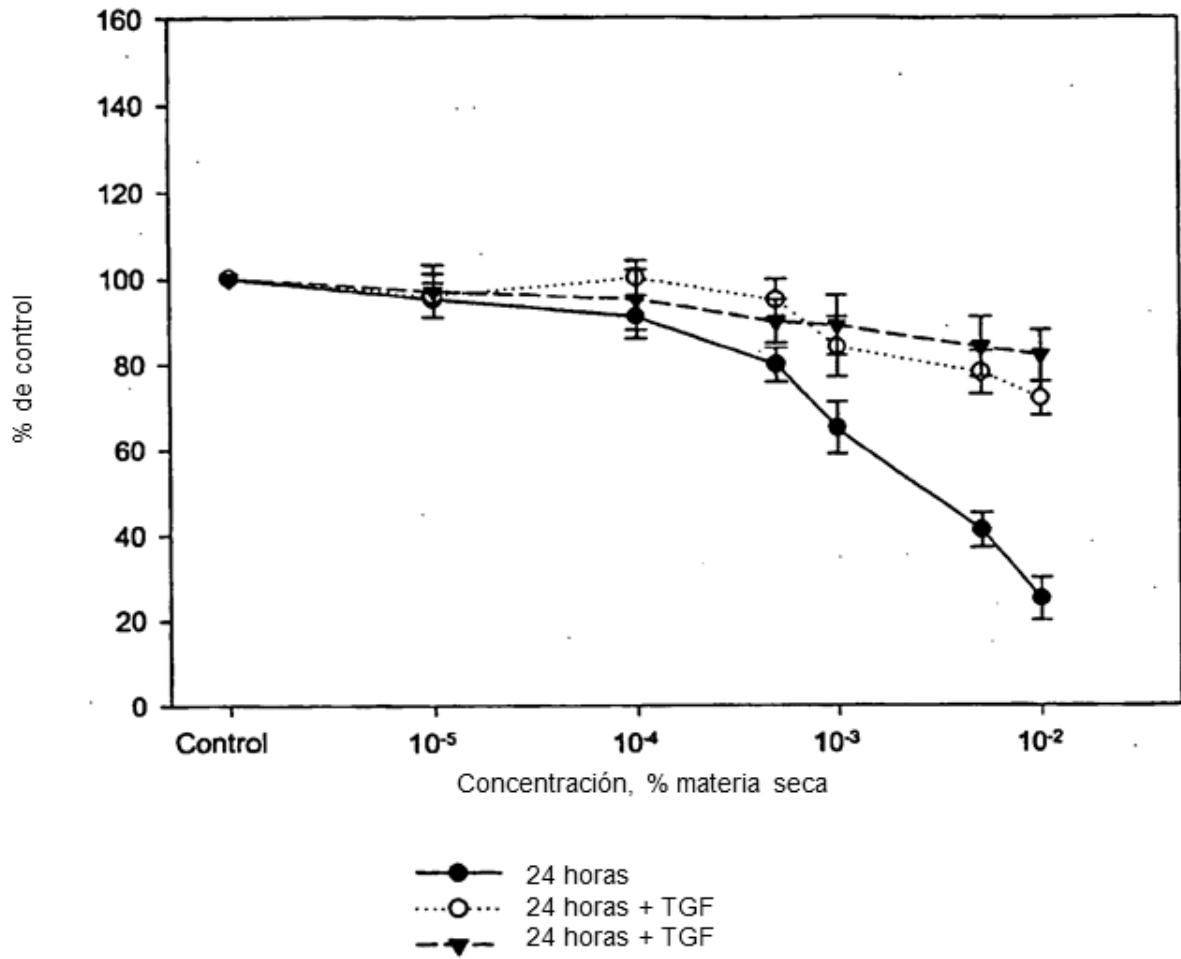


Figura 15

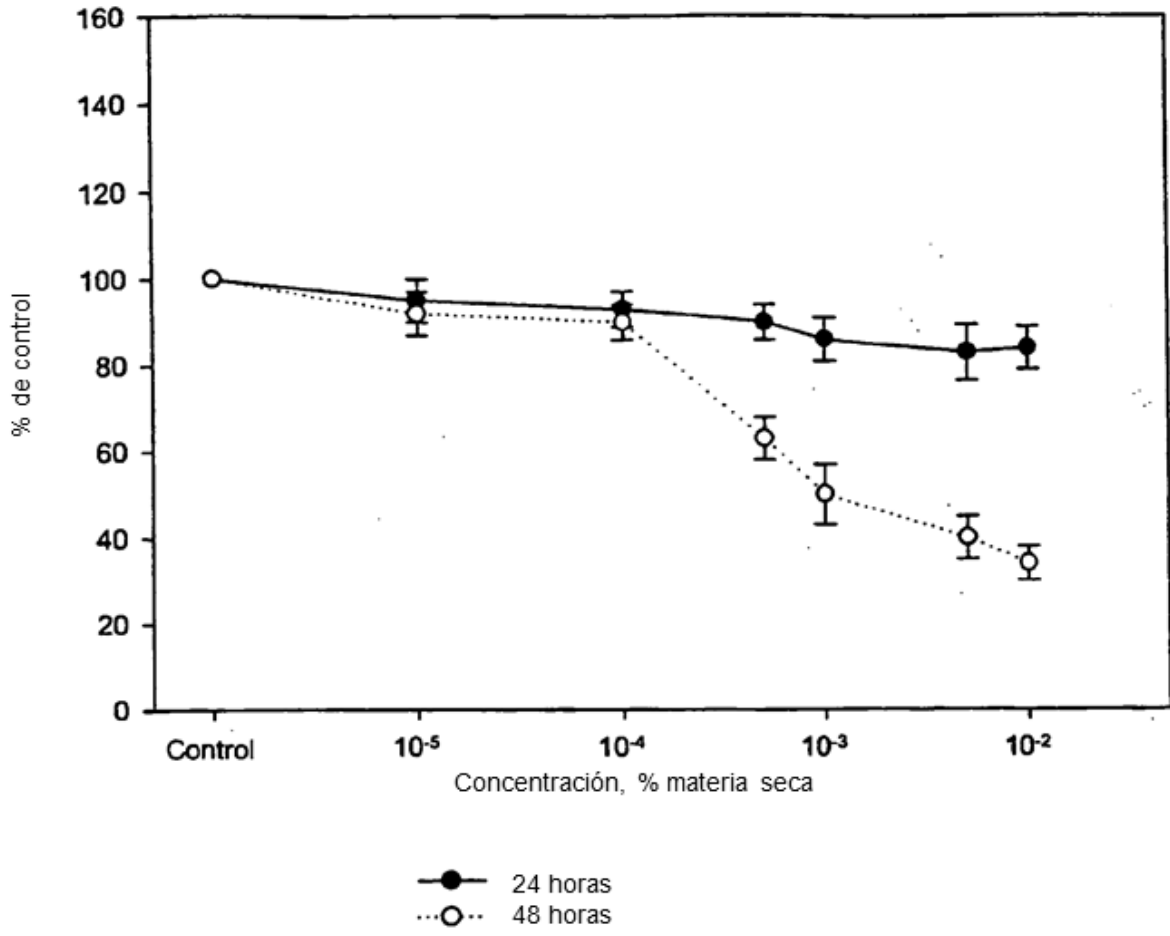


Figura 16

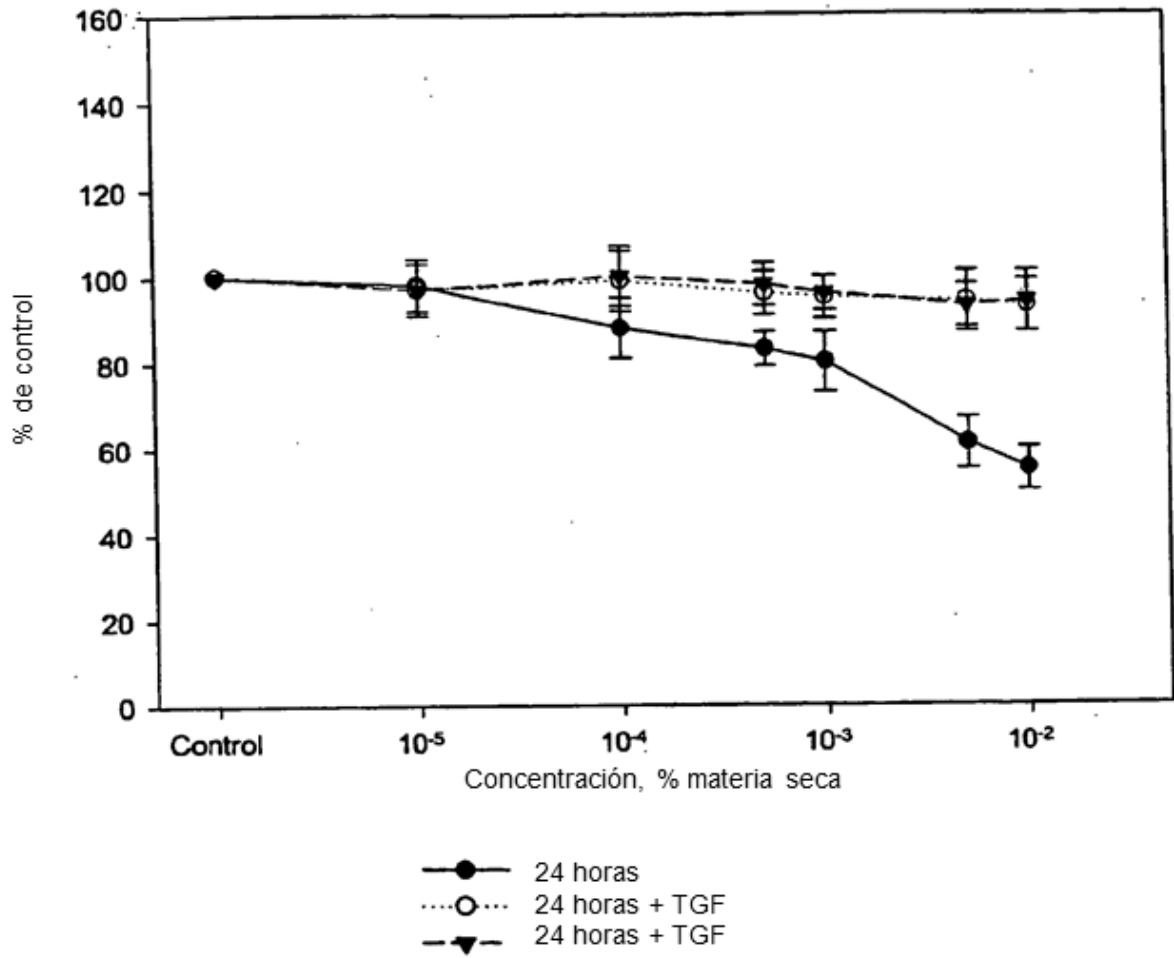


Figura 17

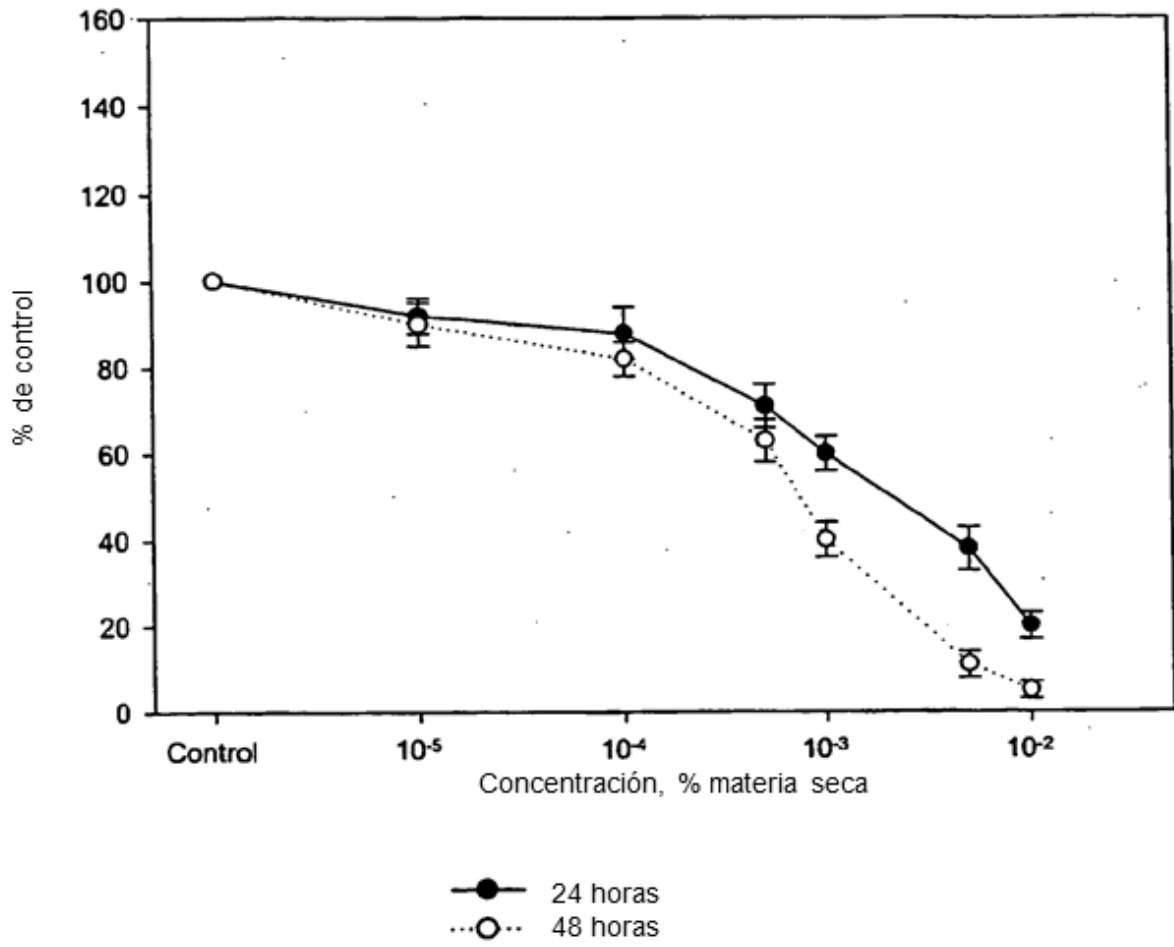


Figura 18

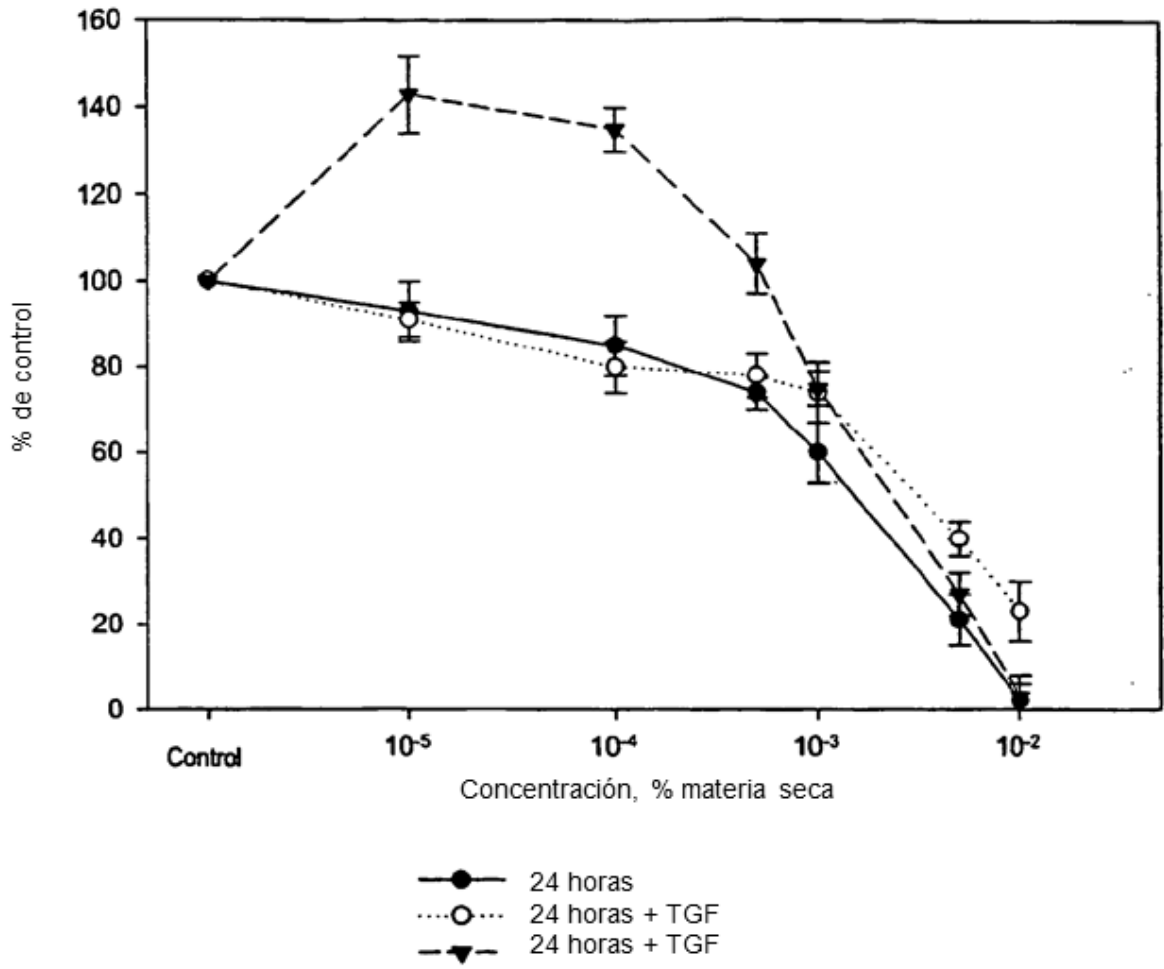


Figura 19

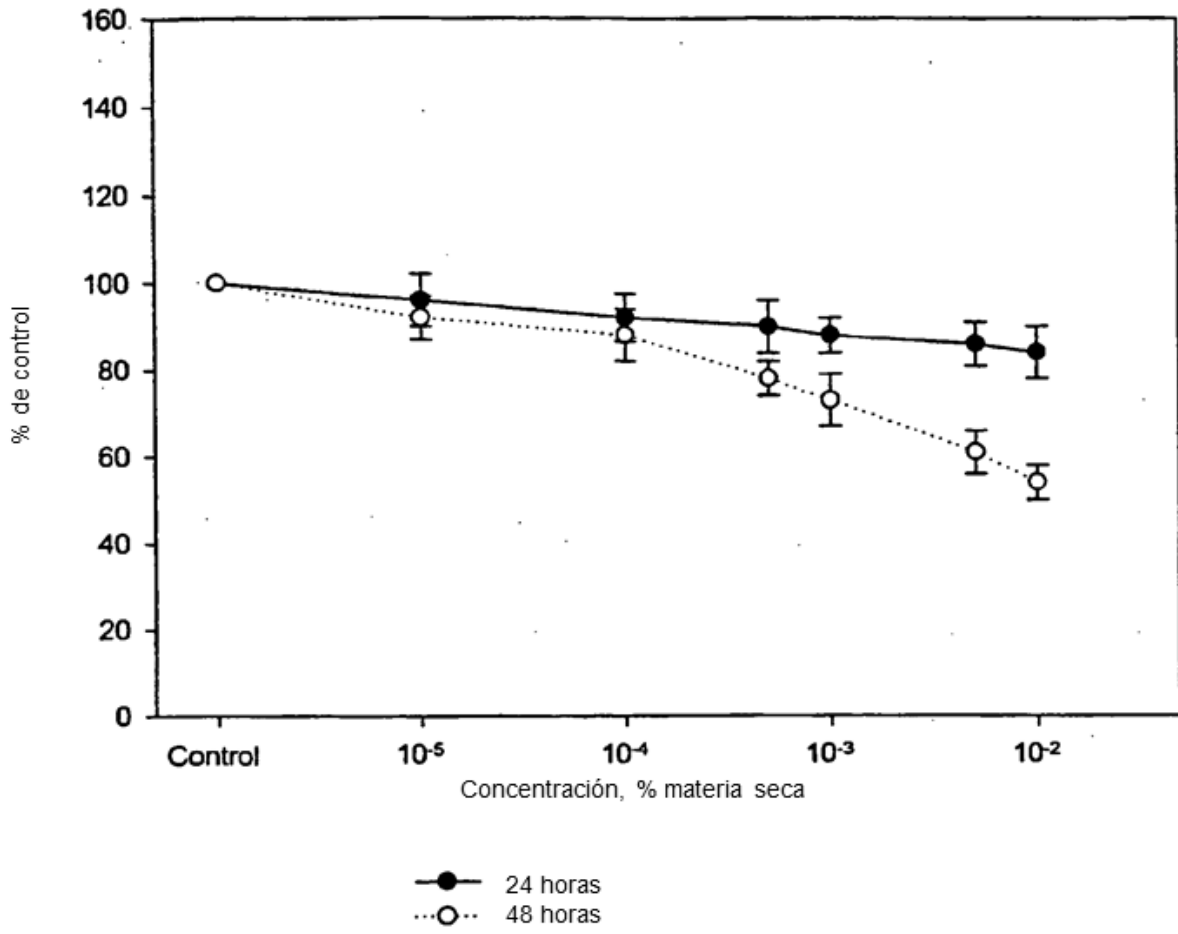


Figura 20

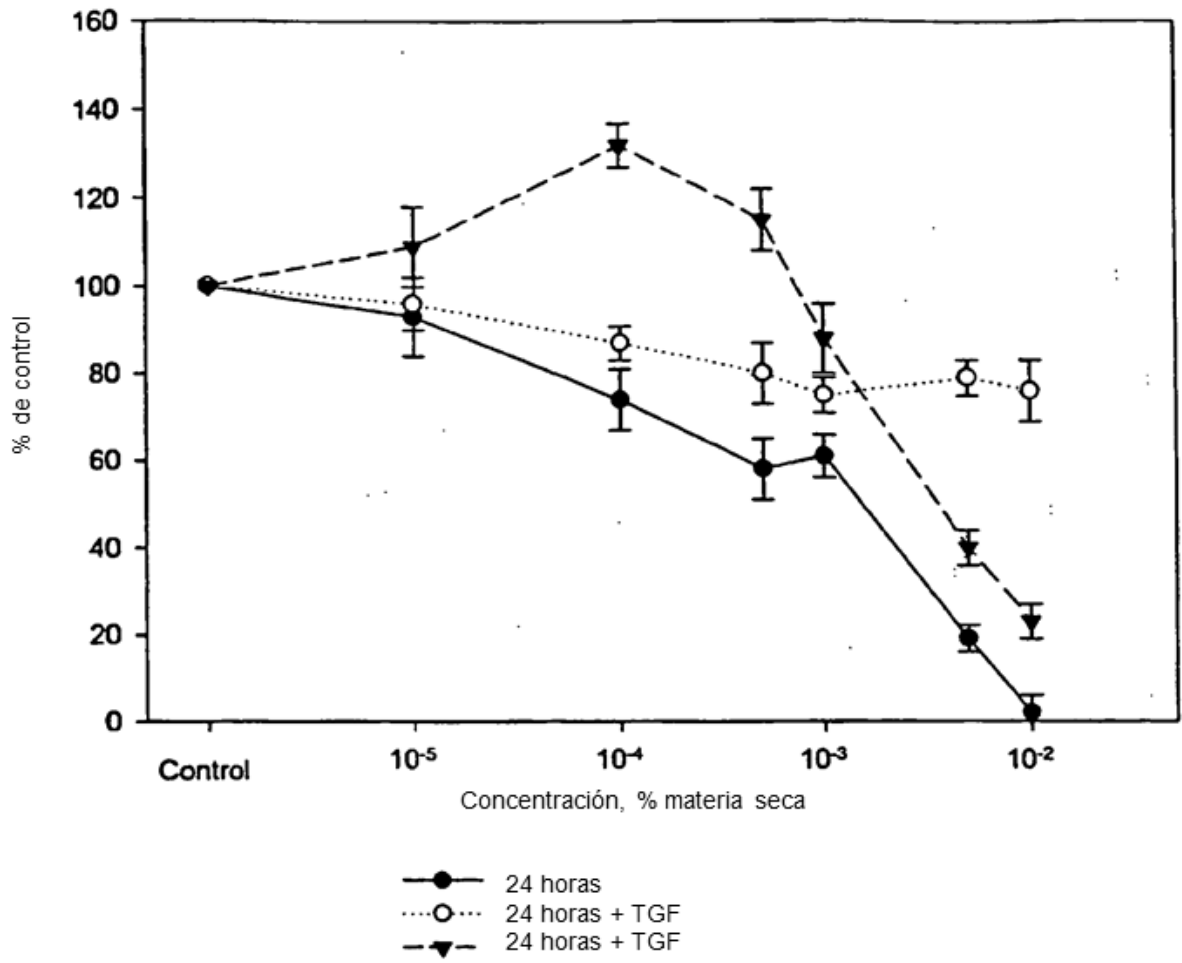


Figura 21

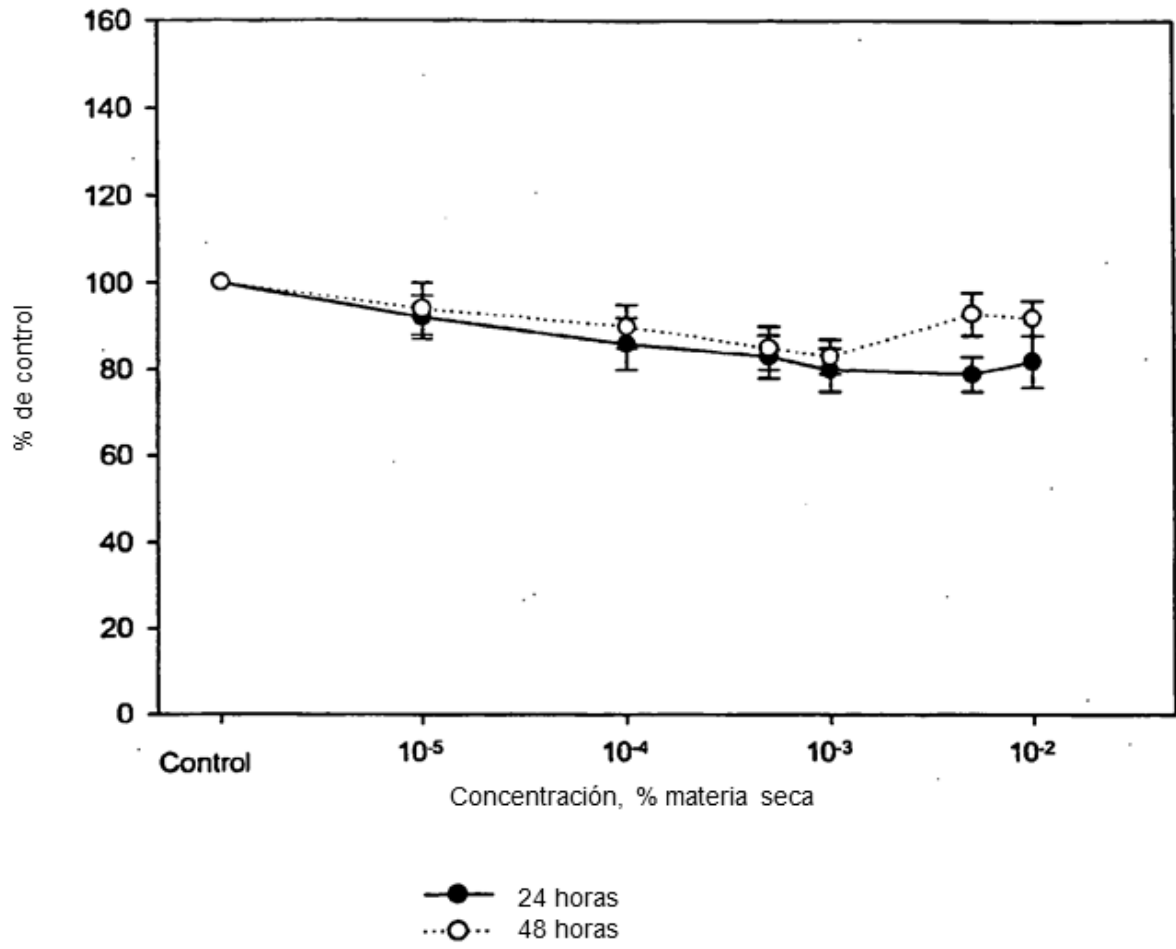


Figura 22

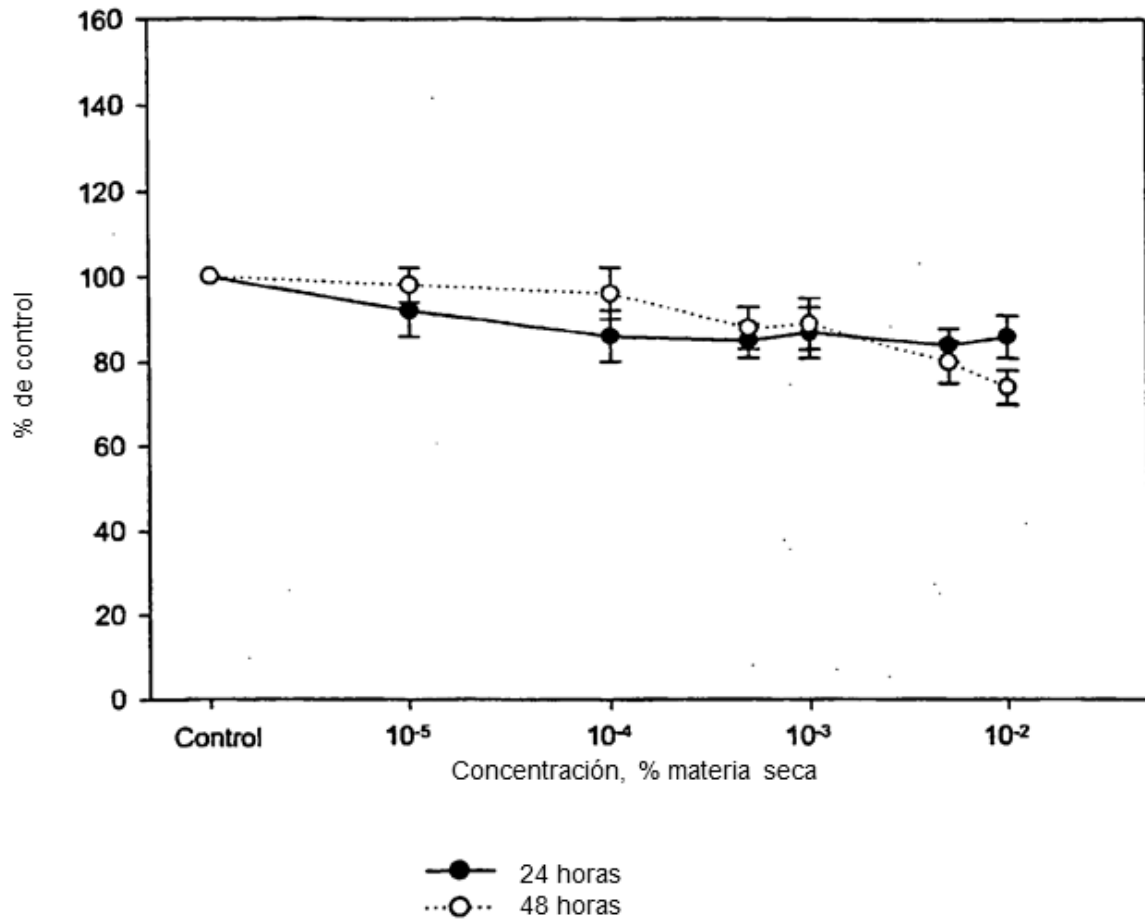


Figura 23

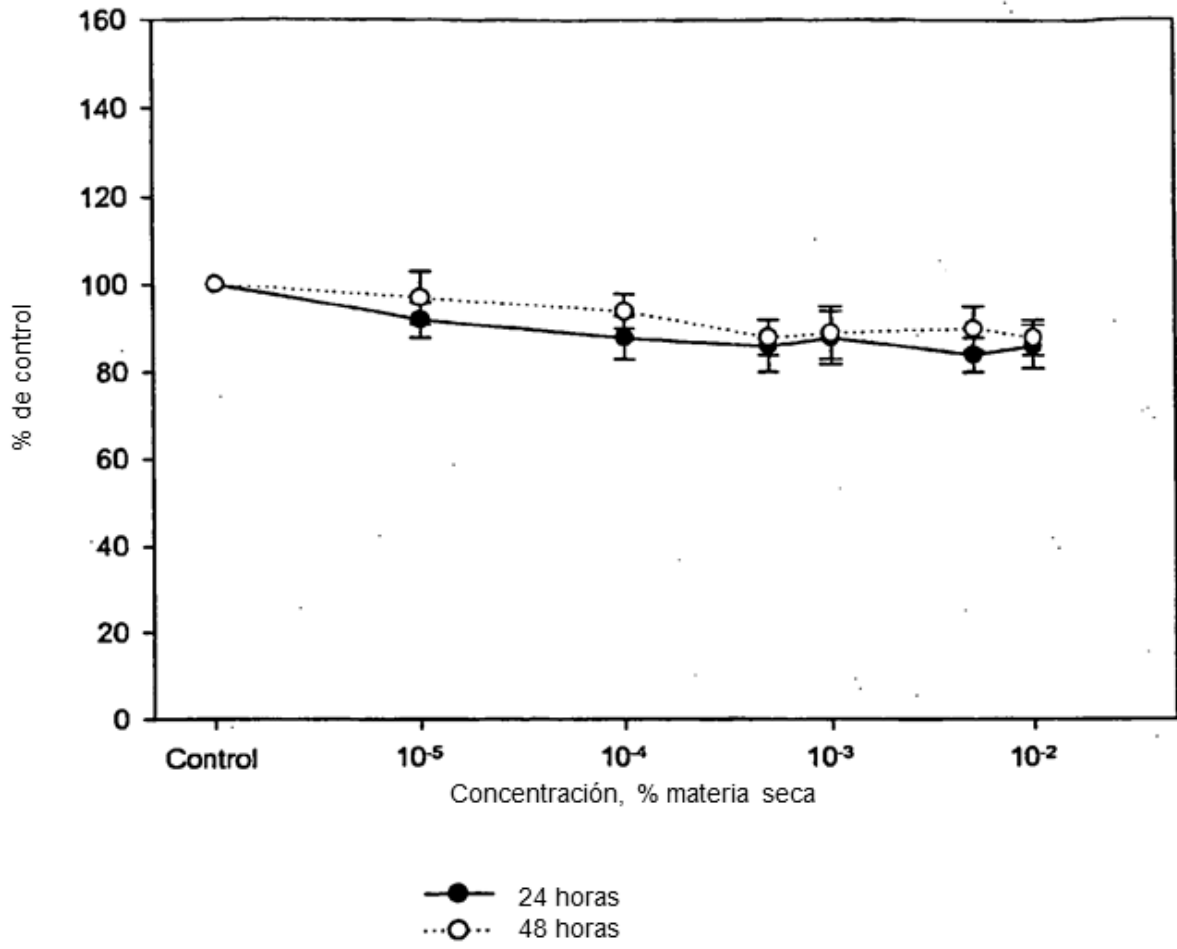


Figura 24

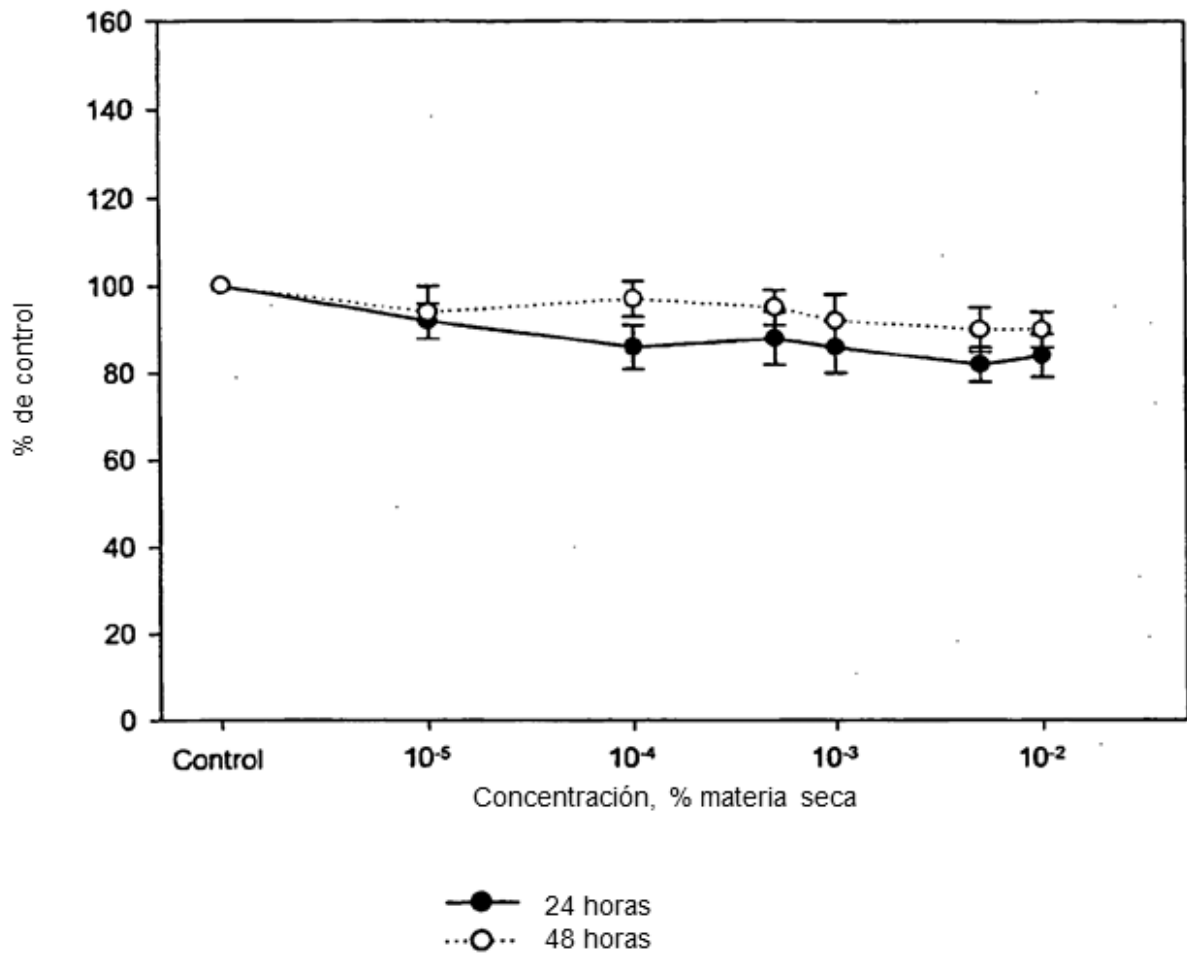


Figura 25

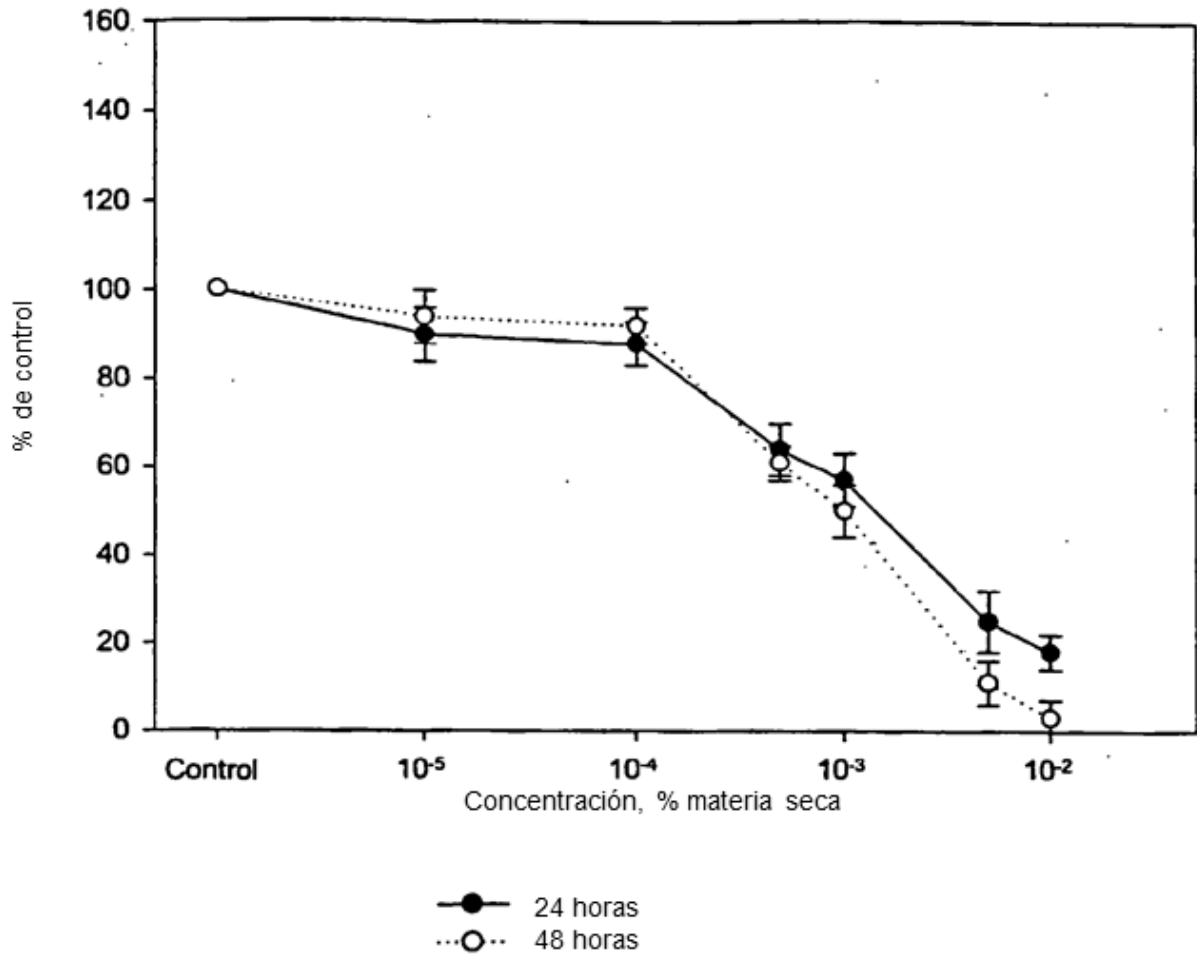


Figura 26

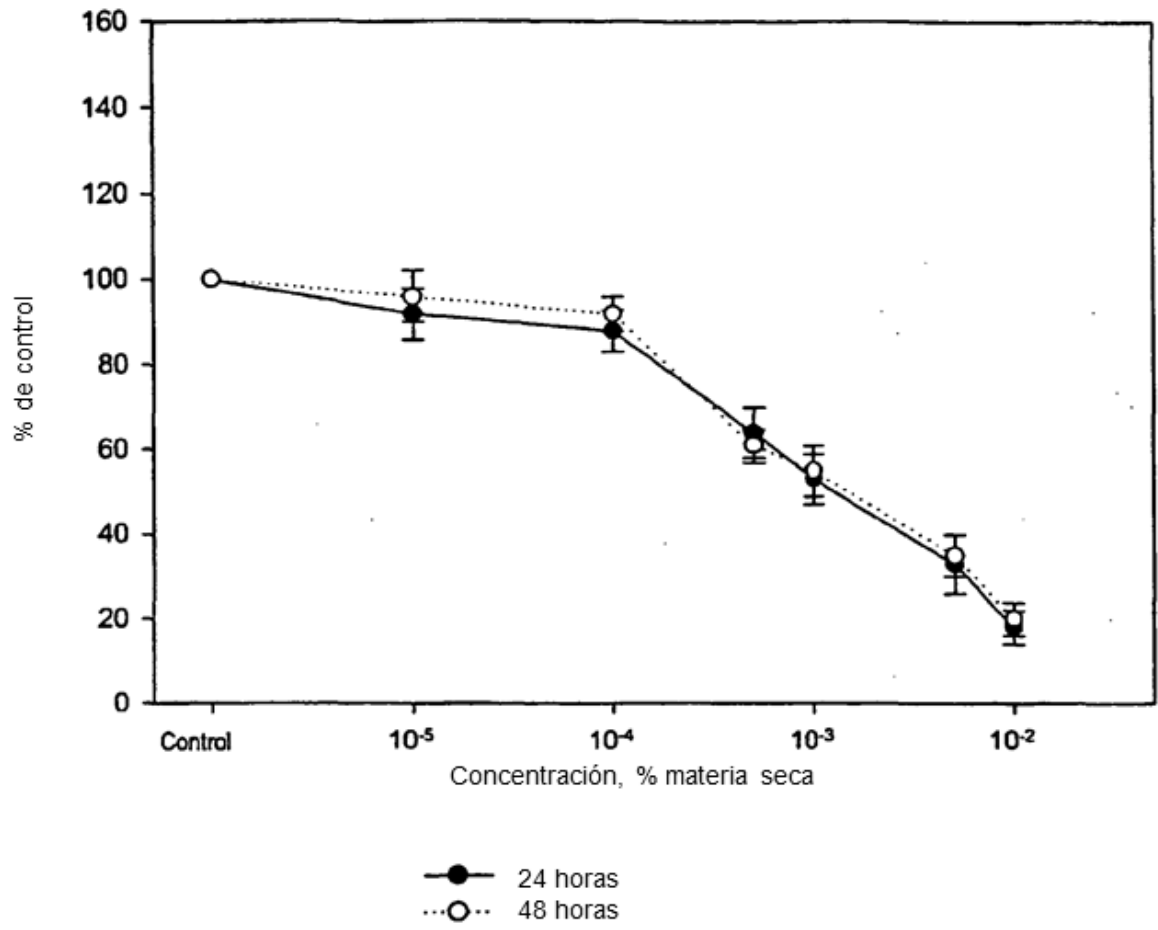


Figura 27

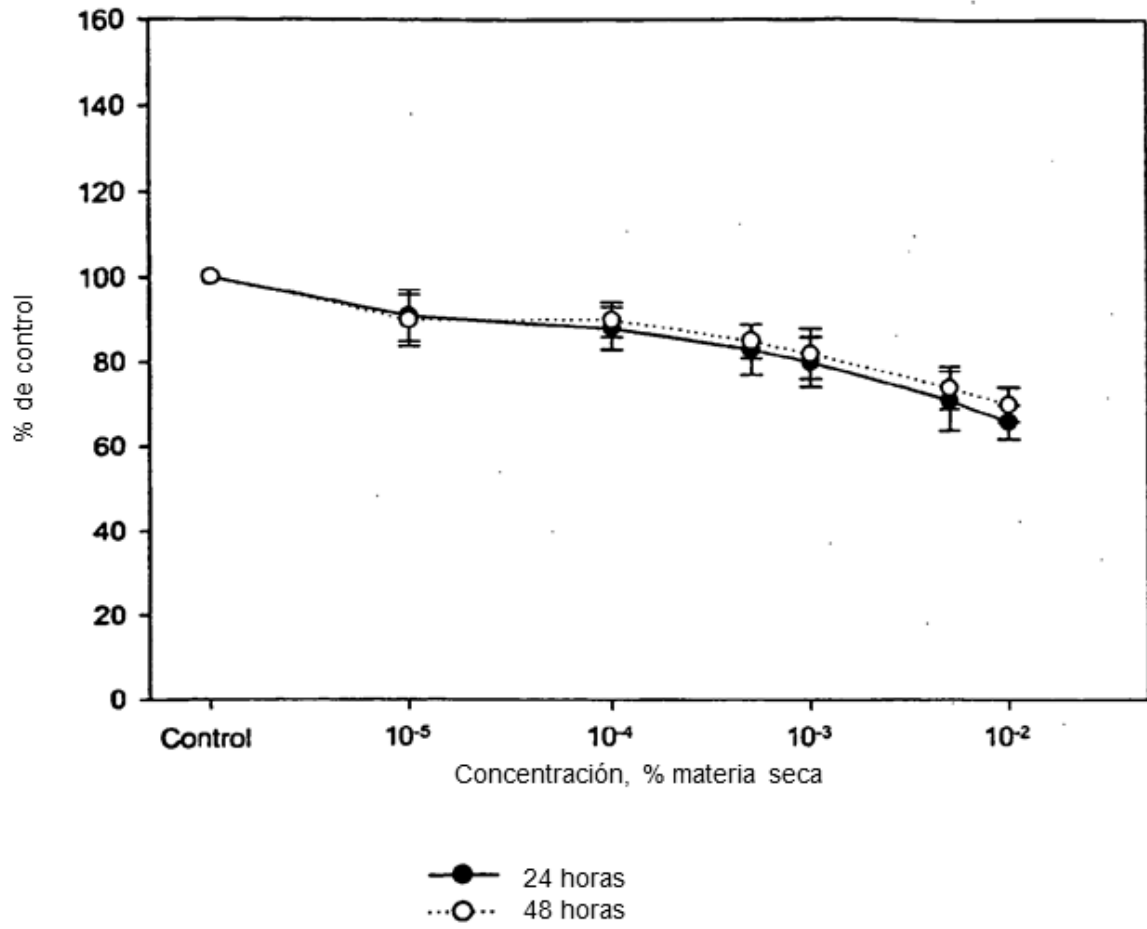


Figura 28

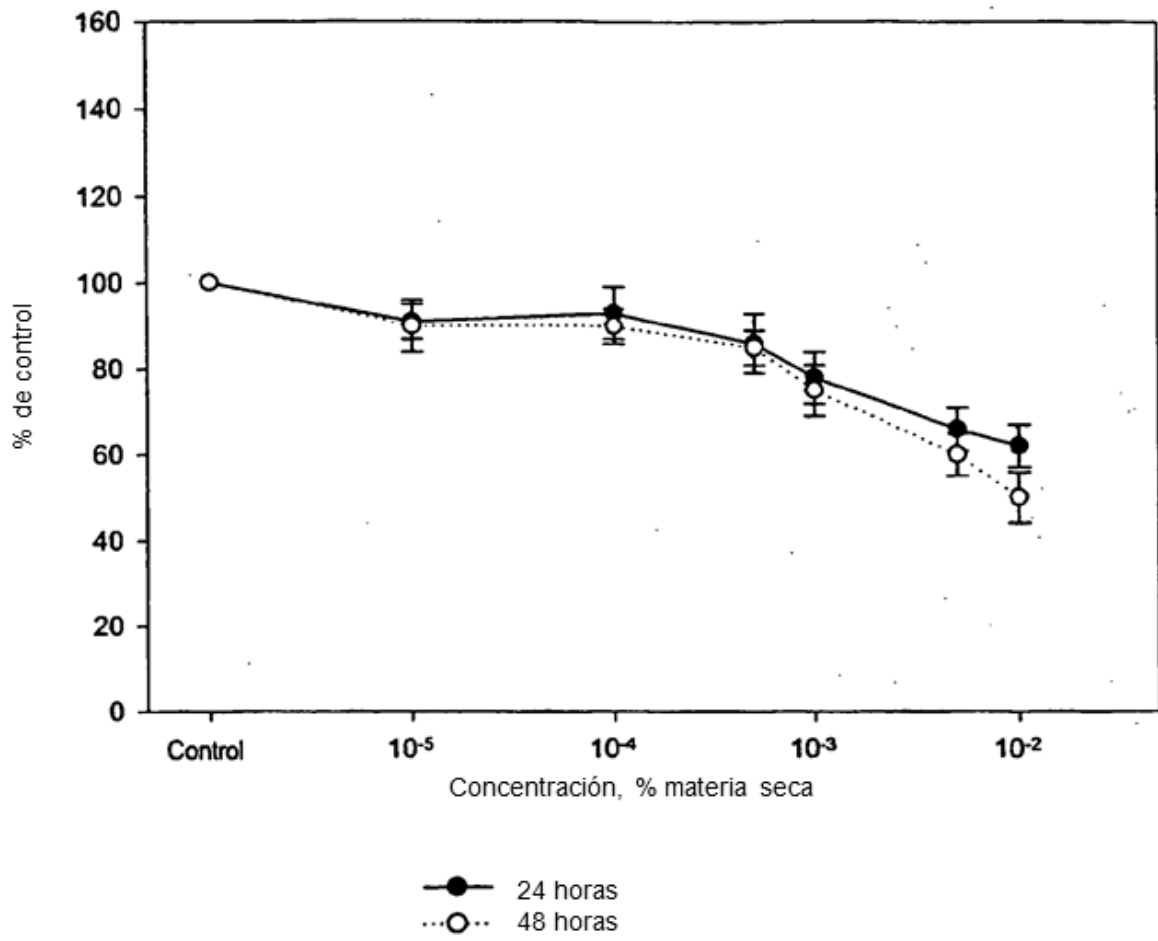


Figura 29

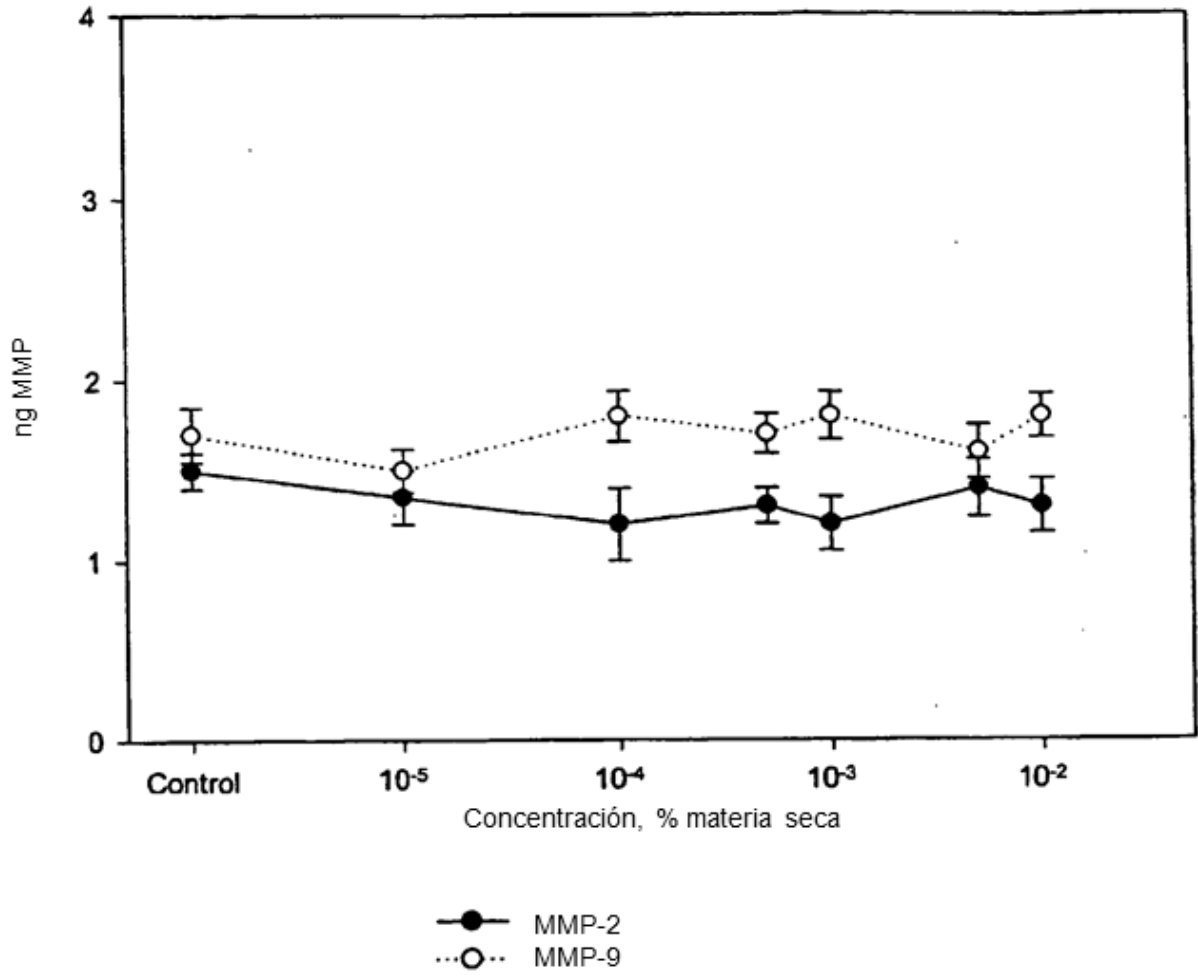


Figura 30

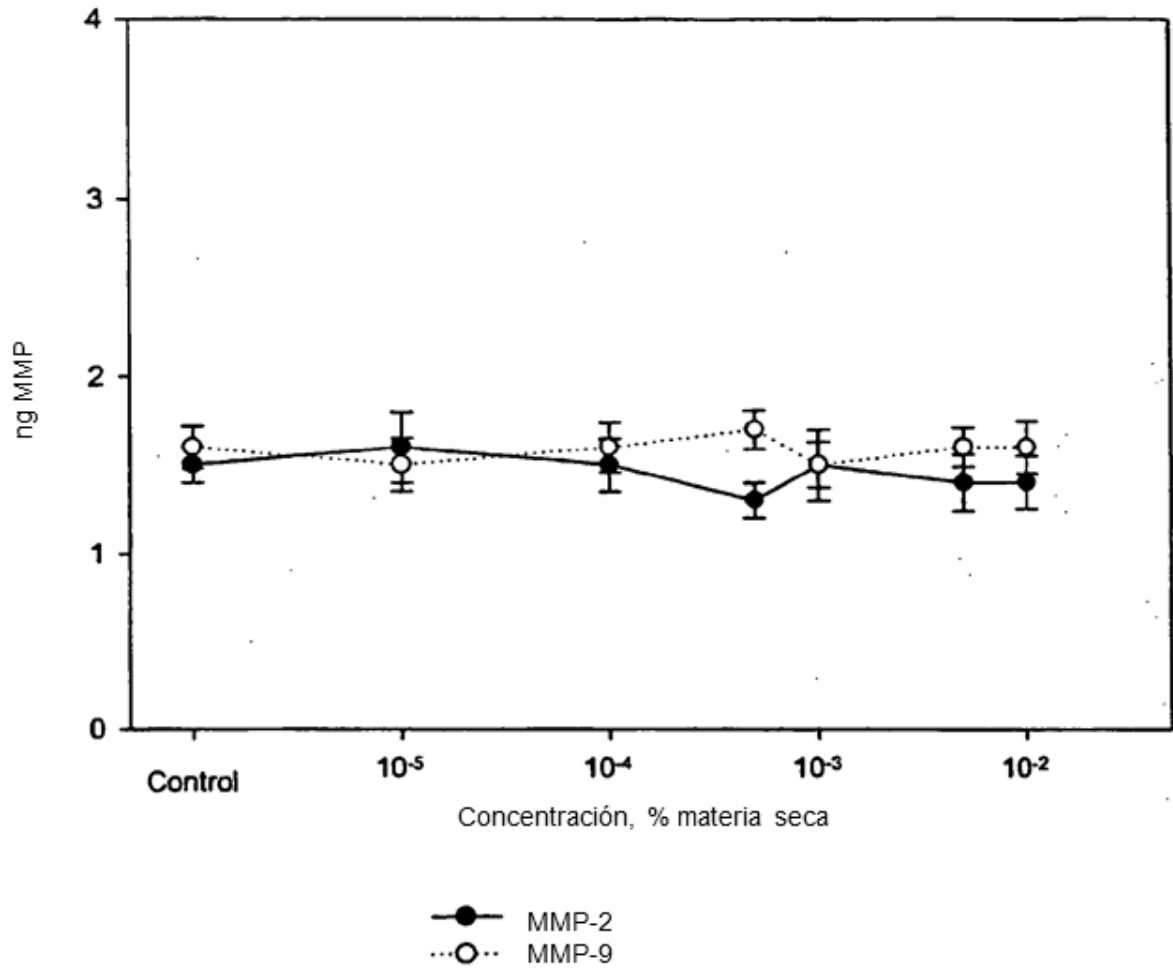


Figura 31

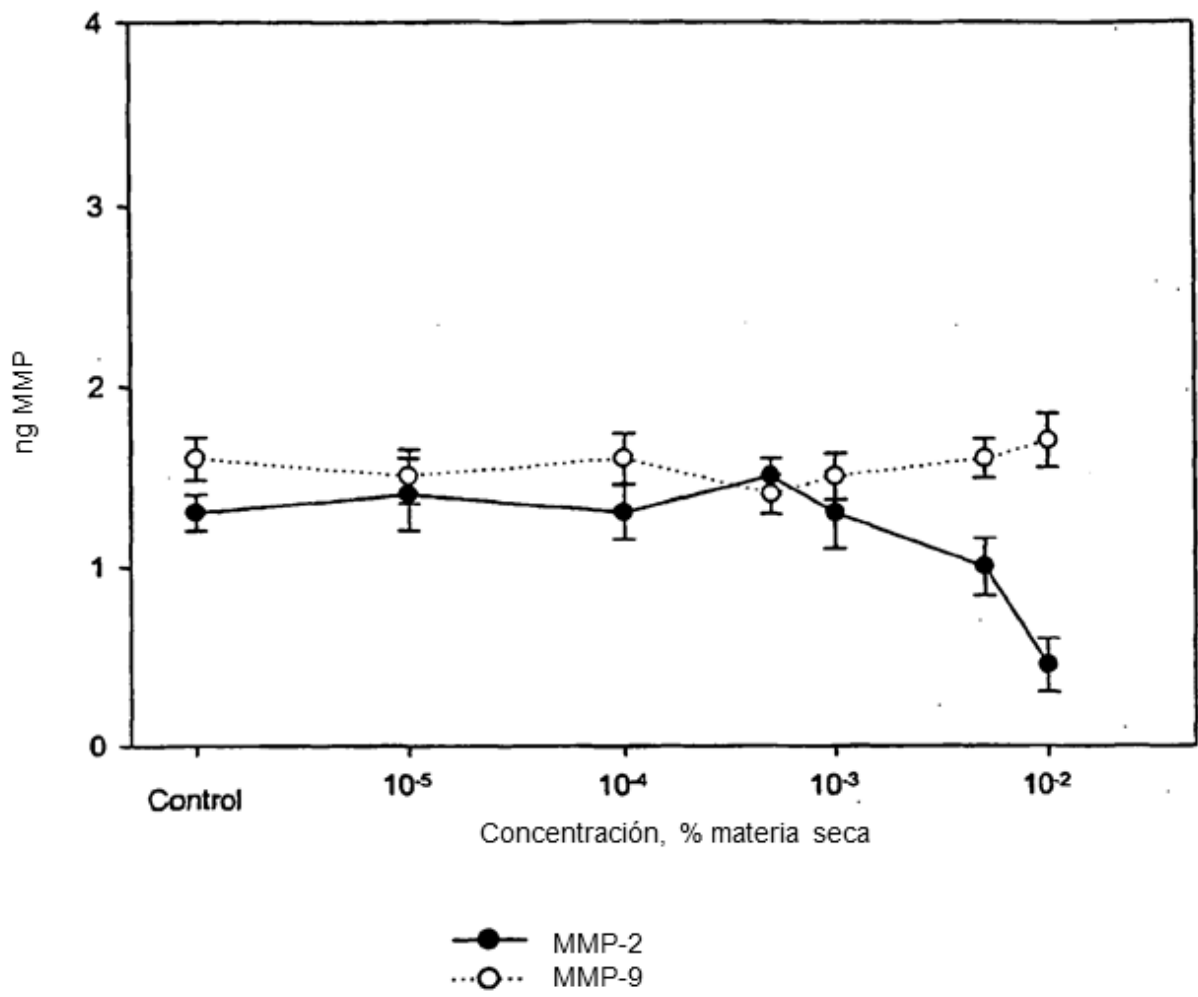


Figura 32

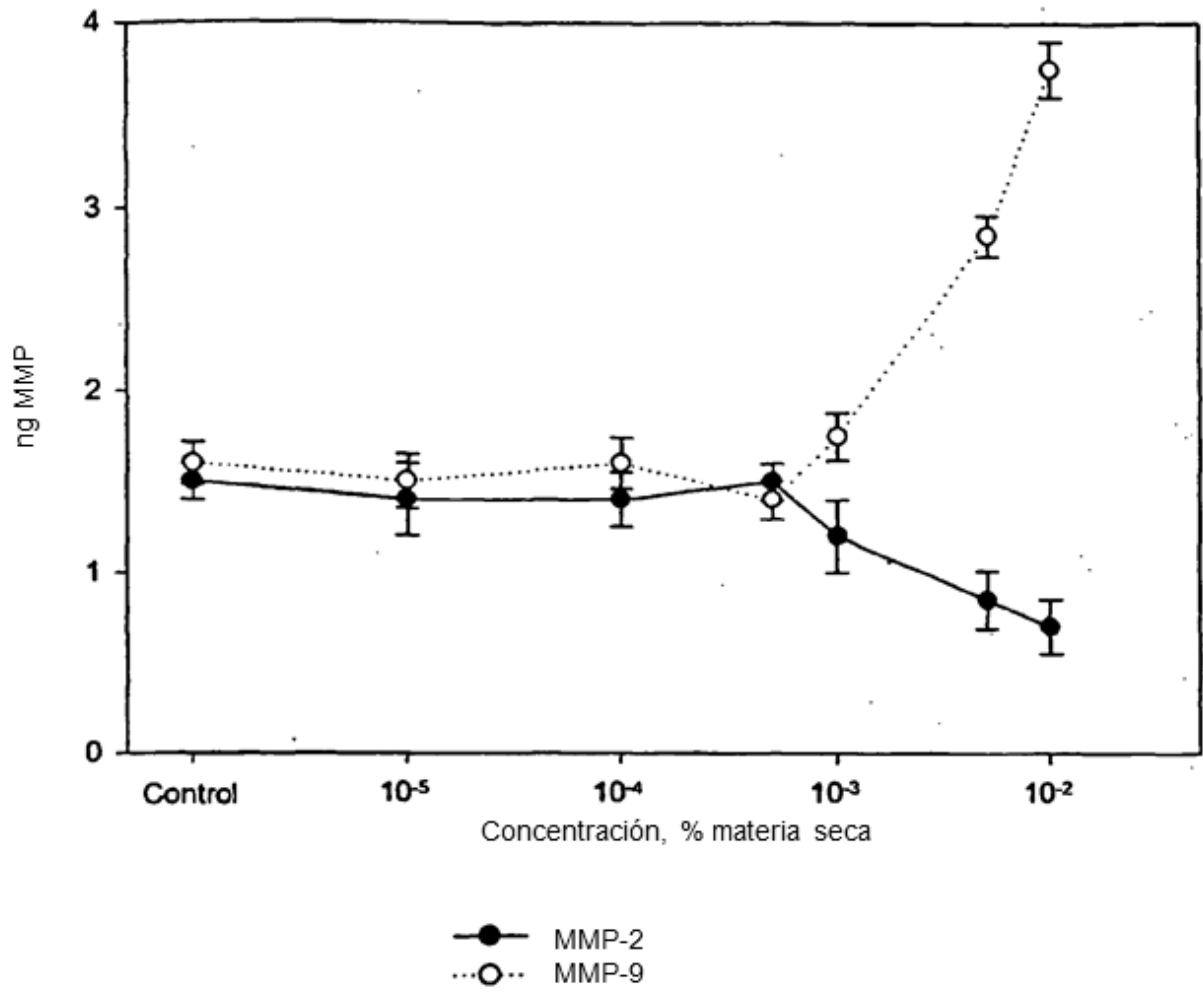


Figura 33

U **S** **1 bajo** **1 alto**



Figura 34

U **S** **2 bajo** **2 alto**



Figura 35

U S 4 bajo est 4 med 4 alto

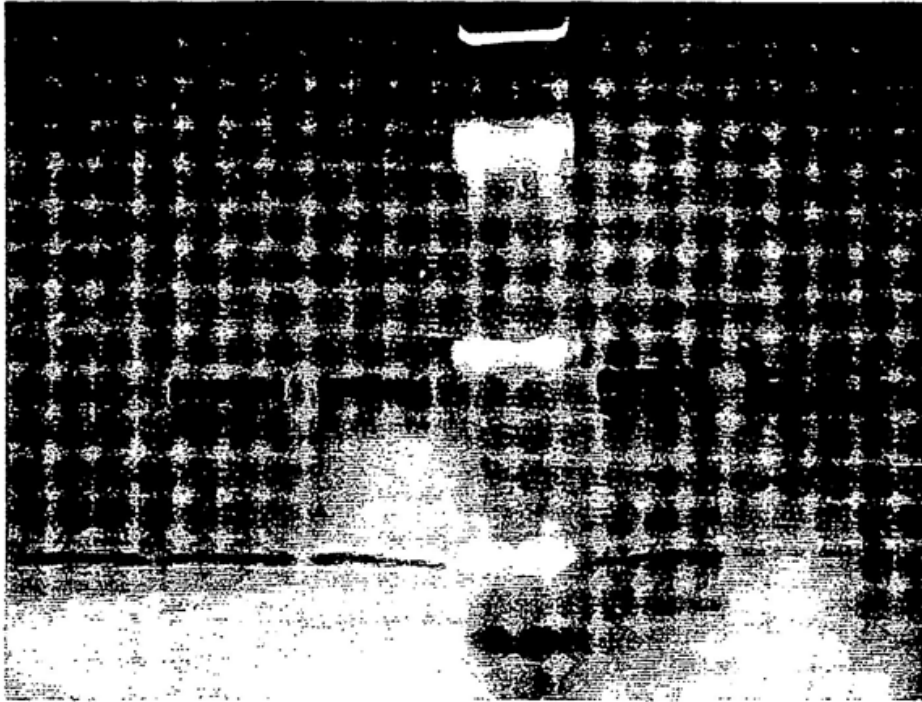


Figura 36

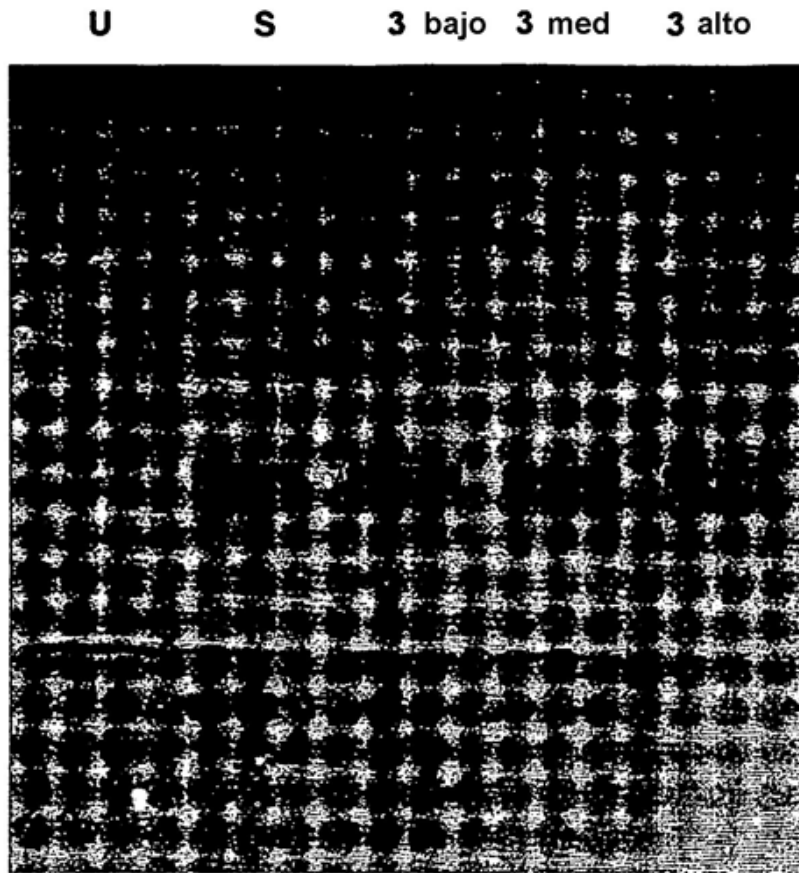


Figura 37

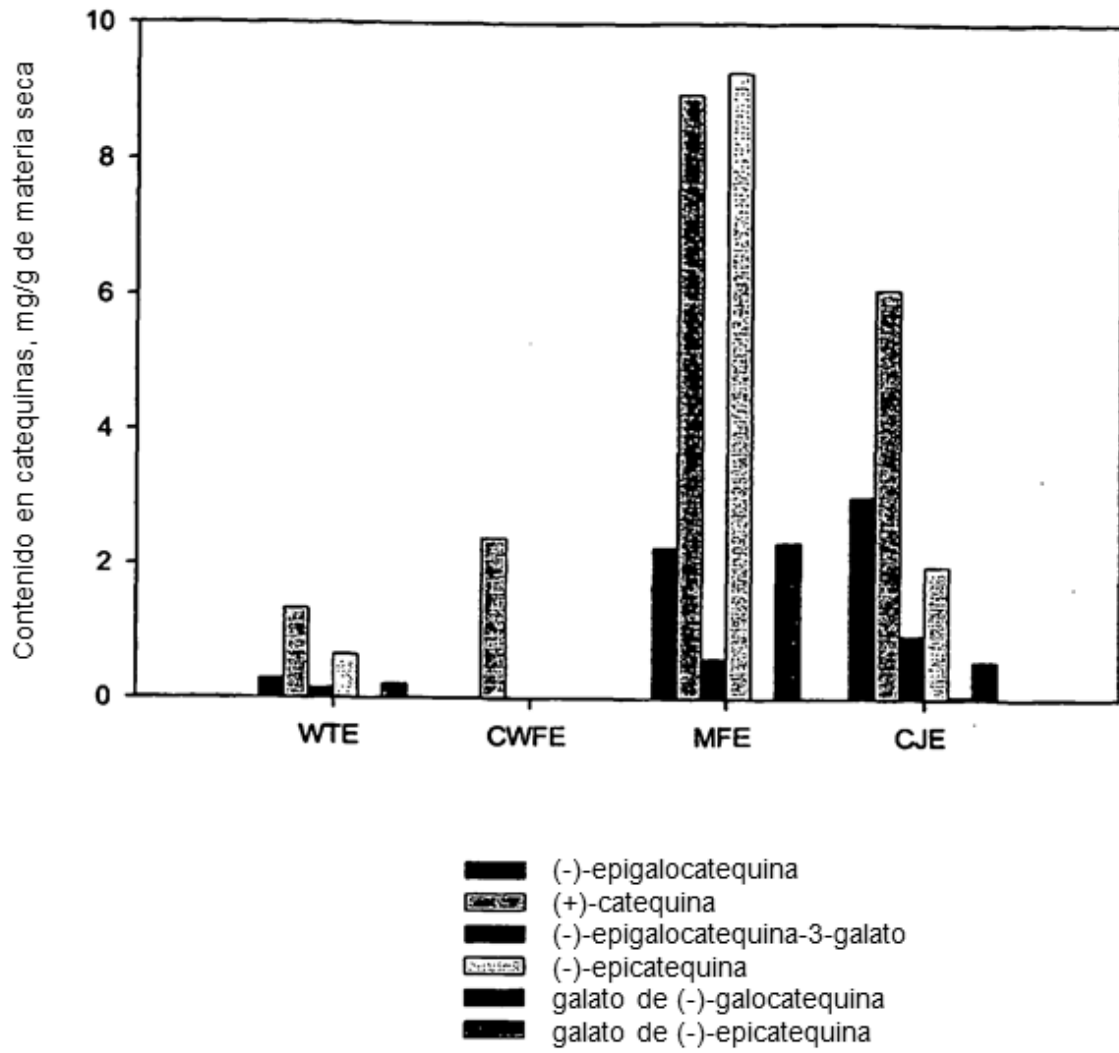


Figura 38